

UNIVERSITATEA TEHNICA TIMISOARA

FACULTATEA DE ELECTRONICA SI TELECOMUNICATII

ing. Adrian Budura

STUDIUL REZONATOARELOR CU CUART CU APLICATII

IN DOMENIUL SENZORILOR

Teză de doctorat

**BIBLIOTECA CENTRALĂ
UNIVERSITATEA "POLITEHNICA"
TIMIȘOARA**

**Conducător științific
Prof.dr.ing.Eugen Pop**

1993

CUPRINS

	pag.
Introducere.....	1
Cap.1.Stadiul actual al cercetărilor privind modificarea frecvenței de rezonanță a rezonatoarelor cu cuarț la acțiunea unor perturbații.....	4
1.1.Proprietățile elastice, piezoelectrice și dielectrice ale cristalelor.....	5
1.1.2.Teoria liniară a piezoelectricității.....	7
1.1.3.Ecuatiile de stare piezoelectrice liniare....	11
1.1.4.Vibrațiile de forfecare în grosime pentru plăci de cristale de cuarț acoperite par- țial cu electrozi.....	14
1.1.5.Ecuatiile elctroelastice neliniare.....	21
1.2.Modelul dezvoltat de H.F.Tiersten.....	26
1.2.1.Notații.....	26
1.2.2.Ecuatiile de perturbație deduse din solu- țiile ecuațiilor piezoelectrice liniare.....	28
1.2.3.Aplicațiile modelului.....	31
1.3.Modelul termic pentru rezonatorul cu cuarț.....	32
1.3.1.Distribuția temperaturii pe suprafața unui disc de cuarț.....	32
1.3.2.Aplicațiile modelului.....	35
1.4.Modelul transferului de energie pentru studiul modificării frecvenței de rezonanță la încărcare masică neuniformă a rezonatoarelor cu cuarț.....	40
1.4.1.Modelul transferului de energie.....	40
1.4.2.Aplicațiile modelului.....	43
1.5.Concluzii.....	43

Cap.2.Contribuții teoretice cu privire la studiul modifi-	
cării frecvenței de rezonanță a rezonatoarelor cu	
cuart în tăietură AT sub acțiunea perturbațiilor.....	44
2.1.Model discret simplificat pentru studiul modifi-	
cării frecvenței de rezonanță a rezonatoarelor cu	
cuart în tăietură AT la acțiunea unor perturbații.....	45
2.1.1.Ipotezele modelului.....	46
2.1.2.Modelul discret simplificat.....	47
2.1.3.Calculul variației frecvenței de rezonanță	
la mici modificări de parametrii, folosind	
metoda perturbațiilor.....	51
2.1.4.Aplicațiile modelului.....	56
2.1.4.1.Simularea comportării rezonatorului	
cu cuart la iluminarea suprafeței de	
oscilație cu un fascicul laser.....	57
2.1.4.2.Simularea modificării frecvenței de	
rezonanță la atingerea suprafeței de	
oscilație cu un fir elastic.....	64
2.2.Model termic pentru studiul încălzirii locale a	
rezonatorului cu cuart prin iluminarea suprafeței	
de oscilație cu un fascicul laser.....	67
2.2.1.Ipotezele modelului.....	68
2.2.2.Modelul termic.....	69
2.2.3.Gradientul de temperatură al plăcii de	
cuart la încălzirea locală cu un fascicul	
laser.....	72
2.2.4.Influența gradientului de temperatură	
asupra frecvenței de rezonanță pentru	
rezonatoare cu cuart în tăietură AT.....	76
2.3.Concluzii.....	79
Cap.3.Modificarea frecvenței de rezonanță a unui rezona-	
tor cu cuart în tăietură AT la aplicarea unor	
perturbații. Rezultate experimentale.....	80
3.1.Instalațiile experimentale.....	80

	pag.
3.2. Modificarea frecvenței de rezonanță la încălzirea uniformă a unui rezonator cu cuarț.....	83
3.3. Modificarea frecvenței de rezonanță la iluminarea unui rezonator cu cuarț cu un fascicul laser.....	83
3.3.1. Instalația experimentală.....	83
3.3.2. Iluminarea cu un fascicul laser a unui rezonator cu cuarț în zona centrală a electrodului.....	84
3.3.3. Iluminarea simultană a rezonatorului cu cuarț pe ambii electrozi cu două fascicule laser..	81
3.3.4. Iluminarea rezonatorului cu cuarț cu două fascicule laser pe aceeași suprafață cu electrozi.....	97
3.3.5. Iluminarea cu un fascicul laser direct pe cuarț.....	97
3.3.6. Iluminarea cu un fascicul laser pe o suprafață a electrodului acoperită cu un strat de material fotoabsorbant.....	99
3.4. Modificarea frecvenței de rezonanță a unui rezonator cu cuarț la încălzirea locală cu o sursă de radiații în infraroșu.....	99
3.4.1. Instalația experimentală.....	99
3.4.2. Rezultate experimentale.....	100
3.5. Modificarea frecvenței de rezonanță a unui rezonator cu cuarț la apăsarea suprafeței de oscilație cu un fir elastic.....	104
3.5.1. Instalația experimentală.....	104
3.5.2. Modificarea frecvenței de rezonanță sub presiunea firului elastic.....	105
3.6. Timpul de răspuns al rezonatorului cu cuarț la acțiunea unei perturbații cu distribuția neuniformă pe suprafața de oscilație.....	108
3.6.1. Instalația experimentală.....	108
3.6.2. Timpul de răspuns al rezonatorului cu cuarț la acțiunea unei perturbații.....	111

3.7. Concluzii.....	112
Cap.4.0 nouă metodă de investigare a distribuției amplitudinii de oscilație pentru plăci de cuarț în tăietură AT.....	114
4.1. Metode cunoscute de investigare a distribuției amplitudinii de oscilație.....	114
4.1.1. Metode de investigare a amplitudinii de oscilație care se bazează pe reflexia neuniformă a luminii.....	115
4.1.1.1. Metoda ce utilizează carciajul suprafeței rezonatoare.....	115
4.1.1.2. Metoda ce utilizează efectul speckle.....	118
4.1.2. Metoda de investigare a distribuției amplitudinilor de oscilație care utilizează sonde de presiune.....	123
4.1.2.1. Metoda ce utilizează un fir elastic.....	123
4.1.2.2. Metoda bazată pe modelul transferului de energie.....	127
4.1.3. Metode de investigare a distribuției amplitudinii de rezonanță utilizând topografiația cu raze X.....	129
4.2.0 nouă metodă de investigație a distribuției amplitudinii de oscilație utilizând fasciculul laser..	132
4.2.1. Instalația experimentală.....	132
4.2.2. Rezultate experimentale.....	135
4.3. Concluzii.....	140
Cap.5. Variația frecvenței de rezonanță la încărcarea masică neuniformă a rezonatoarelor cu cuarț.....	141
5.1. Sensibilitatea rezonatorului de cuarț la încărcare masică.....	142

	pag.
5.2.Comportarea rezonatorului cu cuarț la încărcare masică neuniformă.....	142
5.3.Concluzii.....	152
Cap.6.Concluzii și contribuții personale.....	153
Bibliografie.....	161
Anexa 1.....	169
Anexa 2.....	170
Anexa 3.....	172
Anexa 4.....	173
Anexa 5.....	175
Anexa 6.....	178
Anexa 7.....	181
Anexa 8.....	185

INTRODUCERE

Rezonatorul construit pe baza cristalului de cuarț este una din remarcabilele realizări ale ultimelor decenii. Această poziție privilegiată în cadrul dispozitivelor tehnice se datorează atât complexității fenomenelor fizice implicate în funcționarea sa, a operațiilor delicate cerute pentru fabricarea rezonatoarelor, cât și proprietăților de material deosebite ale cuarțului care oferă dispozitivului precizie, fiabilitate și cost redus.

Un astfel de rezonator este realizat a funcționa pentru frecvențe de 50 MHz pentru un domeniu de temperatură de -55 la $+105^{\circ}\text{C}$ cu o abatere maximă de la frecvența prescrisă de 50ppm. Deși amplitudinile oscilației unui punct material de pe suprafața plăcii de cuarț care vibrează sunt de ordinul câtorva distanțe atomice, forțele mecanice care intervin au valori semnificative. Pentru un rezonator realizat pe frecvența de 50 MHz există accelerații ale punctelor de pe suprafața acestuia de câteva milioane de "g".

De la descoperirea efectului piezoelectric de către frații Pierre și Jaques Curie în 1880 până în perioada primului război mondial, cristalul de cuarț a fost mai mult o curiozitate științifică. În timpul acestei conflagrații profesorul Langevin va folosi plăci de cristal de cuarț excitate piezoelectric pentru producerea undelor ultrasonore, creînd astfel prima variantă de sonar, care a fost utilizată la detecția submarinelor.

În 1920 W.G.Cady realizează primul oscilator cu frecvența controlată cu ajutorul unui rezonator de cuarț, iar în 1926 un post de radio din New York avea controlul frecvenței de emisie realizat cu ajutorul cuarțului. În 1929 grupuri de cercetători din Germania,

Japonia și America au descoperit tăieturile AT și BT pentru cristalele de cuarț care prezintă un coeficient scăzut de variație a frecvenței de rezonanță cu temperatura. Tăietura AT este cea mai utilizată în construcția rezonatoarelor, dar în prezent se utilizează din ce în ce mai des o tăietură dublu rotită care are un coeficient scăzut al variației frecvenței de rezonanță cu variația tensiunilor mecanice care apar în placa de cuarț, tăietura SC.

Dacă în anul 1940 armata U.S.A. estima necesarul de rezonatoare de cuarț la 100.000 de bucăți anual, la sfârșitul războiului se utilizau 30 de milioane de astfel de unități.

În anii '60 în proiectarea rezonatoarelor piezoelectrice de frecvență înaltă are loc o adevărată revoluție prin introducerea principiului "capcanei de energie" prin lucrările lui Mortley și Shockley, care face posibilă obținerea unor rezonatoare cu calități superioare.

Lucrările lui R.D.Mindlin, H.F.Tiersten și ale altor cercetători au adus o contribuție majoră în dezvoltarea acestui domeniu, ilustrând astfel preocuparea constantă a comunității științifice față de rezonatoarele construite pe baza cristalelor de cuarț.

Interesul pentru rezonatoarele de cuarț este la fel de ridicat și în prezent legat în primul rând de cererea continuă de spațiu în domeniu frecvențelor radio, de controlul frecvenței în domeniul industrial și nu în ultimul rând de noile aplicații ale rezonatoarelor ca senzori. Termometrele realizate pe baza cristalelor de cuarț sunt capabile să ofere aproape instantaneu o informație digitală, relația frecvență de rezonanță-tensiune elastică pentru rezonatoarele de cuarț este utilizată ca indicator de presiune, iar în domeniul microbalanțelor rezonatorul de cuarț prin relația dintre frecvența de rezonanță și masa suplimentară depusă este larg utilizat. Calitățile cristalului de cuarț vor asigura cu siguranță și pe viitor noi aplicații în domeniul senzorilor, rezonatoarelor de acest tip.

În lucrarea de față autorul studiază efectele produse asupra frecvenței de rezonanță datorită perturbațiilor ce au o distribuție neuniformă pe suprafața cristalului de cuarț, cu aplicații în cons-

trucția senzorilor. Prin perturbație se înțelege modificarea unui parametru fizic exterior rezonatorului cum ar fi temperatura sau presiunea, care duc la perturbarea funcționării normale a rezonatorului care se manifestă prin modificarea frecvenței de rezonanță.

Autorul propune un model termic pentru explicarea variației frecvenței de rezonanță la încălzirea locală cu radiație laser, o metodă originală pentru investigarea distribuției amplitudinilor de oscilație pe suprafața de oscilație a rezonatorului de cuarț în tăietură AT prin scanarea acesteia cu un fascicul laser de mică putere precum și o metodă de apreciere a uniformității depunerii de masă suplimentară la utilizarea rezonatorilor de cuarț pentru microbalanțe.

Lucrarea este structurată în șase capitole și opt anexe, având în final o listă cu 96 de titluri bibliografice.

*

Teza de doctorat "Studiul rezonatoarelor cu cuarț cu aplicații în domeniul senzorilor" a fost elaborată sub îndrumarea permanentă și competentă a dl.prof.dr.ing.Eugen Pop, căruia autorul îi rămâne profund îndatorat, aducându-i și pe această cale cele mai respectuoase și calde mulțumiri.

CAPITOLUL 1

STADIUL ACTUAL AL CERCETĂRILOR PRIVIND MODIFICAREA FRECVENȚEI DE REZONANȚA A REZONATOARELOR CU CUART LA ACȚIUNEA UNOR PERTURBATII

Comportarea rezonatoarelor cu cuarț în funcție de modificarea temperaturii mediului înconjurător a fost intens studiată pentru a se găsi acele direcții de tăiere pentru plăcile de cuarț care să ofere o variație cu temperatura a frecvenței de rezonanță cât mai scăzută. Eforturi de cercetare însemnate au fost canalizate pentru a modela comportarea rezonatoarelor la o încălzire uniformă a plăcii de cuarț.

La începutul anilor '80 s-au efectuat cercetări pentru a analiza comportarea rezonatoarelor cu cuarț la modificarea în timp a temperaturii plăcii [3][9] ceea ce a impus utilizarea teoriei perturbațiilor, dezvoltată pentru rezonatoarele cu cuarț de H.F. Tiersten [77],[79],[81], precum și determinarea constantelor de material liniare și neliniare pentru cuarț, cât și a derivatelor de ordinul întâi și al doilea ale acestora cu temperatura.

Primele studii admiteau o modificare a temperaturii uniformă în toată masa plăcii de cristal [48], ulterior s-a admis un gradient de temperatură doar în grosimea plăcii [27], ca apoi prin lucrările lui J.P.Valentin să se ia în considerare și un gradient de temperatură în planul plăcii [85],[86],[87]. Gradientul de temperatură pentru care s-au efectuat studiile apare în placă datorită disipării energiei de vibrație sub formă de căldură care nu se face uniform în placa de rezonator. Referințele despre cercetările legate de modificarea frecvenței de rezonanță datorată unui gradient termic indus în placa de cuarț datorită unei perturbații sunt mult mai sărace, dar utilizarea rezonatoarelor de cuarț termostatare

prin încălzire locală [4], precum și utilizarea rezonatoarelor ca senzori pentru măsurarea puterii radiației laser fac necesară aprofundarea acestei teme. Două aspecte sunt deosebit de importante, cunoașterea și aplicarea teoriei perturbațiilor pentru calculul variației frecvenței de rezonanță, precum și cunoașterea coeficienților de material liniari și neliniari pentru cuarț împreună cu derivatele acestora cu temperatura. Deoarece pentru tăieturile de tip AT și SC variația frecvenței de rezonanță cu temperatura are o expresie cubică, pentru a putea analiza fenomenul în profunzime este necesar să cunoaștem până la a treia derivată cu temperatura a constantelor de material.

1.1. Proprietățile elastice, piezoelectrice și dielectrice ale cristalelor.

Deoarece un cristal piezoelectric este în același timp un condensator, un motor și un generator, trebuie să considerăm un set de trei constante pentru a descrie complet comportarea acestuia [9][35]. Aceste constante sunt constantele dielectrice, elastice și piezoelectrice. [93]

Tensiunea elastică exercitată asupra oricărui cub elementar de material care are muchiile d-e alungul celor 3 axe x_1 , x_2 și x_3 poate fi exprimată considerând componentele tensiunii elastice pe fiecare față a cubului conform figurii 1.1.

Pentru un mediu nepolarizat tensorul tensiunii elastice este simetric, respectând relația:

$$T_{ij} = T_{ji} \quad (1.1)$$

Astfel, starea de tensiune elastică în vecinătatea unui punct dat este descrisă de șase componente independente T_{11} , T_{12} , T_{13} , T_{22} , T_{23} , și T_{33} .

Deformarea unui corp elastic implică deplasarea celulelor elementare învecinate ale acestuia. Pentru a descrie deplasarea la momentul de timp t , să considerăm poziția unei celule elementare date a corpului în cadrul unui sistem ortogonal de axe a fi x_1 , x_2 ,

x_3 . În momentul de timp inițial t_0 , poziția aceleiași celule elementare în același sistem ortogonal de axe este a_1, a_2, a_3 . În mod uzual coordonatele a_i ($i=1..3$) se numesc coordonate de material, iar coordonatele x_i ($i=1..3$) se numesc coordonate spațiale [93]. Coordonatele spațiale se pot exprima în funcție de coordonatele materiale și invers :

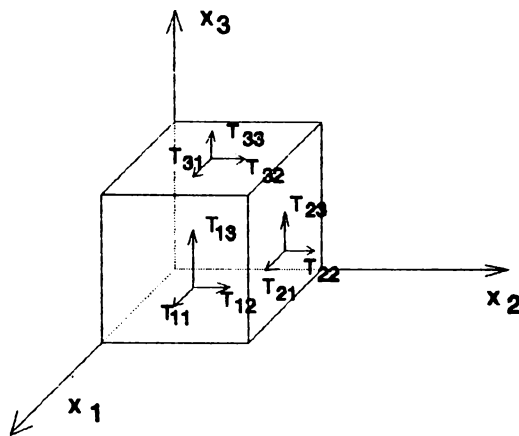


Figura 1.1 Componentele tensiunii elastice care acționează asupra unei celule unitare

$$x_i = x_i(a_1, a_2, a_3) \quad a_i = a_i(x_1, x_2, x_3) \quad (1.2)$$

Deplasarea unei celule elementare poate fi exprimată prin vectorul \bar{u} al deplasării ale cărui componente sunt:

$$u_i = x_i - a_i \quad (i=1, 2, 3) \quad (1.3)$$

Admițând că, coordonatele a_i și variațiile lor infinitezimale da_i sunt variabile independente, variațiile infinitezimale dx_i pot fi calculate astfel :

$$dx_i = \sum_{j=1}^3 \frac{\partial x_i}{\partial a_j} da_j \quad (1.4)$$

Utilizând regula de însumare după indicii care se repetă, a lui Einstein din analiza tensorială, relația (1.4) se poate scrie

sub forma :

$$dx_i = \frac{\partial x_i}{\partial a_j} da_j \quad (1.5)$$

Dacă presupunem două celule elementare ale aceluiași corp fizic infinit apropiate una de cealaltă, coordonatele lor inițiale se pot scrie sub forma a_1 și $a_1 + da_1$. Pătratul distanței dintre cele două celule elementare poate fi exprimat ca:

$$ds_0^2 = da_1 * da_1 \quad (1.6)$$

Deformarea unui corp duce la modificarea distanței dintre elemente. Componentele tensorului de deformare în coordonate materiale η și aceleași componente în coordonate spațiale η^* se pot deduce din ecuațiile :

$$dx_i dx_i - da_i da_i = 2\eta_{ik} da_j da_k \quad (1.7)$$

$$dx_i dx_i - da_i da_i = 2\eta_i^* dx_i dx_i$$

Variabilele η și η^* se numesc tensorii de deformare ai lui Green, respectiv ai lui Cauchy [90][4], și pot fi calculați din ecuațiile (1.7) având expresiile :

$$\eta_{jk} = \frac{1}{2} \left(\frac{\partial u_j}{\partial a_k} + \frac{\partial u_k}{\partial a_j} + \frac{\partial u_j}{\partial a_j} \frac{\partial u_i}{\partial a_k} \right) \quad (1.8)$$

$$\eta_{jk}^* = \frac{1}{2} \left(\frac{\partial u_j}{\partial x_k} + \frac{\partial u_k}{\partial x_j} + \frac{\partial u_j}{\partial x_j} \frac{\partial u_i}{\partial x_k} \right) \quad (1.9)$$

1.1.2. Teoria liniară a piezoelectricității

Teoria liniară a piezoelectricității presupune că gradientul deplasărilor este suficient de mic pentru a neglija al treilea termen din partea dreaptă a ecuațiilor (1.8) și (1.9) astfel că depla-

sarea devine o simplă elongație. In acest caz tensorul de deformație al lui Green η_{ij} devine tensorul de deformație infinitezimal S_{ij} . Componentele tensorului rezultat sunt definite astfel:

$$S_{ij} = \frac{1}{2} \left(\frac{\partial u_i}{\partial a_j} + \frac{\partial u_j}{\partial a_i} \right) \quad (1.10)$$

Deoarece formele liniarizate ale tensorului deformațiilor S_{ij} sunt mai degrabă funcții de x_j decât de a_j se obișnuiește a se nota:

$$S_{ij} = \frac{1}{2} \left(\frac{\partial u_i}{\partial x_j} + \frac{\partial u_j}{\partial x_i} \right) \quad (1.11)$$

Tensorul de deformare este un tensor de ordinul 2 cu 9 componente din care șase sunt independente S_{11} , S_{12} , S_{13} , S_{22} , S_{23} și S_{33} .

In afară de tensorul deformațiilor S_{ij} , care exprimă simple elongații, există de asemenea o ușoară rotație in jurul liniei imaginare care conectează două celule elementare vecine ale corpului. Dacă deformația este mică, rotația poate fi exprimată prin următoarea ecuație [93][9][75] :

$$\omega_{ij} = -\omega_{ji} = \frac{1}{2} \left(\frac{\partial u_i}{\partial x_j} - \frac{\partial u_j}{\partial x_i} \right) \quad (1.12)$$

Pentru gradienti de deformație neglijabili fiecare din componentele tensorului tensiunilor poate fi exprimat ca o combinație liniară de componente ale tensorului deformațiilor, și invers :

$$T_{ij} = c_{ijkl} S_{kl} \quad S_{kl} = s_{kl ij} T_{ij} \quad (i, j, k, l = 1, 2, 3) \quad (1.13)$$

Constantele c_{ijkl} formează un tensor de rang patru numit tensorul coeficienților elastici, iar constantele $s_{kl ij}$ formează tensorul coeficienților de maleabilitate (compliance elastică) care are tot rangul patru.

Tinând seama de simetria tensorilor se folosește un sistem de

notații reduse în care perechea de indici (ij) se înlocuiește cu un singur indice (λ) :

$$\text{pentru } i=j \dots \lambda=i, j \quad i \neq j \dots \lambda=9-i-j \quad (1.14)$$

și astfel se reduce sistemul de notare.

Tot în strânsă relație cu simetria tensorilor în practica curentă se fac următoarele notații:

$$\begin{aligned} S_\lambda &= S_{ij} \text{ pt. } i=j; \lambda=1,2,3 \\ S_\lambda &= 2S_{ij} \text{ pt. } i \neq j; \lambda=4,5,6 \\ s_{\lambda\mu} &= s_{ijkl} \text{ pt. } i=j \text{ și } k=l \\ s_{\lambda\mu} &= 2s_{ijkl} \text{ pt. } i \neq j \text{ sau } k \neq l \\ s_{\lambda\mu} &= 4s_{ijkl} \text{ pt. } i \neq j \text{ și } k \neq l \end{aligned} \quad (1.15)$$

și în conformitate cu relațiile de mai sus, relațiile între componentele infinitezimale ale tensorului de deformație și deplasările celulelor elementare devin :

$$\begin{aligned} S_1 &= \frac{\partial u_1}{\partial x_1}, \quad S_2 = \frac{\partial u_2}{\partial x_2}, \quad S_3 = \frac{\partial u_3}{\partial x_3} \\ S_4 &= \frac{\partial u_2}{\partial x_3} + \frac{\partial u_3}{\partial x_2}, \quad S_5 = \frac{\partial u_3}{\partial x_1} + \frac{\partial u_1}{\partial x_3}, \quad S_6 = \frac{\partial u_1}{\partial x_2} + \frac{\partial u_2}{\partial x_1} \end{aligned} \quad (1.16)$$

Formula legii lui Hooke devine astfel:

$$\begin{aligned} T_\lambda &= c_{\lambda\mu} S_\mu \quad S_\mu = s_{\lambda\mu} T_\mu \quad \text{pt. } \lambda, \mu=1 \dots 6 \\ s_{\lambda\tau} c_{\mu\tau} &= \delta_{\lambda\mu} \quad \lambda, \mu, \tau=1 \dots 6 \end{aligned} \quad (1.17)$$

unde $\delta_{\lambda\mu}$ este simbolul lui Kronecker.

Un câmp electric acționând asupra unui material dielectric produce o polarizare. Din punct de vedere macroscopic ecuația de polarizare:

$$\bar{D} = \epsilon_0 \bar{E} + \bar{P} \quad (1.18)$$

descrie relația ce există între intensitatea câmpului electric \bar{E} , inducția electrică \bar{D} și polarizarea \bar{P} . Vectorul de polarizare \bar{P} dintr-un punct anumit din dielectric este egal cu momentul electric al dipolului unității de volum. Componentele ecuației (1.18) dau relațiile dintre inducția electrică și intensitatea câmpului electric :

$$D_i = \epsilon_{ij} E_j \quad (1.19)$$

precum și relația între polarizare și intensitatea câmpului electric :

$$P_i = \chi_{ij} \epsilon_0 E_j \quad \text{cu} \quad \epsilon_{ij} = (1 + \chi_{ij}) \epsilon_0 \quad (1.20)$$

unde simbolul ϵ_{ij} semnifică componentele tensorului de permitivitate, χ_{ij} semnifică componentele tensorului susceptibilității iar ϵ_0 este permitivitatea vidului.

În cazul materialelor piezoelectrice polarizarea electrică este produsă nu numai printr-un câmp electric, dar și printr-o tensiune elastică care acționează asupra dielectricului, sau care apare datorită deformării materialului. Fenomenul se numește efect piezoelectric direct. Mărimea polarizării $P_i^{(P)}$ datorată fenomenului piezoelectric direct poate fi exprimată prin următoarele ecuații:

$$P_i^{(P)} = \epsilon_0 d_{ijk} T_{jk} \quad (1.21)$$

$$P_i^{(P)} = \epsilon_0 e_{ijk} S_{jk}$$

cu $i, j, k=1, 2, 3$. Coeficienții d_{ijk} se numesc componentele tensorului piezoelectric al deformației, iar coeficienții e_{ijk} se numesc componentele tensorului piezoelectric al tensiunii [93]. Acești doi tensori sunt de ordinul trei. Datorită simetriei ei nu au mai mult de 18 componente independente.

Metoda de reducere a notațiilor indicilor se aplică și în acest caz după următoarele transformări:

$$\begin{aligned}
 & e_{i\lambda} = e_{ijk} \\
 d_{i\lambda} = 2d_{ijk} & \quad \text{pt. } j=k=\lambda=1, 2, 3 \\
 d_{i\lambda} = 2d_{ijk} & \quad \text{pt. } j \neq k; \lambda=4, 5, 6
 \end{aligned} \tag{1.22}$$

Relațiile între componentele celor doi tensori piezoelectrice sunt date de următoarele ecuații :

$$\begin{aligned}
 e_{i\lambda} = d_{i\tau} c_{\tau\lambda} & \quad \text{pt. } i=1, 2, 3; \lambda, \tau=1 \dots 6 \\
 d_{i\lambda} = e_{i\tau} s_{\tau\lambda} & \quad \text{pt. } i=1, 2, 3; \lambda, \tau=1 \dots 6
 \end{aligned} \tag{1.23}$$

În ANEXA 1 sunt dați tensorii tensiunii, deformației și tensorii piezoelectrice pentru a cuarț. Datorită simetriei structurii cristaline a cuarțului, numărul componentelor independente ale acestor tensori este mult mai redus.

1.1.3. Ecuațiile de stare piezoelectrice liniare.

Pentru a produce orice modificare într-o unitate de volum de material dielectric izolat termic este nevoie să se consume energie. Mărima acestei energii poate fi exprimată prin:

$$dU = T_{\lambda} dS_{\lambda} + E_{iD_i} + \Theta d\theta \tag{1.24}$$

unde dU este variația energiei interne, $T_{\lambda} dS_{\lambda}$ este energia consumată pentru deformarea unității de volum a dielectricului izolat termic, E_{iD_i} este energia disipată prin modificarea inducției electrice datorată câmpului electric, Θ este temperatura absolută

iar $d\sigma$ este modificarea entropiei. Fiecare din acești parametrii poate fi exprimat ca o derivată parțială a energiei interne impunând ca ceilalți doi parametri să rămână constanți.

$$T_\lambda = \left(\frac{\partial U}{\partial S_\lambda} \right)_{D_i, \sigma = \text{const.}}, \quad E_i = \left(\frac{\partial U}{\partial D_i} \right)_{S_\lambda, \sigma = \text{const.}}, \quad \Theta = \left(\frac{\partial U}{\partial \sigma} \right)_{S_\lambda, D_i = \text{const.}} \quad (1.25)$$

Ecuatiile piezoelectrice de stare se obțin prin diferențierea celor trei parametri prezentați în ecuațiile (1.25) conform relațiilor (1.26) și se obțin relațiile dintre variabilele independente (S_λ, D_i, σ) și variabilele dependente (T_λ, E_i, Θ). Derivatele parțiale din ecuațiile (1.26) sunt coeficienți de material. Atât timp cât aceste constante nu sunt influențate de mărimea variabilelor independente, ecuațiile de stare sunt liniare.

$$\begin{aligned} dT_\lambda &= \left(\frac{\partial T_\lambda}{\partial S_\mu} \right)_{D_i, \sigma} dS_\mu + \left(\frac{\partial T_\lambda}{\partial D_k} \right)_{S_\lambda, \sigma} dD_k + \left(\frac{\partial T_\lambda}{\partial \sigma} \right)_{D_i, S_\lambda} d\sigma \\ dE_i &= \left(\frac{\partial E_i}{\partial S_\mu} \right)_{D_k, \sigma} dS_\mu + \left(\frac{\partial E_i}{\partial D_k} \right)_{S_\lambda, \sigma} dD_k + \left(\frac{\partial E_i}{\partial \sigma} \right)_{D_i, S_\lambda} d\sigma \\ d\Theta &= \left(\frac{\partial \Theta}{\partial S_\mu} \right)_{D_i, \sigma} dS_\mu + \left(\frac{\partial \Theta}{\partial D_k} \right)_{S_\lambda, \sigma} dD_k + \left(\frac{\partial \Theta}{\partial \sigma} \right)_{D_i, S_\lambda} d\sigma \end{aligned} \quad (1.26)$$

În ANEXA 2 sunt prezentate constantele de material care apar în ecuațiile piezoelectrice de stare și relațiile între constantele de material.

Relațiile dintre tensiunea elastică, deformație, intensitatea câmpului electric, inducția electrică, temperatura absolută și entropie pot fi derivate din energia internă în condiții adiabatică sau izotermale, iar în aceste cazuri coeficienții elastici, respectiv coeficienții maleabilității elastice pot fi definiți pentru câmp electric constant ($c^E \lambda_{ik}, s^E \lambda_{ik}$), sau pentru inducție electrică constantă ($c^D \lambda_{ik}, s^D \lambda_{ik}$). De asemenea permitivitatea și impermeabilitatea dielectrică pot fi definite fie la nivel constant al ten-

siunii elastice ($\epsilon^{T_{1j}}$ $\epsilon^{T_{1j}}$), fie la deformare constantă (ϵ^E_{1j} ϵ^E_{1j}). Componentele tensorului piezoelectric al deformațiilor și ale tensorului piezoelectric al tensiunilor se definesc în mod similar pentru câmp electric constant și pentru inducție electrică constantă. Între compoentele acestor vectori (vezi ANEXA 2) există următoarele relații:

$$\begin{aligned} e^D_{iA} &= h^e_{iA} = h_{iA} & d^D_{iA} &= g^E_{iA} = g_{iA} \\ e^E_{iA} &= e_{iA} & d^E_{iA} &= d_{iA} \end{aligned} \quad (1.27)$$

Considerând doar procese adiabatică și izotermale, cele trei ecuații de stare (1.26) se pot reduce la două, din care numai patru variante sunt posibile conform tabelului I.

În afară de tipurile coeficienților de material prezentați în ANEXA 2 mărimea efectului piezoelectric poate fi exprimată printr-un parametru numit coeficient electromecanic de cuplaj k . Acest coeficient reflectă relația care există între energiile mecanice

Tabel I Ecuațiile de stare care descriu efectul piezoelectric

Efect piezoelectric indirect	Efect piezoelectric direct
$T\lambda = c^E \lambda_{11} S_{11} - e_3 \lambda E_3$	$D_1 = s_{11} S_{11} + \epsilon^E_{13} E_3$
$T\lambda = c^E \lambda_{11} S_{11} - d_3 \lambda D_3$	$E_1 = -d_{11} S_{11} + \beta^E_{13} D_3$
$S\lambda = s^E \lambda_{11} T_{11} + d_3 \lambda E_3$	$D_1 = d_{11} T_{11} + \epsilon^{T_{1j}} E_3$
$S\lambda = s^D \lambda_{11} T_{11} + g_3 \lambda D_3$	$E_1 = -g_{11} T_{11} + \beta^{T_{1j}} D_3$

și electrice referitoare la unitatea de volum deformată prin acțiuni piezoelectrice conform relațiilor (1.28), unde W_1 , W_{12} și W_2 sunt energiile elastică, piezoelectrică și electrică a tăieturii.

$$k^2 = \frac{W_{12}^2}{W_1 W_2}$$

$$W_{12} + W_{12} = \frac{1}{2} S_{\lambda} T_{\lambda} \quad (\lambda = 1 \dots 6) \quad (1.28)$$

$$W_{12} + W_2 = \frac{1}{2} D_{iE_1} \quad (i = 1 \dots 3)$$

În caz că deformația și câmpul electric au o singură componentă diferită de zero fiecare, coeficientul de cuplaj are următoarea expresie :

$$k^2_{i\lambda} = \frac{e^2_{i\lambda}}{e^2_{ii} C^E_{\lambda\lambda}} = \frac{g^2_{i\lambda}}{\beta^T_{ii} S^D_{\lambda\lambda}} \quad (1.29)$$

1.1.4. Vibrațiile de forfecare în grosime pentru plăci de cristale de cuarț acoperite parțial cu electrozi.

Considerăm o placă rectangulară subțire de cuarț în tăietură AT acoperită parțial cu electrozi conform figurii 1.2 cu grosimea plăcii de $2a$. Soluția aproximativă pentru calculul frecvenței de rezonanță cea mai des utilizată în literatura de specialitate se bazează pe ipoteza emisă de R.D. Mindlin că soluțiile ecua-

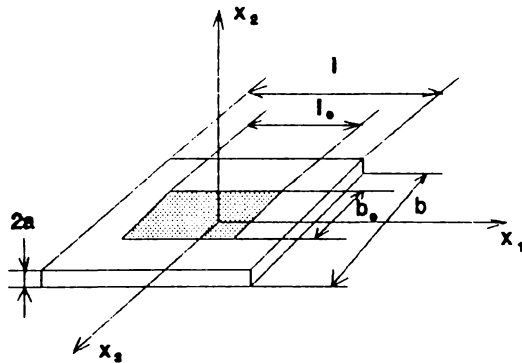


Figura 1.2 Placă rectangulară de cuarț cu electrozi rectangulari parțiali

țiilor diferențiale ce descriu fenomenul piezoelectric, se pot obține fără a fi necesară specificarea completă a condițiilor de frontieră într-un spațiu cu trei dimensiuni.[56]

Pornind de la ecuațiile piezoelectrice de stare prezentate în tabelul I, R.D.Mindlin a introdus o dezvoltare în serie de puteri după direcția x_2 a deplasării elastice u_j și a inducției electrice D_j :

$$u_j(x) = \sum_{n=0}^g x_2^n a_n = \sum_{n=0}^g x_2^n u_j^{(n)} \quad (1.30)$$

$$D_j(x) = \sum_{n=0}^g x_2^n b_n = \sum_{n=0}^g x_2^n D_j^{(n)}$$

unde $u_j^{(n)}$ respectiv $D_j^{(n)}$ sunt coeficienți neglijabili pentru n mai mare decât un g dat unde n și g sunt numere naturale.

Pentru un volum oarecare dat în interiorul cristalului putem scrie:

$$\int_{t_0}^t dt \int_V [(T_{ij,i} - \rho \dot{u}_j) \delta u_j + D_{i,i} \delta \phi] dV = 0 \quad (1.31)$$

unde două puncte deasupra unui factor înseamnă derivarea dublă în raport cu timpul. Înlocuind relațiile (1.30) în (1.31) se obține:

$$\int_{t_0}^t dt \int_A \sum_{n=0}^g [(T_{ij,i}^{(n)} - n T_{2j}^{(n-1)} + F_j^{(n)} - \rho \sum_{m=0}^g H_{mm} \dot{u}_j^{(m)}) + (D_{i,i}^{(n)} + (n+1) D_2^{(n+1)}) \delta \phi^{(n)}] dA = 0 \quad (1.32)$$

unde A este suprafața plăcii și unde:

$$T_{ij}^{(n)} = \int_{-a}^a x_2^n T_{ij} dx_2$$

$$F_j^{(n)} = [x_2^n T_{2j}]_{-a}^a \quad (1.33)$$

$$\phi^{(n)} = \int_{-a}^a x_2^n \phi dx_2$$

sunt componentele rezultate pentru tensiunea elastică, forțe acționând pe suprafața exterioară și potențialul electric al plăcii, iar n semnifică componenta de ordinul n .

Pentru $(m+n)$ egal cu un număr par avem că :

$$H_{mn} = \int_{-a}^a x_2^m x_2^n dx_2 = \frac{2a^{m+n+1}}{m+n+1} \quad (1.34)$$

iar pentru $(m+n)$ egal cu un număr impar avem $H_{mn}=0$

Deoarece relația (1.31) are loc pentru variații arbitrare a lui $\delta u_j^{(n)}$ respectiv pentru $\delta \phi_j^{(n)}$ relația (1.31) se poate împărți în două ecuații ce reprezintă ecuația mișcării:

$$T_{ij,1}^{(n)} - nT_{2j}^{(n-1)} + F_j^{(n)} = \rho \sum_{m=0}^g H_{mn} \ddot{u}_j^{(m)} \quad (1.35)$$

respectiv ecuația privind legea fluxului electric :

$$D_{i,1}^{(n)} + (n+1)D_2^{(n+1)} = 0 \quad (1.36)$$

Acestea sunt ecuațiile care stau la baza calculării frecvenței de rezonanță pentru plăcile din cristale de cuarț.

Revenind din nou la ecuațiile de stare prezentate în tabelul I, [03] expresiile tensiunilor elastice și ale inducției electrice au forma :

$$T_{ij}^{(m)} = c_{ijkl} \sum_{n=0}^g H_{mn} S_{kl}^{(n)} - e_{kij} E_k^{(m)} \quad (1.37)$$

$$D_i^{(m)} = \sum_{n=0}^g H_{mn} (D_i^{(n)} - e_{ikl} S_{kl}^{(n)}) - \epsilon_{ik} E_k^{(m)}$$

iar introducând o cantitate nouă H_{mn}^{-1} definită de :

$$\sum_{m=0}^g H_{mr}^{-1} H_{mn} = \delta_{rn} \quad (1.38)$$

a doua ecuație (1.37) ia forma :

$$D_i^{(m)} = e_{ikl} S_{kl}^{(n)} + \sum_{m=0}^g H_{mn}^{-1} e_{ik} E_k^{(m)} \quad (1.39)$$

Prin aceste relații este posibil a se deduce din ecuațiile tridimensionale referitoare la o placă piezoelectrică un sistem complet de ecuații bidimensionale. În aplicațiile practice este necesar a se utiliza numai un număr finit de termeni ai seriilor de putere prezentate în relațiile (1.30) pentru a se obține soluții ortogonale neambigue.

În cazul taieturii AT proprietățile elastice, piezoelectrice

și dielectrice ale cuarțului corespund unui material cu simetrie monoclinică. Conform [56] dezvoltările în serie (1.30), pentru a calcula frecvența de rezonanță, se fac doar pentru termenii corespunzătorii lui $n=0$ și $n=1$, iar pentru $n>1$ $u_j^{(n)}=D_j^{(n)}=0$. Termenii diferiți de zero pentru deplasare corespund:

- $u_1^{(0)}$ extensie (compresie) în direcția axei X_1 , ca o funcție de coordonatele x_1, x_3 și timp t .

- $u_2^{(0)}$ deformație flexurală în planul X_1X_2 ca o funcție de coordonatele x_1, x_3 și timp t .

- $u_3^{(0)}$ deformație flexurală în planul X_1X_3 ca o funcție de coordonatele x_1, x_3 și timp t .

- $u_1^{(1)}$ deformație de forfecare liniară a unui element de grosime de-a lungul axei X_3 ca o funcție de coordonatele x_1, x_3 și timp t .

- $u_3^{(1)}$ deformație de forfecare liniară a unui element din grosime de-a lungul axei X_1 ca o funcție de coordonatele x_1, x_3 și timp t .

Oscilația care produce o deplasare de forma $u_2^{(1)}$ de extensie de-a lungul axei X_2 este neglijată deoarece toată această teorie de aproximare se bazează pe faptul că grosimea plăcii de cuarț este mult mai mică decât celelalte dimensiuni ale plăcii.

Ecuatiile de stare devin pentru această taletură în condițiile enunțate mai sus:

$$\begin{aligned}
 T_1^{(0)} &= 2ac_{1p}^* S_p^{(0)} - e_{11}^* E_1^{(0)} \\
 T_r^{(1)} &= \frac{2}{3} a^3 \gamma_{rs} S_s^{(1)} - e_{1r}^{**} E_1^{(1)} \\
 D_1^{(0)} &= e_{1p}^* S_p^{(0)} + \frac{1}{2a} \epsilon_{1j}^* E_j^{(0)} - \frac{15}{8a^3} \epsilon_{12}^* E_2^{(2)} \\
 D_1^{(1)} &= e_{1r}^* S_r^{(1)} + \frac{3}{2a^3} \epsilon_{1j}^{**} E_j^{(1)}
 \end{aligned} \tag{1.40}$$

unde avem :

$$\begin{aligned}
c_{1\mu}^* &= c_{1\nu} - \frac{c_{12}c_{21}}{c_{22}} & e_{1\lambda}^* &= e_{1\lambda} - \frac{e_{12}c_{12}}{c_{22}} & e_{ij}^* &= \frac{9}{4}e_{ij} + \frac{e_{12}e_{j2}}{c_{\nu\nu}} \\
\gamma_{rs} &= c_{rs} - \frac{c_{r\nu}c_{\nu s}}{c_{\nu\nu}} & e_{ir}^{**} &= e_{ir} - \frac{e_{i\nu}c_{r\nu}}{c_{\nu\nu}} & e_{ij}^{**} &= e_{ij} + \frac{e_{i\nu}c_{j\nu}}{c_{\nu\nu}}
\end{aligned}
\tag{1.41}$$

Ecuatiile de mişcare în funcţie de tensiunea elastică au expresiile:

$$\begin{aligned}
T_{1,1}^{(0)} + T_{3,3}^{(0)} + F_1^{(0)} &= 2a\rho\ddot{u}_1^{(0)} \\
T_{6,1}^{(0)} + T_{4,3}^{(0)} + F_2^{(0)} &= 2a\rho\ddot{u}_2^{(0)} \\
T_{5,1}^{(0)} + T_{3,3}^{(0)} + f_3^{(0)} &= 2a\rho\ddot{u}_3^{(0)} \\
T_{1,1}^{(1)} + T_{5,3}^{(1)} - T_6^{(0)} + F_1^{(1)} &= \frac{2}{3}a^3\rho\ddot{u}_1^{(1)} \\
T_{5,1}^{(1)} + T_{3,3}^{(1)} - t_4^{(0)} + F_3^{(1)} &= \frac{2}{3}a^3\rho\ddot{u}_3^{(1)}
\end{aligned}
\tag{1.42}$$

iar ecuaţiile derivate din legea fluxului electric au expresiile:

$$\begin{aligned}
D_{1,1}^{(0)} + D_{3,3}^{(0)} + D_2^{(1)} &= 0 \\
D_{1,1}^{(1)} + D_{3,3}^{(1)} + 2D_2^{(2)} &= 0
\end{aligned}
\tag{1.43}$$

Cu sistemul de ecuaţii (1.42) şi (1.43) se pot calcula frecvenţele de rezonanţă pentru o placă dintr-un material piezo-electric cu coeficienţi de material şi cu dimensiuni date. Pentru modul de oscilaţie de forfecare în grosime care prezintă interes la studiul rezonatoarelor de cuarţ în tăietură AT, şi care de obicei este cuplat şi cu un alt mod de rezonanţă de torsiune sau flexură, ţinând seama de simplificările ce intervin datorită simetriei [93], ecuaţiile de mişcare simplificate sunt:

$$\begin{aligned}
T_6^{(0)} &= 2a\rho\ddot{u}_2^{(0)} \\
T_{1,1}^{(1)} + T_{5,3}^{(1)} - T_6^{(0)} &= \frac{2}{3}a^3\rho\ddot{u}_1^{(1)}
\end{aligned}
\tag{1.44}$$

unde deplasările $u_2^{(0)}$ şi $u_1^{(1)}$ sunt funcţii armonice în raport cu

timpul având deci:

$$\ddot{u}_2^{(0)} = -w^2 u_2^{(0)} \quad \ddot{u}_1^{(1)} = -w^2 u_1^{(1)} \quad (1.45)$$

Masa electrodului se neglijează în raport cu masa cristalului de cuarț. Tensiunea elastică $T_6^{(0)}$ și momentele $T_1^{(1)}$ și $T_5^{(1)}$ sunt definite de următoarele expresii aproximative:

$$\begin{aligned} T_6^{(0)} &= 2ak_6^2 c_{66} (u_{2,1}^{(0)} + u_1^{(0)}) + k_6 e_{26} \phi \\ T_1^{(1)} &= \frac{2}{3} a^3 \gamma_{11} u_{1,1}^{(1)} \\ T_5^{(1)} &= \frac{3}{3} a^3 \gamma_{55} u_{1,3}^{(1)} \end{aligned} \quad (1.46)$$

cu:

$$k_6^2 = \frac{\pi^2}{12} \left(1 - \frac{8}{\pi^2} k_{26}^2\right) (1 + k_{26}^2) \quad (1.47)$$

unde k_{26} este coeficientul de cuplaj electromecanic.

Soluțiile pentru deplasările mecanice necesare la calcularea frecvenței de rezonanță pentru placa de cuarț în tăietură AT care are o oscilație de forfecare în grosime exprimată de prima relație (1.44), cuplată cu o oscilație flexurală dată de a doua relație (1.44) sunt de forma:

$$u_1^{(1)} = C_1 \cos \xi_{1p} \frac{x_1}{a} \quad u_2^{(0)} = C_2 \sin \xi_{1p} \frac{x_1}{a} \quad (1.48)$$

unde indicele p se referă că soluțiile propuse sunt pentru zona placată cu electrozi.

Inlocuind soluțiile pentru deplasarea mecanică (1.48) în ecuațiile (1.44) după câteva calcule se obține pentru modul de oscilație în grosime expresia frecvenței de rezonanță:

$$w = \frac{k_6}{2a} \sqrt{\frac{c_{66}}{\rho}} \sqrt{\frac{\xi_{1p}^2 C_1 + a \xi_{1p} \rho C_1}{C_2}} \quad (1.49)$$

care pentru condiția ca placa să fie de dimensiuni infinite și placată cu electrozi pe toată suprafața sa oferă soluția bine cu-

noscută pentru modul de oscilație de forfecare în grosime :

$$f_n = \frac{n}{2a} \sqrt{\frac{C_{66}}{\rho}} \quad (1.50)$$

unde C_{66} este coeficientul de elasticitate corespunzător tăieturii AT, iar ρ este densitatea cuarțului.

1.1.5. Ecuațiile electroelastice neliniare

Ecuațiile liniare ale piezoelectricității sunt deosebit de utile pentru a descrie problemele privind oscilațiile în materiale solide, propagarea undelor în corpurile solide, dacă amplitudinile de oscilație sunt mici. De asemenea corpul solid care vibrează nu trebuie să fie subiectul unei pretensiuni elastice, unui câmp electric foarte puternic, unui gradient de temperatură, efecte fizice denumite în literatura de specialitate și perturbații. Dacă aceste cerințe nu sunt îndeplinite frecvențele de rezonanță pentru corpurile solide care vibrează se modifică în funcție de felul și intensitatea perturbației, iar calculele care se efectuează trebuie să țină seama de factori de corecție și să includă relații neliniare care derivă din condițiile inițiale.

De exemplu din energia internă U pentru o unitate de volum al unei substanțe date, coeficienții elastici de ordin superior se calculează astfel:

$$C_{ijkl\dots pq} = \sum \left(\frac{\partial^n U}{\partial \eta_{ij} \partial \eta_{kl} \dots \partial \eta_{pq}} \right)_{D, \sigma = \text{const}} \quad (1.51)$$

unde $n \geq 2$ este rangul coeficientului elastic.

Rezultă relația între tensiunea elastică-deformație :

$$T_{ij} = C_{ijkl} S_{kl} + \frac{1}{2} C_{ijklmn} S_{kl} S_{mn} + \frac{1}{6} C_{ijklmpq} S_{kl} S_{mn} S_{pq} + \frac{1}{24} C_{ijklmpqrs} S_{kl} S_{mn} S_{pq} S_{rs} \quad (1.52)$$

unde u_i , S_{ij} și T_{ij} sunt deplasarea inițială, tensorul deformațiilor și tensorul tensiunilor elastice, și coeficienții elastici li-

niari și neliniari până la ordinul patru.

Coefficienții elastici de ordin n precum și alți coeficienți de rang superior care caracterizează proprietățile dielectrice, piezoelectrice și piroelectrice ale cristalelor pot fi calculați din energia internă impunând condiții diferite proceselor fizice. Numărul coeficienților de rang superior cât și valoarea rangului pentru care se fac calculele depind de gradul de universalitate cu care se decide a se descrie condițiile neliniare particulare ale procesului fizic.

În literatura de specialitate în ultimul deceniu se acordă o atenție deosebită pentru calcularea și măsurarea valorilor unor coeficienți de rang superior pentru cuarț, cu aplicații directe în utilizarea rezonatorilor de cuarț pentru controlul frecvenței cât și ca senzori [10] [33] [36] [37]. Teoria perturbațiilor dezvoltată de H.F.Tiersten este utilizată de majoritatea cercetătorilor pentru a calcula modificările frecvenței de rezonanță datorită perturbațiilor exterioare.

Coefficientul termic al unui coeficient elastic are expresia:

$$TC_{ij}^{(n)} = \frac{1}{n!} \frac{1}{c_{ij}^{(n)}} \frac{d^n c_{ij}}{dT^n} \quad (1.53)$$

unde n este ordinul derivatei coeficientului cu temperatura.

Valorile coeficienților piezoelectrice ai alfa-cuarțului sunt prezentați în tabelul II.

Pentru alfa-cuarț coeficienții de elasticitate și cei de maleabilitate sunt prezentați în tabelul III.

Cum se poate observa din tabel există diferențe între valorile coeficienților date de cei doi autori. Cu atât mai mult diferențele apar la obținerea valorilor coeficienților de variație cu temperatura a coeficienților elastici. O serie întreagă de cercetători s-au ocupat cu determinarea acestor variații a coeficienților elastici cu temperatura pentru prima, a doua, respectiv a treia derivată a temperaturii. P.C.Y.Lee determină acești termeni folosind teoria

Tabel II Valorile coeficienților piezoelectrice pentru alfa-cuarț și coeficienților de variație a acestora cu prima derivată a temperaturii

$i\lambda$	$e_{1\lambda}$	$d_{1\lambda}$	$h_{1\lambda}$	$g_{1\lambda}$	$T_{e1\lambda}$	$T_{d1\lambda}$
	[Cm ²]	[10 ⁻¹² V ⁻¹]	[10 ⁸ NC ⁻¹]	[10 ⁻³ m ² C ⁻¹]	[10 ⁻⁶ K ⁻¹]	
11	0.171	2.31	43.5	57.9	-18	-215
14	-0.0407	-0.727	-10.41	-18.3	-144	129

Tabel III Coeficienții elastici liniari pentru alfa-cuarț

	Elasticitate			Maleabilitate	
	Bechmann	Mason		Bechmann	Mason
c_{11}	86.74	86.05*10 ⁹ N/m ²	s_{11}	12.77	12.79*10 ⁻¹² m ² /N
c_{12}	6.99	5.05	s_{12}	-1.79	-1.535
c_{13}	11.91	10.45	s_{13}	-1.22	-1.10
c_{14}	-17.91	18.25	s_{13}	+4.50	-4.46
c_{33}	107.2	107.1	s_{33}	9.60	9.56
c_{44}	57.94	58.65	s_{44}	20.04	19.78
c_{66}	39.88	40.5	s_{66}	29.12	28.65

10⁹N/m² = 10¹⁰dyn/cm² 10⁻¹²m²/N = 10⁻¹³cm²/dyn

perturbațiilor și oferă un tabel cu valorile acestor coeficienți calculați de diferiți autori care este prezentat în tabelul IV [41].

Față de tabelul IV, în literatură se mai dau coeficienții elastici $T_{c12(1)E} = -2690$ [10⁻⁶/K⁻¹], $T_{c12(1)D} = -2975$ [10⁻⁶/K⁻¹], $T_{c12(2)} = -3050$ [10⁻⁹/K⁻²] și $T_{c12(3)} = -1260$ [10⁻¹²/K⁻³]

După Bechmann coeficienții cu temperatura pentru coeficienții de maleabilitate elastică sunt dați în tabelul V.

Există de asemenea și variații cu modificarea temperaturii ai coeficienților piezoelectrice (vezi tabelul III), ai coeficienților de permitivitate (vezi tabelul VI), ai coeficienților de

Tabel IV Coeficienții termici ai coeficienților elastici pentru alfa-cuart. Valorile din tabel se înmulțesc cu $10^{-3}(n+1)/(^{\circ}\text{C})^n$

ordin	λ_{II}	Lee 25°C	Mason 50°C	Koga 20°C	Bechmann 25°C	Adams 25°C	Kahan 25°C
n=1	11	-68,2	-53,5	-44,3	-48,5	-49,6	35,6
	13	-705	-510	-492	-550	-651	-612
	14	84,2	90,0	98,0	101	89,0	93,2
	33	-197	-165	-188	-160	-192	-205
	44	-186	-171	-172	-177	-172	-184
	66	158	168	180	178	167	180
n=2	11	-117	-75,0	-407	-107	-107	-117
	13	-1022	-2000	-596	-1150	-1021	-900
	14	-54,4	-270	-13,0	-48,0	-19,0	-46,6
	33	-158	-187	-1412	-275	-162	-273
	44	-272	-212	-225	-216	-261	-273
	66	152	-5,0	201	118	164	172
n=3	11	-61,9	-15,0	-371	-70	-74	-100
	13	-43,4	600	-5559	-750	-240	45,4
	14	-816	-630	-625	-590	-521	-612
	33	93,7	-410	-243	-250	67	254
	44	-45,6	-65,0	-190	-216	-194	-247
	66	-239	-167	-777	21	29	25,4

dilatare pe cele trei direcții principale pentru alfa-cuart, și a densității cuarțului (vezi tabelul VII) [93], [9].
Toate aceste determinări s-au făcut luând în considerare o încălzire uniformă a

Tabel V Coeficienții termici pentru coeficienții de maleabilitate ai alfa-cuarțului

λ_{II}	$Ts\lambda_{II}^{(1)E}$	$Ts\lambda_{II}^{(1)D}$	$Ts\lambda_{II}^{(2)}$	$Ts\lambda_{II}^{(3)}$
	$[10^{-6}/-1]$	$[10^{-6}/K^{-1}]$	$[10^{-9}/K^{-2}]$	$[10^{-12}/K^{-3}]$
11	8,5	13,5	85,3	147
12	-1296,5	-1357,7	-1358	-2287
13	-168,8	-168,8	-718	-823
14	140,6	131,9	93	-465
33	139,7	139,7	247	300
44	211,1	209,6	262	162
66	-151,9	-144,3	-85	-135

plăcii de cuarț. Eforturile duse pentru a se cunoaște acești coeficienți și variațiile lor cu temperatura se fac pentru a se putea stabili tăieturi cât mai avantajoase din punctul de vedere al modi-

ficării frecvențelor de rezonanță cu temperatura.

Valorile coeficienților elastici de ordinul trei sunt prezentate în tabelul VIII [93]

Valorile componentelor tensorului piezoelectric de ordinul trei sunt prezentate în tabelul IX.

Si, în prezent problema determinării coeficienților neliniari de material este viu dezbătută în lumea științifică, dând naștere la polemici susținute [10], [36], [37].

În anul 1990 Hruska prezintă o nouă metodă de determinare

Tabel VIII Coeficienții de elasticitate de ordinul trei

Coeficient	valoare [10 ⁹ Nm ²]
c ₁₁₁	-260
c ₁₁₂	-383
c ₁₁₃	3
c ₁₁₄	-168
c ₁₂₃	-308
c ₁₂₄	-8
c ₁₃₃	-319
c ₁₃₄	-1
c ₁₄₄	-128
c ₁₅₅	-216
c ₂₂₂	-382
c ₃₃₃	-895
c ₃₄₄	-124
c ₄₄₄	-281

Tabel VI Permitivitatea și coeficientul său cu temperatura

i,j	ϵ_{1j}^T	ϵ_{1j}^S	$T\epsilon_{1j}^{(1)}$
	[10 ⁻¹² Fm ⁻¹]		[10 ⁻⁶ K ⁻¹]
11	39,97	39,21	28
33	41,03	41,03	39

Tabel VII Coeficienții de dilatare termică și coeficientul de temperatură al densității pentru alfa-cuarț.

	n=1 [10 ⁻⁶ * *K ⁻¹]	n=2 [10 ⁻⁹ * *K ⁻²]	n=3 [10 ⁻¹² * *K ⁻³]
$\alpha_{11}^{(n)}$	13,71	6,5	-1,9
$\alpha_{22}^{(n)} = \alpha_{11}^{(n)}$			
$\alpha_{33}^{(n)}$	7,84	2,9	-1,5
$T\rho^{(n)}$	-34,92	-15,9	5,3

a ten-
soru-
lui e-
lectro-

elastic ce folosește fenomenul de rezonanță.- [33] Valorile obținute de acesta sunt apropiate de valorile obținute de Kittinger.

Există o multitudine de coeficienți neliniari, numărul și tipul lor depinde de complexitatea cu care este descris fenomenul piezoelectric.

Tabel IX Componentele tensorului piezoelectric neliniar

Coeficient	Valoare [Cm ⁻²]	
	Kittinger	Brendel
e ₁₁₁	-2,18	-2,73
e ₁₁₃	0,05	-12
e ₁₁₄	-0,28	33,4
e ₁₂₂	1,10	3,05
e ₁₂₄	-0,78	34,57
e ₁₃₄	-1,63	50,46
e ₁₄₄		-0,604
e ₃₁₅		24,90

1.2. Modelul dezvoltat de H.F. Tiersten

Pentru evaluarea modificărilor frecvenței de rezonanță a unei plăci de cuarț dacă asupra ei acționează perturbații externe cum ar fi forțe, accelerații, presiuni, etc. unul dintre cele mai utilizate modele matematico-fizice este cel dezvoltat de H.F. Tiersten [78].

1.2.1. Notății

Pentru descrierea matematică a fenomenelor fizice care apar în placa de cuarț la aplicarea unor perturbații se consideră un sistem de coordonate de referință notat cu X_L .

La acțiunea unui câmp perturbator static, punctele materiale

ale plăcii de cuarț își modifică poziția de la coordonatele de referință X_L la coordonatele intermediare η_α conform relației :

$$\eta_\alpha = \eta_\alpha(X_L) \quad (1.54)$$

Dacă se suprapune o perturbație dinamică de valoare mică, punctele materiale își modifică poziția de la coordonatele intermediare η_α la coordonatele prezente y_I și astfel avem :

$$y_I = y_I(\eta_\alpha, t) = \varphi_I(X_L, t) \quad (1.55)$$

Prin convenție literele mari latine folosite ca indici se referă la coordonatele de referință, literele mici grecești se referă la coordonatele intermediare, iar literele mici latine se referă la coordonatele prezente. Ca regulă de derivare se folosește notația cu virgulă la indice, în sensul că indicii poziționați după virgulă au semnificația derivării parțiale a tensorului după acești indici. Se utilizează de asemenea regula de însumare a tensorilor după indicii care se repetă. Deoarece mișcarea dinamică este mică, modificarea poziției punctului material reprezentat în coordonatele prezente, se poate scrie :

$$y_I = \delta_{IB}(\eta_{IB} + u_B) \quad (1.56)$$

unde u_B este o deplasare mecanică mică de la coordonatele intermediare până la poziția prezentă, iar δ_{IB} este simbolul lui Kronecker.

Pentru ecuațiile ce descriu mișcarea punctelor materiale ale plăcii de cuarț sub influența unor perturbații mici se pot folosi atât coordonatele intermediare η_α cât și cele finale X_L ca și variabile independente, dar cel mai des se utilizează coordonatele de referință.

1.2.2. Ecuațiile de perturbație deduse din soluțiile ecuațiilor piezoelectrice liniare.

Sistemul de ecuații de la care se obțin ecuațiile de perturbație este sistemul de ecuații piezoelectric consacrat, scris sub forma de mai jos :

$$\begin{aligned} \bar{K}_{LY,L}^1 + \bar{K}_{LY,L}^n &= \rho_0 \ddot{U}_Y \\ \bar{D}_{L,L}^1 + \bar{D}_{L,L}^n &= 0 \end{aligned} \quad (1.57)$$

unde \bar{K} și \bar{D} sunt tensorii Piolla - Kirchoff ai tensiunii mecanice [5] și ai inducției electrice, ρ_0 este densitatea cuarțului, iar indicii 1 și n se referă la termenii liniari, respectiv neliniari ai ecuațiilor. Termenii neliniari sunt termenii de perturbație, care depind de starea de polarizare a plăcii de cuarț, precum și de acțiunea perturbațiilor.

Potențialul electric al unui punct material al plăcii de cuarț poate fi scris sub forma :

$$\Phi(Y_I, t) = \check{\Phi}(X_L, t) = \phi + \hat{\Phi} \quad (1.58)$$

unde ϕ este potențialul electric de polarizare al punctului material, iar $\hat{\Phi}$ este potențialul dinamic al unui câmp electric foarte mic (perturbator).

Conform ecuațiilor clasice ale piezoelectricității avem :

$$\begin{aligned} \bar{K}_{LY}^1 &= c_{2LYMn} u_{e,N} + e_{NL\gamma} \Phi_{,N} \\ \bar{D}_L^1 &= e_{LMn} u_{e,N} - \epsilon_{LM} \hat{\Phi}_{,m} \end{aligned} \quad (1.59)$$

$$\begin{aligned} \bar{K}_{LY}^n &= \hat{c}_{2LYMn} u_{e,N} + \hat{e}_{NL\gamma} \hat{\Phi}_{,N} \\ \bar{D}_L^n &= \hat{e}_{LMn} u_{e,N} - \hat{\epsilon}_{LM} \hat{\Phi}_{,m} \end{aligned} \quad (1.60)$$

unde c_{2LYMn} , $e_{NL\gamma}$, ϵ_{LM} reprezintă elementele liniare ale coeficienților elastici de ordinul 2, piezoelectrice și dielectrice, iar

termenii cu căciulă reprezintă elementele neliniare ale aceluiași coeficienți. Fiecare din coeficienți este o sumă a unui termen linear cu unul nelinier:

$$\begin{aligned}
 C_{2LYM} &= c_{2LYM} + \hat{c}_{2LYM} \\
 e_{MLY} &= e_{MLY} + \hat{e}_{MLY} \\
 e_{LM} &= e_{LM} + \hat{e}_{LM}
 \end{aligned}
 \tag{1.61}$$

Să considerăm că există un set de soluții u^μ și ϕ^μ care satisfac sistemul de ecuații (1.57) cu condiții specifice de frontieră. Aceste soluții dau frecvențele de rezonanță ω_μ . Fie u_m, ϕ^m soluția pentru un sistem de ecuații neperturbat de un câmp extern și care oferă o frecvență ω_m , care satisface ecuațiile:

$$\begin{aligned}
 \hat{k}_{LY,L}^{lm} + \rho_0 \omega^2 u_Y &= 0 \\
 \hat{D}_{L,L}^{lm} &= 0
 \end{aligned}
 \tag{1.62}$$

iar aceeași soluție pentru sistemul perturbat oferă frecvența ω :

$$\begin{aligned}
 \hat{k}_{LY,L}^l + \hat{k}_{LY,L}^n + \rho_0 \omega^2 u_Y &= 0 \\
 \hat{D}_{L,L}^l + \hat{D}_{L,L}^n &= 0
 \end{aligned}
 \tag{1.63}$$

unde se subînțelege că (1.62) și (1.63) sunt independente de timp. Cu relația (1.62) se poate exprima integrala pe volumul de referință V_0 :

$$\begin{aligned}
 \int_{V_0} [(\hat{k}_{LY,L}^{lm} + \rho_0 \omega^2 u_Y^m) u_Y - (\hat{k}_{LY,L}^l + \hat{k}_{LY,L} + \rho_0 \omega^2 u_Y) u_Y^m] dV_0 &= 0 \\
 \int_{V_0} \rho_0 (\omega_m^2 - \omega^2) u_Y^m u_Y dV_0 &= \int_{V_0} -\hat{k}_{LY,L}^{lm} u_Y + \hat{k}_{LY,L}^l u_Y^m + \hat{k}_{LY,L}^n u_Y^m + \\
 &+ (\hat{D}_{L,L}^l + \hat{D}_{L,L}^n) \hat{\phi}^m - \hat{D}_{L,L}^{lm} \hat{\phi} dV_0
 \end{aligned}
 \tag{1.64}$$

de unde rezultă:

$$\begin{aligned}
(\omega_m^2 - \omega^2) \int_{V_0} \rho_0 u_\gamma^m u_\gamma dV_0 = \int_{S_0} N_L [k_{L\gamma}^1 u_\gamma^m - k_{L\gamma} u_\gamma + \tilde{D}_{L,L}^1 \phi^m - \tilde{D}_{L,L}^1 \phi] dS_0 + \\
+ \int_{V_0} (k_{L\gamma}, L u_\gamma^m + \tilde{D}_{L,L}^n \phi^m) dV_0
\end{aligned} \tag{1.65}$$

Relația (1.65) a fost obținută aplicând formulele lui Gauss - Ostrogadski. So este suprafața ce inconjoară volumul de referință V_0 , iar N_L este normala la aceasta suprafață.

Deoarece frecvența sistemului perturbat ω este foarte apropiată de cea a sistemului neperturbat ω_m se poate scrie :

$$\Delta = \omega_m - \omega; \quad \omega_m^2 - \omega^2 = (\omega_m + \omega)(\omega_m - \omega) = 2\omega_m \Delta \tag{1.66}$$

$$u_\gamma^m - u_\gamma = \eta_\gamma \quad |\eta_\gamma| \ll |u_\gamma^m| \tag{1.67}$$

Deci avem :

$$\int_{V_0} \rho_0 u_\gamma^m u_\gamma dV_0 \approx \int_{V_0} \rho_0 u_\gamma^m u_\gamma^m dV_0 = N^2(m) \delta_{mm} = N^2(m) \tag{1.68}$$

unde δ_{mm} este simbolul lui Kronecker, iar (1.68) este chiar condiția de ortogonalitate a soluțiilor pentru sistemul neperturbat.

Să presupunem că setul de soluții u^μ ϕ^μ poate fi normalizat astfel :

$$g_\gamma^\mu = \frac{u_\gamma^\mu}{N(\mu)} \quad \hat{f}^\mu = \frac{\phi^\mu}{N(\mu)} \tag{1.69}$$

Tinând cont de (1.66), (1.67), (1.68) și (1.69) relația (1.65) devine:

$$2\omega_m \Delta = \int_{S_0} N_L [k_{L_V, L}^n g_V^n - u_V k_{L_V}^n + \tilde{D}_L^l \hat{f}^n - \hat{\phi} d_L^n] dS_0 + \int_{V_0} [k_{L_V, L}^n g_V^n + \tilde{D}_{L, L}^n \hat{f}^n] dV_0 \quad (1.70)$$

unde $k_{L_V}^m$ și d_L^m se obțin prin împărțirea cu $N(m)$ a relației (1.70). Termenul de perturbație H_m are astfel valoarea :

$$H_m = \int_{S_0} N_L [k_{L_V, L}^l g_V^m - u_V k_{L_V}^m + \tilde{D}_L^l \hat{f}^m - \hat{\phi} d_L^m] dS_0 + \int_{V_0} [k_{L_V, L}^m g_V^m + \tilde{D}_{L, L}^m \hat{f}^m] dV_0 \quad (1.71)$$

Cunoscând valoarea lui H_m și frecvența ω_m pentru sistemul neperturbat se poate calcula variația de frecvență ca fiind $\Delta = H_m / 2\omega_m$ [77].

Calculul exact al variației de frecvență pentru o placă de cuarț atunci când asupra ei acționează o perturbație se dovedește a fi deosebit de laborios și implică cunoașterea tuturor coeficienților de material.

1.2.3. Aplicațiile modelului.

Metoda de calcul a variației de frecvență a unui sistem oscilant perturbat a fost utilizată de H.F.Tiersten și colaboratorii acestuia pentru studiul modificării frecvenței de rezonanță a plăcilor rezonatoare de cuarț supuse la o accelerație normală pe suprafață [80], la o accelerație în planul suprafeței [81], [83], la studiul comportării undelor pe suprafața unor cristale piezoelectrice la modificarea presiunii aerului pe suprafața cristalului [84], precum și la studiul derivatelor cu temperatura a coeficienților elastici pentru cuarț. [79].

Aceeași teorie a perturbațiilor și modelul elaborat de H.F. Tiersten este folosită de R.Brendel [10] în calculul coeficienților

piezoelectrice neliniari pentru cuarț. De asemenea calculul parametrului β din modelul lui A. Ballato făcută de J.P. Valentin se bazează într-o anumită etapă pe modelul prezentat în acest paragraf.

1.3. Model termic pentru rezonatorul cu cuarț.

Modelul termic prezentat de prof. J.J. Gagnepain și colaboratorii săi caută să explice modificarea frecvenței de rezonanță datorate unui gradient de temperatură instalat în placa de cuarț.

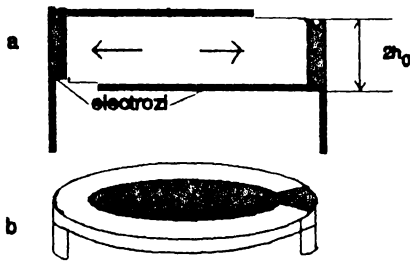


Figura 1.3 Montura unei plăci de cuarț în tăietură AT

G.Theobald și J.J. Gagnepain [85].

Modelul matematic este dezvoltat pentru a explica valorile de temperatură la suprafața cristalului care apar datorită disipării energiei interne cauzată de oscilația cristalului, cât și datorită temperaturii exterioare.

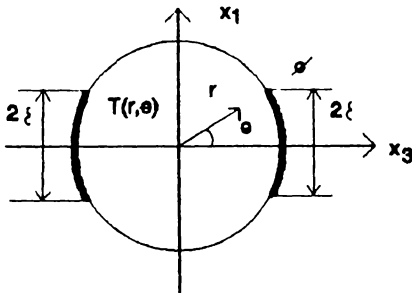


Figura 1.4 Figura explicativă la calculul frecvenței de rezonanță datorită disipării energiei termice interne a cuarțului.

Pentru cazul unei monturi mecanice a plăcii de cuarț de forma prezentată în figura 1.3 gradientul de temperatură care se instalează datorită energiei care se disipă în zona cu amplitudine mare de oscilație a plăcii de cuarț datorită frecărilor interne în cristal, este calculat teoretic de J.P. Valentin,

1.3.1. Distribuția temperaturii pe suprafața unui disc de cuarț.

Pentru o placă de cuarț prezentată în figura 1.3, $T(r, \theta)$ este temperatura cristalului în

punctul definit de coordonatele r și θ , temperatura exterioară este ϕ , iar liniile îngroșate de la periferia discului de cuarț reprezintă terminalele de prindere mecanică și de contact electric pentru placa de cuarț. Acestea se reprezintă în model prin două arce de cerc ce au un unghi la centru de 2ϵ . Utilizând coordonatele polare ecuația de difuzie a temperaturii este dată de :

$$\nabla^2 T = \frac{\partial^2 T}{\partial r^2} + \frac{1}{r} \frac{\partial T}{\partial r} + \frac{1}{r^2} \frac{\partial^2 T}{\partial \theta^2} = -\frac{q(r)}{\lambda} \quad (1.72)$$

unde $q(r)$ este distribuția de putere termică internă în cristal, pe unitatea de volum, care ținând cont de modul de distribuție pe suprafața oscilantă a amplitudinilor de oscilație ale cristalului în tăietură AT pentru modul fundamental de oscilație, respectă o lege Gaussiană. Conductivitatea termică a alfa-cuarțului este λ .

Presupunând că din punct de vedere termic materialul este izotrop soluția ecuației (1.71) se poate scrie sub forma :

$$T = T_0(r) + T_1(r, \theta) \quad (1.73)$$

unde :

$$T_1(r, \theta) = \sum_{k=1}^{\infty} T_2 k(r) \cos 2k\theta \quad (1.74)$$

T_0 este soluția particulară a ecuației :

$$\nabla^2 T_0(r) = -\frac{q(r)}{\lambda} \quad (1.75)$$

iar $T_1(r)$ este soluția ecuației generale :

$$\nabla^2 T_1(r, \theta) = 0 \quad (1.76)$$

Transferul termic de difuzie este dat de relația:

$$\lambda \frac{\partial T}{\partial r} + HT = H\phi \quad \text{pentru } r=R \quad (1.77)$$

unde H este un coeficient de transfer.

Transferul de căldură spre exterior se face pe marginea discului de cuarț și numai prin montura mecanică care reprezintă și contactul electric, deoarece rezonatorul este închis într-o incintă vidată. Contactul cu exteriorul capsulei metalice se face pentru rezonatorul de cuarț numai prin montura mecanică.

Dacă luăm H_1 valoarea lui H în punctele de fixare ($-\epsilon < \theta < \epsilon$ și $\pi - \epsilon < \theta < \pi + \epsilon$) și H_2 valoarea pentru $\epsilon < \theta < \pi - \epsilon$ și $\pi + \epsilon < \theta < 2\pi - \epsilon$, avem $H_2 \ll H_1$ și H_2 poate fi făcut zero. Vom nota $h = H/\lambda$, iar coeficientul de transfer se va dezvolta într-o serie Fourier ($h_1 = H_1/\lambda$; $h_2 = H_2/\lambda$) :

$$h = h_0 + \sum_{k=1}^{\infty} h_{2k} \cos 2k\theta \quad (1.78)$$

cu:

$$h_0 = \frac{2}{\pi} (h_1 - h_2) \epsilon + h_2 \quad \text{și} \quad h_{2k} = \frac{4}{\pi} (h_1 - h_2) \sin \frac{2k\epsilon}{2k} \quad (1.79)$$

Autorul oferă rezolvarea ecuației (1.77) utilizând o metodă de calcul numeric cu aproximații succesive. Pentru valoarea temperaturii la suprafața plăcii de cristal de cuarț se obține prin calcul analitic expresia :

$$T = \Phi + \frac{\mu r_0^2}{4\lambda} \left[\frac{\pi}{Rh_1 \epsilon} + f(R) - f(r) + 2 \sum_{k=1}^{\infty} \frac{1}{k} \left(1 - \left(\frac{r}{R}\right)^{2k} \cos 2k\theta\right) \right] \quad (1.80)$$

unde :

$$f(r) = \sum_{n=1}^{\infty} \frac{(-1)^{n+1}}{n \cdot n!} \left(\frac{r}{r_0}\right)^{2n} \quad (1.81)$$

unde r_0 este raza unui cerc pe suprafața căruia oscilațiile au o

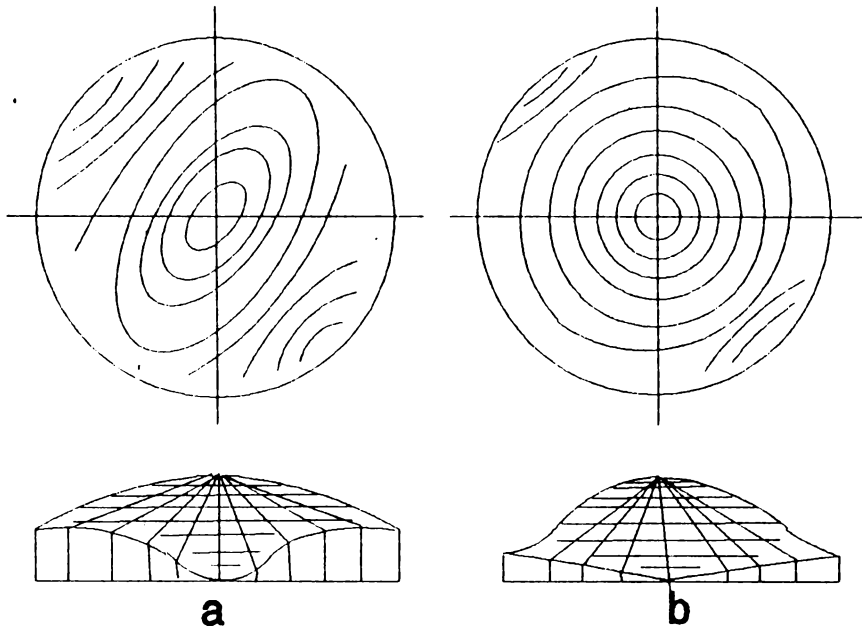


Figura 1.5 Distribuția temperaturii pe suprafața unei plăci de cuarț: a.pentru electrozi cu conductivitate termică bună; b.pentru electrozi cu conductivitate termică slabă.

amplitudine mai mare decât o valoare stabilită prin calcul. In figura 1.5 se prezintă pe suprafața plăcii de cristal de cuarț liniile izoterme pentru $r_0=R$, $r_0=R/3$, $r_0=(2/3)R$ și $r_0=R/5$.

1.3.2. Aplicațiile modelului.

Acest model teoretic a fost dezvoltat pentru a studia comportarea unui oscilator cu placă de cuarț în tăietură AT, tăietură la care variația frecvenței de rezonanță este compensată cu temperatura la 25° C, pentru cazul în care oscilatorul este supus unui ciclu termic periodic în timp, cu o perioadă variind de la ordinul orelor la zeci de zile [3]. Cele mai multe tipuri de rezonatoare de acest tip au o variație a temperaturii de forma prezentată în figura 1.6

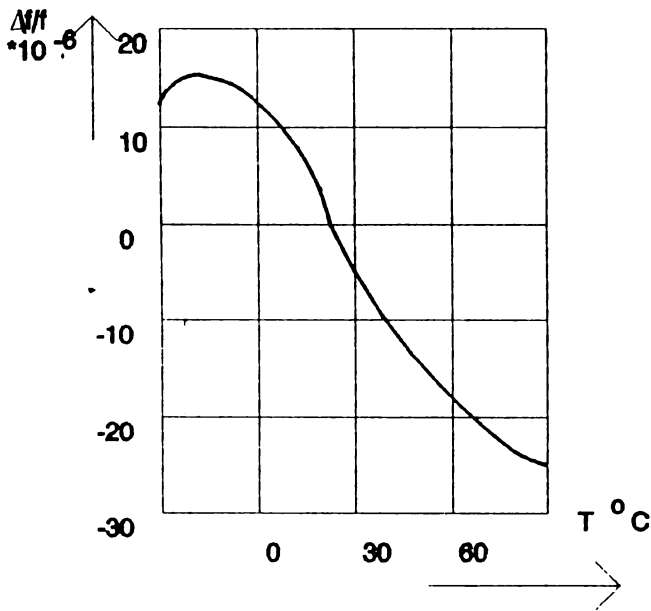


Figura 1.6 Variația frecvenței de rezonanță cu temperatura pentru modul de oscilație fundamental și pentru tăietura AT.

Pentru a exprima variația frecvenței cu modificarea temperaturii în regim static relația consacrată este :

$$\frac{\Delta f}{f} = a_0 \Delta T + b_0 \Delta T^2 + c_0 \Delta T^3 \quad (1.82)$$

unde $\Delta T = T - T_0$ iar T este temperatura curentă și T_0 este temperatura de 25°C

Parametrii a_0 , b_0 și c_0 depind de material, tăietură, geometrie, de forma electrozilor, dar nu depind de timp pentru un rezonator dat. Modelul propus de A. Ballato implică includerea în formula de mai sus a unui termen $a \cdot T$, în cadrul coeficientului de ordinul întâi al variației frecvenței cu temperatura [3], astfel încât ex-

presia (1.82) devine:

$$\frac{\Delta f(t)}{f} = a(t)\Delta T(t) + b_0\Delta T^2(t) + c_0\Delta T^3(t) \quad (1.83)$$

cu:

$$a(t) = a_0 + \tilde{a}T(t) \quad (1.84)$$

Parametrul \tilde{a} este o funcție care depinde de aceeași parametrii ca și a_0, b_0 și c_0 , dar în plus depinde și de gradientul termic care se stabilește, în placă (în grosime și de suprafață), de conductivitatea termică a suportului mecanic al plăcii de cuarț, de conductivitatea termică a electrozilor, dar este constantă pentru un anumit tip de oscilator.

Pentru a caracteriza dependența frecvenței de rezonanță cu variația în timp a temperaturii exterioare plăcii de cuarț se impune calcularea teoretică a coeficientului \tilde{a}

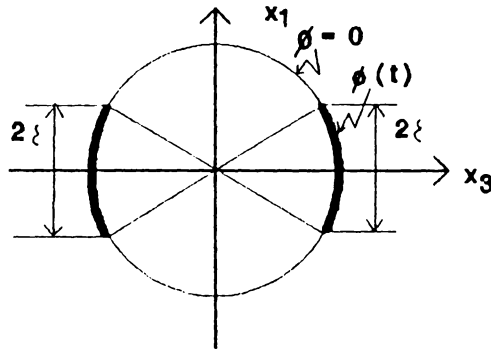


Figura 1.7 Distribuția temperaturii pe frontieră discului de cuarț

De această dată modificarea temperaturii plăcii de cuarț datorată disipării energiei interne este neglijată, iar temperatura inițială a cristalului este considerată a fi de zero grade Celsius. Condițiile de frontieră vor fi simplificate prin impunerea unei distribuții a temperaturii de frontieră $\phi(\theta, t)$ prezentată în figura 1.7. Schimbul de energie cu exteriorul va fi foarte scăzut cu excepția punctelor de fixare a plăcii.

Temperatura la suprafața plăcii de cuarț poate fi dezvoltată la rândul ei într-o serie Fourier:

$$\Phi(\theta, t) = \Phi_0(t) + \sum_{k=1}^{\infty} \Phi_{2k}(t) \cos 2k\theta \quad (1.85)$$

cu:

$$\Phi_0 = 2 \frac{e}{\pi} \Phi_1(t) \quad (1.86)$$

$$\Phi_{2k}(t) = \frac{4}{\pi} \frac{\sin 2k\epsilon}{2k} \Phi_1(t) \quad (1.87)$$

Ecuatia de difuzie a căldurii, ecuația de transfer de căldură și condițiile inițiale au expresiile :

$$\nabla^2 T = \frac{1}{X} \frac{\partial T}{\partial t} \quad (1.88)$$

$$\frac{\partial T}{\partial X} + h_0 T = h_0 \Phi(\theta, t) \quad (1.89)$$

$$T=0 \quad \text{la} \quad t=0 \quad (1.90)$$

unde X este constanta de difuzie termică pentru cuarț.

Soluția pentru sistemul de mai sus este [82]:

$$T = \sum_{k=0}^{\infty} \sum_S \frac{b_{2k,s}}{X} \alpha_{2k,s}^2 J_{2k}(\alpha_{2k,s} r) \cos 2k\theta \Phi_1(t) - \sum_{k=0}^{\infty} \sum_S \frac{b_{2k,s}}{X^2 \alpha_{2k,s}^2} J_{2k}(\alpha_{2k,s} r) \cos 2k\theta \Phi_1(t) \quad (1.91)$$

$$\sum_{k=0}^{\infty} \sum_S \frac{B_{2k,s}}{X \alpha_{2k,s}^2} J_{2k}(\alpha_{2k,s} r) \cos 2k\theta [\exp(-\alpha_{2k,s}^2 t) [\Phi_1(0) - \frac{\Phi(0)}{X \alpha_{2k,s}^2}]]$$

cu:

$$B_{0,s} = \frac{4RX\alpha_{0,s}^2}{(R^2\alpha_{0,s}^2 + R^2h_0^2 - 4k^2)} \frac{\epsilon}{\pi} J_1(\alpha_{0,s}R) \quad (1.92)$$

$$B_{2k,s} = \frac{8R^2X\alpha_{2k,s}^3}{(R^2\alpha_{2k,s}^2 + R^2h_0^2 - 4k^2)} \frac{h_0 \sin 2k\epsilon}{2k\pi(2k+h_0R)} \quad (1.93)$$

$$\frac{J_{2k+1}(\alpha_{2k,s}R)}{J_{2k}^2(\alpha_{2k,s}R)}$$

unde J_{2k} sunt funcțiile lui Bessel de ordinul $2k$ și $\alpha_{2k,s}$ sunt rădăcinile următorului set de K ecuații transcendente pentru $r=R$:

$$\frac{dJ_{2k}}{dr}(\alpha_{2k,s}R) + h_0 J_{2k}(\alpha_{2k,s}R) = 0 \quad (1.94)$$

Tabel X valorile parametrului $\tilde{\alpha}$ pentru diferite tăieturi

Tăietură	Y	AT	BT
c.t.medie	$-130 \cdot 10^{-6}$	$-0.35 \cdot 10^{-6}$	$1.35 \cdot 10^{-6}$
c.t.mare	$-17 \cdot 10^{-6}$	$-0.30 \cdot 10^{-6}$	$0.40 \cdot 10^{-6}$

În ecuația (1.91) primul termen este proporțional cu $\phi_1(t)$ și reprezintă comportarea rezonatorului pentru funcționarea la o temperatură

externă constantă. Al doilea termen este proporțional cu derivata în raport cu timpul a temperaturii exterioare cristalului și corespunde efectului dinamic de temperatură. Al treilea termen corespunde perioadei tranzitorii.

Cunoscând temperatura în cristal se poate calcula stresul termic în cristal conform metodei de perturbație propusă de Tiersten, iar în Tabelul X sunt date valorile lui $\tilde{\alpha}$ calculate prin această metodă, pentru o conductanță termică medie (c.t.medie) respectiv o conductanță termică mare (c.t.mare) a electrozilor de suport ai plăcii de cuarț.

Acest model construit de A. Ballato a fost utilizat pentru calcularea variațiilor frecvenței de rezonanță pentru un cristal de cuarț în tăietura AT, supus la un ciclu de variație a temperaturii. Rezultatele unei astfel de simulări sunt prezentate în figura 1.18, și în acest caz calculul se dovedește a fi deosebit de laborios.

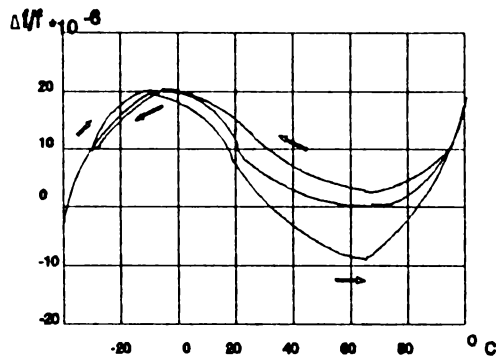


Figura 1.8 Simularea unei histereze de frecvență care apare datorită unui ciclu de temperatură

1.4. Modelul transferului de energie pentru descrierea modificării frecvenței de rezonanță la rezonatoare cu cuarț la încărcare masivă.

Acest model face parte dintr-o clasă mai largă de modele teoretice care caută să explice modificările frecvenței de rezonanță ale unui cristal de cuarț la depunerea pe suprafața lui a unei cantități oarecare de substanță [53]. Dacă majoritatea modelelor explică scăderea frecvenței de rezonanță numai prin adăugarea de masă pe suprafață oscilatorului, acest model explică scăderea frecvenței de rezonanță și datorită calităților elastice ale masei depuse.

1.4.1. Modelul transferului de energie.

Ideea de bază a acestui model este că rezonatorul de cuarț și masa depusă pe suprafața sa de oscilație sub forma unui film subțire formează un rezonator compus, a cărui parte activă este reprezentată de cristalul de cuarț în timp ce filmul depus vibrează preluând energie de la cristal.

Pentru un cristal de cuarț rezonând în modul de forfecare în grosime având grosimea l , conform figurii 1.9, putem să scriem amplitudinea de vibrație de-a lungul axei y conform ecuației (1.95)

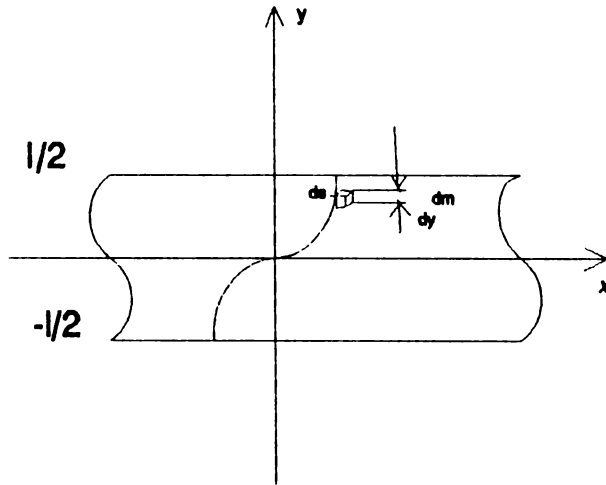


Figura 1.9 Mișcarea oscilatorie a unui cristal de cuarț neîncărcat masic vibrând în modul de rezonanță de forfecare în grosime

$$A_y = A \left(\frac{1}{2} \right) \sin \frac{\pi y}{l} = A_0 \sin \frac{\pi y}{l} \quad (1.95)$$

Energia vibrațională înmagazinată într-un element de masă dm din interiorul cristalului de cuarț este prezentată în relația :

$$dE_q^2 = \frac{1}{2} w_q^2 A_y^2 dm \quad (1.96)$$

Integrând în întregul volum al cristalului de cuarț, pentru întreaga energie înmagazinată în cristal se obține:

$$E_q^2 = \frac{1}{4} m_q w_q^2 A_0^2 \quad (1.97)$$

unde w_q este frecvența de rezonanță a cristalului de cuarț.

Factorul de calitate este definit ca raportul dintre energia înmagazinată în cristal și energia disipată pe acesta în regimul de rezonanță, și acest factor de calitate are un ordin de mărime de 10^6 .

Dacă pe suprafața cristalului se depune o masă de substanță sub forma unui film subțire, conform figurii 1.10, în funcție de elasticitatea filmului depus, o parte din energia vibrațională a cristalului

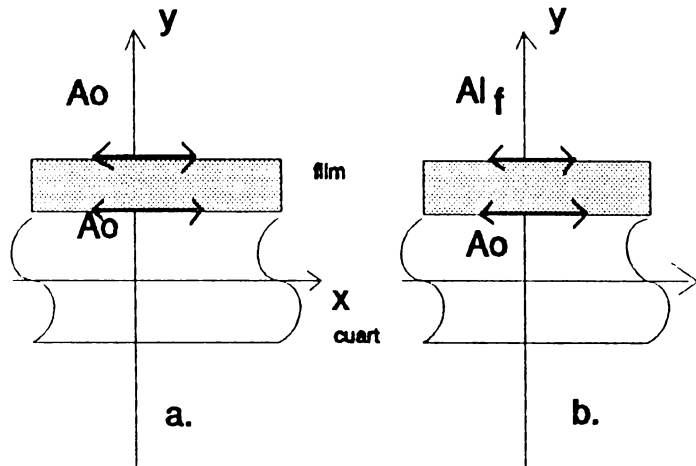


Figura 1.10 Rezonatorul compus a) cristal de cuarț încărcat cu un film perfect elastic; b) cristal de cuarț încărcat cu un film real

se va disipa în film. Dacă filmul depus este perfect elastic, acesta nu va disipa energia preluată de la cristalul de cuarț, dar cu cât elasticitatea filmului scade energia disipată de film va crește.

Dacă considerăm $\omega_c = 2\pi f_c$ ca fiind frecvența unghiulară a cristalului de cuarț încărcat masic și $\nu_f = \eta_f / \rho_f$ ca fiind vâscozitate cinematică a filmului depus pe suprafața cuarțului, definită ca raportul între vâscozitate și densitatea filmului depus, iar l_f este grosimea filmului se demonstrează că :

$$\frac{\omega_q^2}{\omega_c^2} = 1 + 2 \frac{m_f}{m_q} \left[1 - \left(\frac{\omega_c}{2\nu_f} \right)^{\frac{1}{2}} l_f \right]^{-1} \left[1 - \exp \left(-2 \left(\frac{\omega_c}{2\nu_f} \right)^{\frac{1}{2}} l_f \right) \right] \quad (1.98)$$

de unde se calculează modificarea frecvenței de rezonanță.

Pentru o placă de cuarț de dimensiuni finite, sub forma unui disc cu diametru $2R$, având depuși doi electrozi de diametru $2R_e$, modificarea frecvenței de rezonanță la încărcarea masică cu un film sub forma unui disc concentric cu discul de cuarț de diametru $2r_o$,

va fi dată de expresia:

$$\frac{f_q^2}{f_c^2} = 1 + 2 \frac{\rho_f l_f [1 - \exp(-(\frac{r_0}{R_0})^2)]}{\rho_q l_q [1 - \exp(-(\frac{R}{R_0})^2)]} \quad (1.99)$$

Astfel se ilustrează efectul diametrelor electrozudului, filmului și al cristalului de cuarț asupra modificării frecvenței de rezonanță la încărcarea masică a cristalului de cuarț.

1.4.2. Aplicațiile modelului.

Modelul a fost folosit pentru a releva efectele legate de gradul de elasticitate al filmului depus pe cristalul de cuarț asupra modificării frecvenței de rezonanță, precum și la descrierea interacțiunii dintre cristal și materialul depus pe acesta.

1.5. Concluzii

În acest capitol am prezentat principalele modele utilizate în studiul comportării rezonatoarelor cu cuarț cu referire la modificarea frecvențelor de rezonanță la acțiunea unor perturbații sub forma unor gradiente spațiale de temperatură în placă, modificarea în timp a temperaturii mediului în care funcționează rezonatorul și încărcarea masică a suprafeței de oscilație a rezonatorului.

Funcționarea rezonatorului fiind complexă există mai multe modele care sunt adecvate pentru anumite aplicații ale rezonatoarelor cu cuarț, fie ca elemente de control al frecvenței, fie ca senzori. Modelele care se doresc a fi generale pentru rezonatorul cu cuarț sunt laborioase, greu de utilizat în practică, necesitând cunoașterea unui mare număr de coeficienți de material, și din acesta cauză se justifică efortul pentru a căuta modele generale mai simple care să satisfacă cerințele practice pentru dezvoltarea de senzori bazați pe rezonatoare cu cuarț cât și elaborarea unor modele adecvate unor anumite aplicații specifice.

CAPITOLUL 2

CONTRIBUȚII TEORETICE CU PRIVIRE LA STUDIUL MODIFICĂRII FRECVENȚEI DE REZONANȚĂ A REZONATOARELOR CU CUART SUB ACȚIUNEA PERTURBĂȚIILOR

Bioxidul de siliciu SiO_2 , sau cuarțul, corespunde clasei de cristale trigonal-trapezoidale și prezintă o axă optică numită și axa Z care este de asemenea o axă de simetrie. La rotirea cu 120° în jurul acestei axe cristalul de cuarț prezintă aceleași proprietăți. Din punct de vedere optic cristalul de cuarț poate fi levogir respectiv dextrogir în funcție de cum rotește planul de polarizare a luminii polarizate care îl străbate de-a lungul axei Z.

La temperaturi mai coborâte față de valoarea de 573°C cuarțul este cunoscut sub numele de alfa-cuarț, iar între 573°C și punctul de topire al cuarțului de 1750°C cuarțul este cunoscut sub numele de beta-cuarț. Proprietăți piezoelectrice prezintă numai alfa-cuarțul. În figura 2.1 se prezintă modul de aranjare spațială a atomilor de sili-

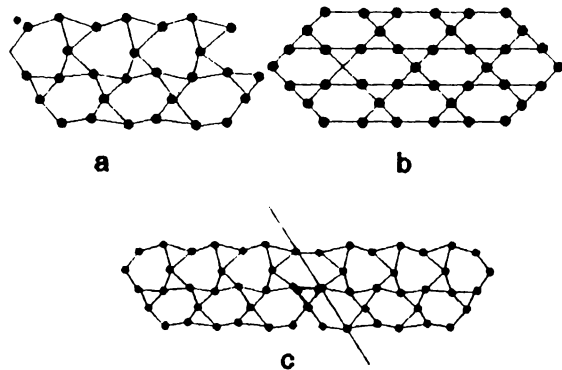


Figura 2.1 Dispunerea atomilor de siliciu în plane normale pe axa Z. a) alfa-cuarț; b) beta-cuarț; c) alfa-cuarț îngemănat optic.

ciu în plane normale pe axa Z pentru cristalele de alfa-cuarț, beta-cuarț și alfa-cuarț îngemănat optic.

Modelele pentru studiul rezonatoarelor cu cuarț existente în

literatura de specialitate consideră cristalul de cuarț ca un mediu continuu. Dacă se are în vedere distribuția ordonată în spațiu a celulelor elementare formate din atomi de Si și O, precum și forțele care se exercită asupra atomilor care vibrează în mod natural, suntem conduși la un model spațial discret de forma prezentată în figura 2.2.[48]

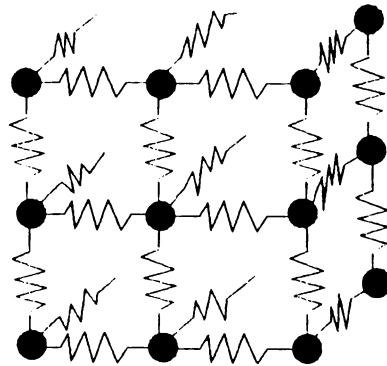


Figura 2.2 Model discret pentru rezonatorul cu cuarț.

În prezenta lucrare autorul dezvoltă un model simplificat unidimensional plecând de la forma modelului spațial prezentată în figura 2.2. Așa cum se prezintă în acest capitol, modelul astfel construit permite evidențierea tuturor fenomenelor fizice care interesează în studiul modificării frecvenței de rezonanță la acțiunea unor perturbații. Singura problemă care rămâne este identificarea elementelor modelului care se va face prin comparație cu modelul continuu.

2.1. Model discret simplificat pentru studiul modificării frecvenței de rezonanță a rezonatoarelor cu cuarț în tăietură AT la acțiunea unor perturbații.

Modelele existente în literatura de specialitate și prezentate în paragrafele anterioare necesită calcule laborioase și nu tratează cazul în care perturbația este neuniform distribuită în placa de cuarț. Dar mărimile de perturbație, atât la suprafața plăcii oscilante cât și în grosimea ei produc modificări ale frecvenței de rezonanță pentru placa de cuarț atât datorită intensității perturbației, cât și datorită gradientului acesteia. Pentru astfel de apli-

cații și pentru o mai simplă evidențiere a fenomenelor este util modelul discret simplificat pentru studiul variației frecvenței de rezonanță a plăcilor de cuarț în tăietură AT.

2.1.1. Ipotezele modelului

Modelul dezvoltat se referă la comportarea unei plăci de cuarț în tăietură AT din punctul de vedere al modificării frecvenței de rezonanță, dacă aceasta este supusă unor perturbații care au o distribuție neuniformă la suprafața plăcii. Placa de cuarț prezintă o formă de disc, conform figurii 2.3.a, cu suprafețele acoperite cu doi electrozi de aur, argint sau aluminiu.

Grosimea plăcii este cu mult mai mică decât diametrul acesteia (cel puțin de 20 de ori). Placa are o suprafață convexă pentru a reduce efectul cuplării unor moduri complexe de vibrație cu vibrația de forfecare în grosime, care este modul de vibrație dorit și prezentat în figura 2.3.b.

În realitate există și alte moduri de oscilație cuplate parazit cu acesta, cum ar fi răsucirea și flexarea în grosime, dar contribuția acestora la stabilirea frecvenței de rezonanță este redusă, și aceste moduri de oscilație vor fi neglijate în continuare.

Cea mai simplă relație de calcul a frecvenței de oscilație la rezonanță pentru placa de cuarț de această formă este:

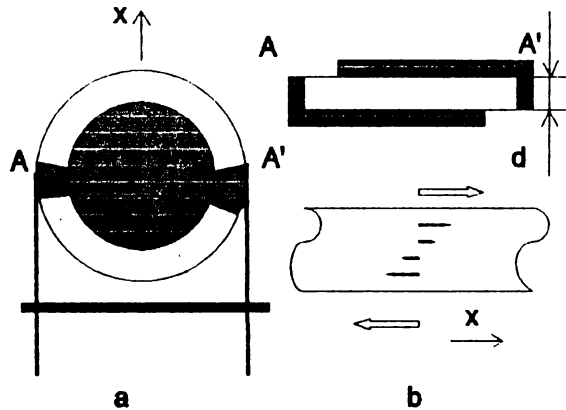


Figura 2.3 Oscilator cu cuarț în tăietura AT

$$f = \frac{1}{2d} \sqrt{\frac{c_{66}}{\rho}} \quad (2.1)$$

unde d este grosimea plăcii, c_{66} este constanta elastică pentru tăietura AT a modului de oscilație de forfecare în grosime, iar ρ este densitatea cuarțului.

Grosimea și masa electrozilor se neglijează, iar amplitudinea oscilațiilor la marginea electrozilor este considerată nulă, punctele de la periferia electrozilor fiind considerate puncte nodale.

Modelul simplificat dorește să explice modificarea frecvenței de rezonanță a unei plăci de cuarț dacă perturbația este concentrată într-un anumit punct al suprafeței plăcii, urmărindu-se variația frecvenței de rezonanță când zona de interacțiune între perturbație și placa de cuarț se modifică de-a lungul diametrului plăcii de cuarț.

2.1.2. Modelul discret simplificat

Modelul este dezvoltat pe baza unui sistem mecanic cu un număr finit de grade de libertate prezentat în figura 2.4. Pentru acest model masele m_1, m_2, \dots, m_n sunt constrânse să se deplaseze



Figura 2.4 Modelul pentru un sistem oscilant cu n grade de libertate

numai pe direcția x , pe orizontală în planul figurii și considerăm coeficienții de amortizare nuli.

Ecuția de echilibru dinamic a masei j este :

$$m_j \ddot{x}_j + k_j (x_j - x_{j-1}) + k_{j+1} (x_j - x_{j+1}) = f_j(t) \quad (2.2)$$

unde x_j este deplasarea după axa x a masei m_j , k_j este coeficientul elastic al resortului idealizat care conectează între ele masa m_j și masa m_{j-1} , iar $f_j(t)$ este forța perturbatoare.

Ecuția (2.2) poate lua forma :

$$m_j \ddot{x}_j - k_j x_{j-1} + (k_j + k_{j+1}) x_j - k_{j+1} x_{j+1} = f_j(t) \quad (2.3)$$

Dacă se scrie ecuația (2.3) pentru toate cele n mase din figura 2.4 rezultă sistemul :

$$[m](\ddot{x}) + [k](x) = (f) \quad (2.4)$$

în care matricea maselor $[m]$ este de forma :

$$[m] = \begin{bmatrix} m_1 & 0 & 0 & \dots & 0 & 0 \\ 0 & m_2 & 0 & \dots & 0 & 0 \\ \dots & \dots & \dots & \dots & \dots & \dots \\ 0 & 0 & \dots & m_j & \dots & 0 & 0 \\ \dots & \dots & \dots & \dots & \dots & \dots & \dots \\ 0 & 0 & 0 & \dots & \dots & m_{n-1} & 0 \\ 0 & 0 & 0 & \dots & \dots & 0 & m_n \end{bmatrix} \quad (2.5)$$

$[k]$ este matricea coeficienților de elasticitate de forma:

$$[k] = \begin{bmatrix} k_1 + k_2 & k_2 & 0 & \dots & \dots & \dots & 0 & 0 \\ -k_2 & k_2 + k_3 & -k_3 & \dots & \dots & \dots & 0 & 0 \\ \dots & \dots & \dots & \dots & \dots & \dots & \dots & \dots \\ 0 & \dots & -k_j & k_j + k_{j+1} & -k_{j+1} & \dots & \dots & 0 \\ \dots & \dots & \dots & \dots & \dots & \dots & \dots & \dots \\ 0 & 0 & 0 & \dots & \dots & -k_{n-1} & k_{n-1} + k_n & -k_n \\ 0 & 0 & 0 & \dots & \dots & 0 & -k_{n-1} & k_n + k_{n+1} \end{bmatrix} \quad (2.6)$$

$\langle x \rangle$ sunt vectorii deplasărilor, $\langle \ddot{x} \rangle$ sunt vectorii accelerațiilor

iar $\langle f \rangle$ sunt vectorii forțelor perturbatoare:

$$\langle x \rangle = \begin{bmatrix} x_1 \\ x_2 \\ \cdot \\ \cdot \\ x_n \end{bmatrix} \quad \langle \dot{x} \rangle = \begin{bmatrix} \dot{x}_1 \\ \dot{x}_2 \\ \cdot \\ \cdot \\ \dot{x}_n \end{bmatrix} \quad \langle f \rangle = \begin{bmatrix} f_1 \\ f_2 \\ \cdot \\ \cdot \\ f_n \end{bmatrix} \quad (2.7)$$

Matricele $[m]$ și $[k]$ se pot obține și din expresiile energiilor cinetice E_c , și a energiilor potențiale E_p , rezultatele obținute fiind aceleași.

Pulsațiile proprii și formele modurilor proprii de oscilație se obțin prin rezolvarea sistemului de ecuații omogene pentru vibrațiile libere neamortizate care rezultă din ecuația (2.4):

$$[m]\langle \ddot{x} \rangle + [k]\langle x \rangle = \langle 0 \rangle \quad (2.8)$$

Soluțiile x_1, \dots, x_n ale sistemului de ecuații de mai sus au forma prezentată în relația (2.9), unde cu φ_r se notează defazajul inițial :

$$\langle x \rangle = \begin{bmatrix} a_1 \\ a_2 \\ \cdot \\ \cdot \\ a_n \end{bmatrix} \sin(\omega t + \varphi_r) = \langle a \rangle \sin(\omega t + \varphi_r) \quad (2.9)$$

Înlocuind (2.9) în (2.8) avem :

$$([k] - \omega^2 [m]) \langle a \rangle = \langle 0 \rangle \quad (2.10)$$

Pulsațiile proprii sunt soluțiile ecuației algebrice :

$$\det([k] - \omega_r^2 [m]) = 0 \quad (2.11)$$

Fiecărei pulsații proprii ω_r îi corespunde un vector $\langle a^{(r)} \rangle$ cu

elemente reale $a_j^{(r)}$ astfel încât să fie satisfăcută ecuația matriceală:

$$([k] - \omega_r^2 [m]) \langle a^{(r)} \rangle = 0 \quad (2.12)$$

Valorile elementelor vectorului $\langle a^{(r)} \rangle$ sunt arbitrare deoarece sistemul de ecuații (2.9) este omogen. Forma unui mod propriu de vibrație este unică, dar amplitudinea este arbitrară, fiind definită de condițiile inițiale ale mișcării.

Dacă în sistemul de n ecuații omogene (2.12) se împarte fiecare ecuație cu $a_1^{(r)}$ se obțin rapoarte de tipul: $\mu_j^{(r)} = a_j^{(r)} / a_1^{(r)}$. Deoarece $\mu_1^{(r)} = a_1^{(r)} / a_1^{(r)} = 1$, noul sistem algebric conține n ecuații cu $(n-1)$ necunoscute: $\mu_2^{(r)}, \dots, \mu_n^{(r)}$, care este compatibil deoarece determinantul său este nul. Rezolvând acest sistem se obține forma modului propriu de vibrație de ordinul r , dat de ansamblul de elemente adimensionale $\mu_1^{(r)}, \dots, \mu_n^{(r)}$, cu $\mu_1^{(r)} = 1$. Se notează :

$$\langle a^{(r)} \rangle = \begin{bmatrix} a_1^{(r)} \\ \cdot \\ \cdot \\ \cdot \\ a_n^{(r)} \end{bmatrix} = a_1^{(r)} \begin{bmatrix} \mu_1^{(r)} \\ \cdot \\ \cdot \\ \cdot \\ \mu_n^{(r)} \end{bmatrix} = a_1^{(r)} \langle \mu^{(r)} \rangle \quad (2.13)$$

unde $\langle \mu^{(r)} \rangle$ este vectorul propriu normalizat de ordinul r .

Mișcarea în modul propriu de vibrație r este caracterizată de vectorul:

$$\langle x^{(r)} \rangle = \langle a^{(r)} \rangle \sin(\omega_r t + \varphi_r) = \langle \mu^{(r)} \rangle a_1^{(r)} \sin(\omega_r t + \varphi_r) = \langle \mu^{(r)} \rangle e_r \quad (2.14)$$

unde:

$$e_r = a_1^{(r)} \sin(\omega_r t + \varphi_r) \quad (2.15)$$

cu $a_r^{(r)}$ o constantă generală până la precizarea condițiilor inițiale.

Mișcarea generală a sistemului este dată de o suprapunere de moduri proprii :

$$\langle x \rangle = \sum_{r=1}^n \langle \mu^{(r)} \rangle e_r = [A] \langle e \rangle \quad (Z.16)$$

unde matricea modală [18] are vectorii proprii normalizați drept coloane :

$$[A] = [\langle \mu^{(1)} \rangle \langle \mu^{(2)} \rangle \dots \langle \mu^{(n)} \rangle] = \begin{bmatrix} \mu_1^{(1)} & \mu_1^{(2)} & \dots & \mu_1^{(n)} \\ \mu_2^{(1)} & \mu_2^{(2)} & \dots & \mu_2^{(n)} \\ \dots & \dots & \dots & \dots \\ \mu_n^{(1)} & \mu_n^{(2)} & \dots & \mu_n^{(n)} \end{bmatrix} \quad (Z.17)$$

Pulsațiile proprii au expresiile :

$$\omega_r^2 = \frac{K_r}{M_r} = \frac{\langle \mu^{(r)} \rangle^T [k] \langle \mu^{(r)} \rangle}{\langle \mu^{(r)} \rangle^T [m] \langle \mu^{(r)} \rangle} \quad (Z.18)$$

iar vectorii modali normalizați $\langle \mu^{(r)} \rangle$ satisfac ecuații de forma :

$$([k] - \omega_r^2 [m]) \langle \mu^{(r)} \rangle = 0 \quad (Z.19)$$

Acești vectori formează un sistem de vectori liniari independenți.

2.1.3. Calculul variației frecvenței de rezonanță la mici modificări de parametri, folosind metoda perturbațiilor.

Ecuația (2.12) se poate scrie notând vectorul pulsațiilor proprii $\langle \Omega_1, \Omega_2, \dots, \Omega_n \rangle$ astfel :

$$\begin{aligned}
[k] - \Omega [m] &= (0) \\
[k] [m]^{-1} - \Omega [m] [m]^{-1} &= (0) \\
[k] [m]^{-1} - \Omega I &= (0)
\end{aligned}
\tag{Z.20}$$

și notând cu $C = [k][m]^{-1}$ se obține :

$$C - \Omega I = (0) \tag{Z.21}$$

unde I este matrița unitate de ordinul n .

Pentru matrița A valorile proprii sunt $\Omega_1, \Omega_2, \dots, \Omega_n$, iar vectorii proprii corespunzători îi vom nota cu x^1, x^2, \dots, x^n . Aplicând teoria perturbațiilor [6] se calculează rădăcinile caracteristice ale matriței $C + \epsilon B$ unde B este o matrițe simetrică, iar ϵ este o constantă de valoare foarte mică. Rădăcinile caracteristice ale matriței $C + \epsilon B$ nu pot diferi mult ca valori de valorile rădăcinilor caracteristice pentru matrița C , și admitem că dispunem de aceste valori. Pentru vectorii proprii ai matriței $C + \epsilon B$ dispunem de dezvoltări în serie de puteri în funcție de valoarea ϵ :

$$\begin{aligned}
\lambda_I &= \Omega_I + \epsilon \Omega_{1I} + \epsilon^2 \Omega_{2I} + \dots \\
y^I &= x^I + \epsilon x^{1I} + \epsilon^2 x^{2I} + \dots
\end{aligned}
\tag{Z.22}$$

Pentru a determina coeficienții $\Omega_{11}, \Omega_{21}, \dots$ și vectorii proprii necunoscuți x^{11}, x^{21}, \dots se substituie aceste valori în ecuația:

$$(C + \epsilon B) y^I = \lambda_I y^I \tag{Z.23}$$

și egalând coeficienții avem :

$$\begin{aligned}
(C + \epsilon B) (x^I + \epsilon x^{1I} + \epsilon^2 x^{2I} + \dots) &= \\
= (\Omega_I + \epsilon \Omega_{1I} + \epsilon^2 \Omega_{2I} + \dots) (x^I + \epsilon x^{1I} + \epsilon^2 x^{2I} + \dots) &
\end{aligned}
\tag{Z.24}$$

Din ecuația de mai sus se pot scrie mai multe relații de forma :

$$\begin{aligned}
 Cx^i &= \Omega_i x^i \\
 Cx^{i+1} + Bx^i &= \Omega_i x^{i+1} + \Omega_{i+1} x^i \\
 Cx^{i+2} + Bx^{i+1} &= \Omega_i x^{i+2} + \Omega_{i+1} x^{i+1} + \Omega_{i+2} x^i \\
 &\dots\dots\dots
 \end{aligned}
 \tag{2.25}$$

Prima relație (2.25) este identic satisfăcută, a doua relație introduce doi termeni necunoscuți x^{i+1} și Ω_{i+1} , a treia relație introduce alți doi termeni necunoscuți x^{i+2} și Ω_{i+2} , ș.a.m.d. Dar cea de-a treia relație se poate pune sub forma :

$$(C - \Omega_i I) x^{i+1} = (\Omega_{i+1} I - B) x^i
 \tag{2.26}$$

unde matricea $C - \Omega_i I$ este singulară. Ecuația (2.26) va admite o soluție numai dacă vectorul din membrul doi al acesteia posedă proprietăți speciale.

Să exprimăm vectorul necunoscut x^{i+1} ca o combinație liniară a vectorilor proprii ai matricei C :

$$x^{i+1} = \sum_{j=1}^n b_j x^j
 \tag{2.27}$$

$$(C - \Omega_i I) \sum_{j=1}^n b_j x^j = \sum_{j=1}^n c_j x^j$$

Substituind în ecuația (2.26) valorile date de relațiile (2.27) obținem :

$$(C - \Omega_1 I) x^{i+1} = \sum_{j=1}^n c_j x^j \quad (Z.28)$$

dar având :

$$\begin{aligned}
 Cx^j &= \Omega_j^j \quad j=1, 2, \dots, n \\
 \sum_{j=1}^n (Cb_j x^j - \Omega_1 b_j x^j) &= \sum_{j=1}^n c_j x^j \\
 \sum_{j=1}^n b_j (\Omega_j x^j - \Omega_1 x^j) &= \sum_{j=1}^n c_j x^j \\
 \sum_{j=1}^n b_j (\Omega_j - \Omega_1) x^j &= \sum_{j=1}^n c_j x^j
 \end{aligned} \quad (Z.29)$$

rezultă :

$$b_j (\Omega_j - \Omega_1) = c_j \quad (Z.30)$$

Dacă $j=1$ rezultă din (2.30) că $c_1=0$, deci b_1 este arbitrar, iar celelalte valori b_j sunt date de relațiile :

$$b_j = \frac{c_j}{\Omega_j - \Omega_1} \quad j=1, 2, \dots, n \quad j \neq 1 \quad (Z.31)$$

Condiția $c_1=0$ exprimă faptul că ecuația (2.28) admite o soluție dacă și numai dacă vectorul $(C - \Omega_1 I)x^{i+1}$ este ortogonal cu x^1 , vectorul propriu asociat rădăcinii caracteristice Ω_1 .

In acest caz :

$$x^{i1} = b_1 x^i + \sum_{\substack{j=1 \\ j \neq i}}^n \frac{c_j x^j}{\Omega_j - \Omega_i} \quad (Z.32)$$

unde b_1 este arbitrar. Se poate lua $b_1=0$, deoarece dacă valoarea lui b_1 este diferită de zero ea afectează numai normalizarea noului vector propriu x^{i1} .

Din condiția de ortogonalitate, conform (2.26) avem :

$$(x^i, (\Omega_{i1} I - B) x^i) = 0 \quad (Z.33)$$

unde:

$$(x, y) = \sum_{i=1}^n x_i y_i \quad (Z.34)$$

$$(x^i, \Omega_{i1} I x^i) - (x^i, B x^i) = 0$$

$$\rightarrow \Omega_{i1} = (x^i, B x^i)$$

$$\rightarrow \mu_i = \Omega_i + \varepsilon \Omega_{i1} \quad (Z.35)$$

$$\mu_i - \Omega_i = \Delta = \varepsilon \Omega_{i1}$$

Pentru cazul modelării oscilației cristalului de cuarț având frecvențele de rezonanță în regim neperturbat cu valorile Ω_i , pentru modurile de oscilație de tip i , putem să calculăm variația frecvenței de rezonanță pentru un regim perturbat față de regimul neperturbat fără a fi nevoiți a calcula frecvențele de rezonanță μ_i pentru regimul perturbat.

Pe baza acestui algoritm am dezvoltat programe pentru studiul variației frecvenței de rezonanță pentru perturbații de diferite

tipuri (încărcare masică, încălzire locală și contact local cu fir elastic subțire) care apar de-a lungul diametrului rezonatorului de cuarț. Programele au fost scrise folosind produsele software "Matlab" și "Matcad"

2.1.4. Aplicațiile modelului

Modelul prezentat mai sus va fi utilizat pentru studiul variației frecvenței de rezonanță pentru o placă de cuarț în tăietură AT în trei cazuri distincte de perturbare a regimului de oscilație :

- încărcare masică neuniformă, în ipoteza că filmul depus este perfect elastic, care va fi tratată pe larg în capitolul 5
- iluminarea plăcii cu un fascicul laser, sau încălzirea plăcii cu o sursă termică punctiformă
- atingerea suprafeței de oscilației cu un fir elastic foarte subțire (cu diametrul de ordinul micronilor)

Pentru toate aceste situații se presupune că placa de cuarț este omogenă ceea ce implică că $k_1=k_2=...=k_n=k$ și $m_1=m_2=...=m_n=m$.

Dacă modelarea diametrului rezonatorului de cuarț cu masa totală M se face prin n mase concentrate de masă $m=M/n$ conectate între ele cu $n+1$ resoarte ideale cu coeficient de elasticitate k conform figurii 2.2, atunci frecvența de rezonanță este dată de formula [19]:

$$w=2\sqrt{\frac{k}{m}} \sin \frac{\pi}{2(n+1)} \quad (2.36)$$

Dacă prin model se caută a se obține aceeași frecvență de rezonanță pentru o masă totală a rezonatorului dată și pentru un număr oarecare n de mase concentrate, atunci valoarea coeficientului de elasticitate al resoartelor în funcție de frecvența de rezonanță impusă este :

$$p=(1+\frac{1}{n})^2 n \frac{M}{\pi} w^2 \quad (2.37)$$

Relația (2.37) este adevărată dacă n este destul de mare pentru ca

unghiul $\pi/[2(n+1)]$ să fie destul de mic, pentru a putea aproxima sinusul unghiului cu valoarea acestuia. Pentru modele având un număr n mai mare sau egal cu 7 această aproximație nu deranjează.

Aceasta este valoarea care s-a folosit pentru coeficientul de elasticitate al resoartelor ideale în cadrul modelului discret simplificat.

2.1.4.1. Simularea comportării rezonatorului cu cuarț la iluminarea suprafeței de oscilație cu un fascicul laser

Iluminarea plăcii de cuarț cu un fascicul laser, produce o încălzire locală și un gradient de temperatură pe suprafața rezonatorului de cuarț. În cadrul modelului aceasta înseamnă modificarea valorii coeficientului elastic pentru resoartele din vecinătatea masei m_j corespunzătoare punctului j iluminat (încălzit) de fasciculul laser. Datorită încălzirii locale am considerat că coeficientul elastic al resoartelor învecinate scade cu o valoare Δk impusă prin program. Faptul că placa de cuarț este în tăietură AT implică asigurarea în programul de simulare ca la o încălzire uniformă a plăcii, ceea ce ar corespunde cu expandarea fasciculului laser pe întreaga suprafață oscilantă, frecvența de rezonanță să nu își schimbe valoarea. Aceasta se realizează impunând un raport constant de forma :

$$\frac{k_j + k_{j+1}}{2m_j} = p \quad (2.38)$$

pentru fiecare masă concentrată, fie că este iluminată sau nu de fasciculul laser și unde p este dat de relația (2.37). Valoarea pentru masa concentrată va fi:

$$m_j = \frac{k_1 + k_2}{2 \left(1 + \frac{1}{n}\right)^2 n n \pi w^2} \quad (2.39)$$

La incidența fasciculului laser în punctul corespunzând masei m_1

(vezi figura 2.2) coeficienții elastici ai primelor două resoarte conectate la masa m_1 devin : $k_1 = k - \epsilon_k k = k_2$ unde ϵ_k este variația coeficientului de elasticitate datorat încălzirii locale a plăcii. Restul resoartelor își păstrează aceeași coeficienți elastici.

Pentru a simula corect tăietura de tip AT în cristal masa punctului iluminat de fasciculul laser este $m_1 = m - \epsilon_m m$, unde ϵ_m este variația unei mase concentrate necesară pentru a respecta condiția de tăietură AT, care se obține prin înlocuirea valorilor coeficienților elastici k_1 și k_2 în relația (2.39). Ecuația (2.20) devine astfel:

$$[k_1] [m_1]^{-1} - \Omega \dot{I} = 0$$

$$[k_1] = \begin{bmatrix} 2k-2\epsilon_k k & -(k-\epsilon_k k) & 0 & . & 0 \\ -(k-\epsilon_k k) & 2k & -k & . & 0 \\ . & . & . & . & . \\ 0 & . & -k & 2k & -k \\ 0 & . & 0 & -k & 2k \end{bmatrix} = \begin{bmatrix} 2k & -k & 0 & . & 0 \\ -k & 2k & -k & . & 0 \\ . & . & . & . & . \\ 0 & . & -k & 2k & -k \\ 0 & . & 0 & -k & 2k \end{bmatrix} + \epsilon_k \begin{bmatrix} -2k & k & 0 & . & 0 \\ k & 0 & 0 & . & 0 \\ . & . & . & . & . \\ 0 & . & 0 & 0 & 0 \\ 0 & . & 0 & 0 & 0 \end{bmatrix} =$$

$$= [k] + [\delta k_1]$$

(Z.40)

cu:

$$[m_1] = \begin{bmatrix} m - \epsilon_m m & 0 & . & 0 \\ 0 & m & . & 0 \\ . & . & . & . \\ 0 & . & 0 & m \end{bmatrix} \quad (Z.41)$$

În caz general inversa matricel $[m_p] = [m] + \epsilon_m [\theta]$ este de forma $[m_p]^{-1} = [m]^{-1} + + [\delta m_p]^{-1}$, unde matricea $[\theta]$ este de forma :

$$[\theta] = \begin{bmatrix} \theta_1 m & 0 & 0 & . & . & 0 \\ 0 & \theta_2 m & 0 & . & . & 0 \\ . & . & . & . & . & . \\ . & . & . & \theta_j m & . & . \\ . & . & . & . & . & . \\ 0 & 0 & 0 & . & . & \theta_n m \end{bmatrix} \quad (Z.42)$$

Cele n puncte luate în considerare se consideră a fi distribuite echidistant de-a lungul diametrului plăcii de cuarț după axa x .

Matricea $[m_p]$ are forma :

$$[m_p] = \begin{bmatrix} m + \epsilon_n \theta_1 m & 0 & \dots & 0 \\ 0 & m + \epsilon_n \theta_2 m & \dots & 0 \\ \dots & \dots & \dots & \dots \\ 0 & \dots & \dots & 0 \\ 0 & \dots & 0 & m + \epsilon_n \theta_n m \end{bmatrix} \quad (Z.43)$$

Deoarece $\epsilon_n \ll 1$, prin neglijaarea valorii $(\epsilon_n \theta_j m)^2$ față de valoarea m^2 și faptul că matricea $[m_p]$ este o matrice simetrică, prin înmulțirea și împărțirea fiecărui termen al diagonalei matricii (2.43) $m + \epsilon_n \theta_j m$ cu un termen de forma $m - \epsilon_n \theta_j m$, inversa matricii $[m_p]$ are forma:

$$[m_p]^{-1} = \begin{bmatrix} \frac{1}{m} - \epsilon_n \frac{\theta_1}{m} & 0 & \dots & 0 \\ 0 & \frac{1}{m} - \epsilon_n \frac{\theta_2}{m} & \dots & 0 \\ \dots & \dots & \dots & \dots \\ 0 & 0 & \dots & \frac{1}{m} - \epsilon_n \frac{\theta_{n-1}}{m} \\ 0 & 0 & 0 & \frac{1}{m} - \epsilon_n \frac{\theta_n}{m} \end{bmatrix} \quad (Z.44)$$

Pentru cazul nostru particular $\theta_1=1$ iar $\theta_j=0$ pentru $j=2..n$ și deci relația (2.40) se poate scrie sub forma:

$$\begin{aligned} [k_1] [m_1]^{-1} &= ([k] [m] + \epsilon_k [k_1]) ([m]^{-1} + \epsilon_n [m_1]^{-1}) = \\ &= [k] [m]^{-1} + \epsilon_n [k] [m_1]^{-1} + \epsilon_k [k_1] [m]^{-1} + \epsilon_n \epsilon_k [k_1] [m_1]^{-1} \end{aligned} \quad (Z.45)$$

Tabel I Variația coeficientului de elasticitate pentru resoartele ideale ale modelului discret simplificat, la simularea iluminării suprafeței rezonatorului cu un fascicul laser

nr.	val. ϵ	grad.temp.
1	$0,5 \cdot 10^{-6}$	abrupt
2	10^{-6}	abrupt
3	$0,5 \cdot 10^{-6}$	liniar
4	10^{-6}	liniar

Dar din relația (2.39) rezultă pentru tăietura AT că $\epsilon_k = \epsilon_m = \epsilon$, iar termenul ce conține pe ϵ^2 se neglijează. Dacă se notează cu $C=[k][m]^{-1}$ și cu B matricea care înmulțește factorul ϵ , se obține relația (2.20), care reprezintă ecuația pentru regimul perturbat care se rezolvă conform celor prezentate în paragraful 2. 1.2.

Se repetă toate aceste operații matematice (2.40) ... (2.45) pentru cazul în care fasciculul laser iluminează punctele

corespunzătoare maselor m_2, m_3, \dots, m_7 , simulându-se astfel o baleiere completă a diametrului plăcii de cuarț în lungul axei x pentru un model cu 7 mase concentrate. Dacă se admite o distribuție neuniformă de putere termică în placa de cuarț, prin suprapunerea efectelor, pentru punctele alăturate punctului în care fasciculul laser se consideră incident pe placa de cuarț, se consideră variația coeficienților elastici pentru resoartele adiacente ca fiind o fracțiune din variația coeficientului de elasticitate pentru resoartele adiacente masei din punctul iluminat prin fasciculul laser. Valorile cu care se modifică acești coeficienți de elasticitate depind de alura gradientului de putere termică simulat.

Pentru valori ale lui ϵ date în tabelul I se obțin la frecvența de rezonanță pentru modul fundamental de 9,87 Mhz variații ale frecvenței de rezonanță prezentate în graficul din figura 2.13, unde pe axa X cu numere sau notat pozițiile maselor din model conform figurii 2.4.

Săgețile din figura 2.5 reprezintă curbele de modificare a frecvenței de rezonanță la baleierea cu un fascicul laser care produce o modificare a coeficienților de elasticitate pentru resoartele ideale prezentate în tabelul I la poziția notată cu același nu-

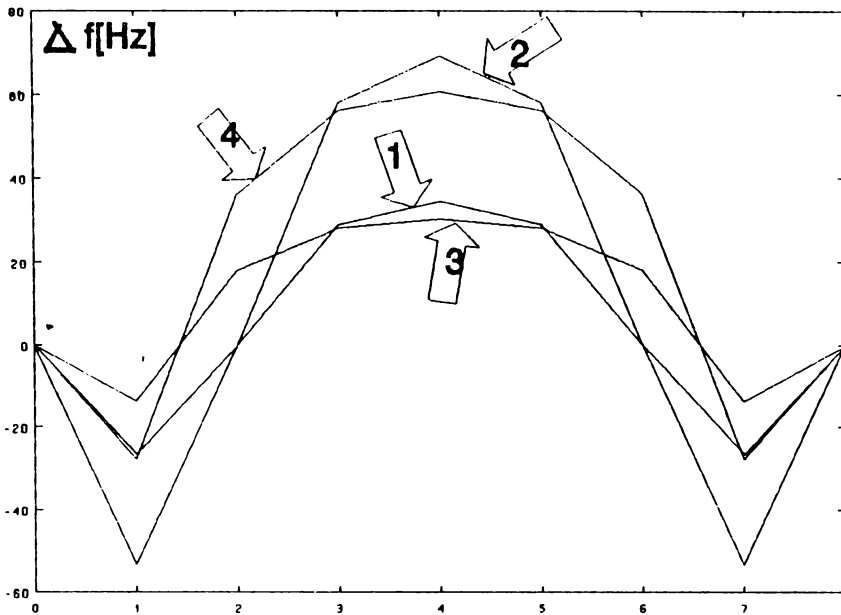


Figura 2.5. Variația frecvenței de rezonanță pentru modul fundamental de oscilație la iluminarea plăcii cu laser.

măr. Caracteristicile fasciculusului laser simulate sunt: intensitatea, care este modificată prin diferite valori date lui ϵ , și respectiv focalizarea fasciculusului, care poate produce un gradient abrupt de temperatură în placă dacă avem o focalizare bună, sau un gradient de temperatură liniar pentru o focalizare mai slabă. Aceste tipuri de gradient de temperatură se simulează prin alocarea de valori adecvate pentru cantitatea cu care scad coeficienții elastici pentru resoarte în funcție de poziția spațială a acestora față de punctul de iluminare al diametrului cu fasciculusul laser. Pentru gradientul liniar am luat valori de scădere a constantei elastice: ϵ , $3\epsilon/4$, $2\epsilon/4$, și $\epsilon/4$, iar pentru gradientul abrupt am luat valorile: $8\epsilon/4$, $3\epsilon/4$ și $\epsilon/4$. Am făcut modelări cu mai multe tipuri de gradient de temperatură ca să pun în evidență care este legătura între focalizarea fasciculusului laser și modificările frecvenței de

rezonanță (la aceeași putere a fasciculului laser)

Pentru aceleași valori ale parametrului ϵ date în tabelul I s-a simulat variația de frecvență la baleierea cu un fascicul laser a diametrului unei plăci de cuarț în tăietură AT în cazul oscilației pe armonica a treia. Frecvența de rezonanță în acest mod de oscilație simulată a fost de 28.11 MHz, iar în figura 2.4 se prezintă rezultatele obținute. Baleierea se execută după axa x, iar simularea pune în evidență modul de oscilație cu trei maxime de amplitudine.

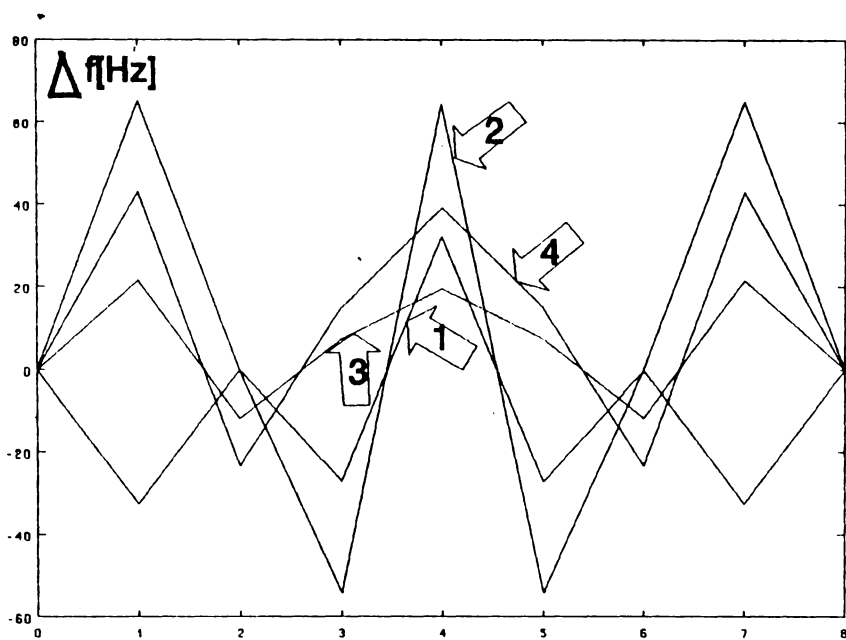


Figura 2.6 Variația frecvenței de rezonanță la iluminarea cu laser pentru armonica a treia.

Simularea corectă a modului de oscilație pentru armonica a treia se poate face numai pentru un model cu minim 7 mase. Pentru un model cu 5 mase în urma simulării apare un nod fals pentru masa din centrul sistemului care se datorează impunerii condiției ca sistemul să respecte comportarea cristalului de cuarț în tăietură

AT, adică la încălzirea globală a sistemului să nu apară modificări ale frecvenței de rezonanță. În acest caz în centrul modelului cu 5 mase apare la armonică a treia o singură masă care ar trebui să aibă amplitudinea de oscilație diferită de zero. Deoarece modul de oscilație impune ca masele vecine să nu își modifice poziția, face ca la excitarea masei centrale prin încălzirea cu laser să nu apară variație de frecvență.

Pentru studiul acestui mod de comportare al plăcii de cuarț la iluminarea cu un fascicul laser modelul are deosebită importanță de a pune în evidență o legătură între variația frecvenței de rezonanță la iluminarea într-un punct oarecare al plăcii și amplitudinea de oscilație a aceluși punct, idee care stă la baza metodei de investigație cu laser a amplitudinii de oscilație a plăcilor de cuarț.

Deși în mod ideal rezonatorul cu cuarț în tăietură AT nu trebuie să-și modifice frecvența de rezonanță la variația temperaturii atunci când este încălzit uniform, totuși în realitate există o dependență a frecvenței de rezonanță cu

temperatura conform unor curbe binecunoscute [8]. Interesant este faptul că la iluminarea cu laser, prin încălzirea locală a suprafeței de oscilație, variația frecvenței de rezonanță este de semn contrar celei obținute prin încălzire uniformă. Aceasta se obține atât prin simulare utilizând

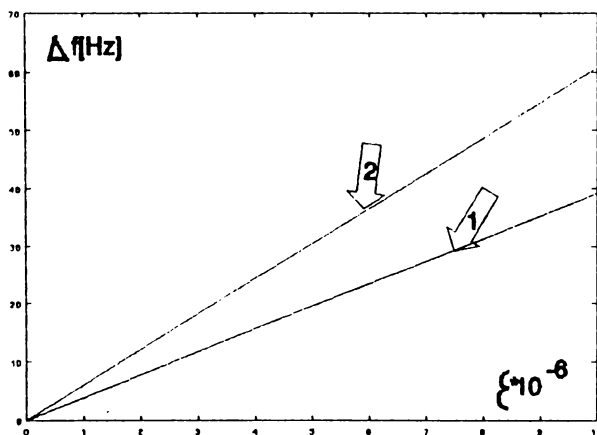


Figura 2.7 Variația frecvenței de rezonanță la iluminarea în zona centrală a plăcii de cuarț cu un fascicul laser care generează un gradient de temperatură: 1) liniar; 2) abrupt

modelul discret simplificat, cât și în experiențele practice efectuate de autor.

În cazul simulării iluminării plăcii de cuarț în zona centrală cu un fascicul laser a cărui putere se modifică, coeficienții elastici pentru resoarte variază între $\epsilon=0$ și $\epsilon=10 \cdot 10^{-6}$ din valoarea inițială, cu pasul de 10^{-6} . Variațiile frecvenței de rezonanță rezultate în aceste condiții pentru un cristal de cuarț simulat cu un model cu 7 mase, cu frecvența fundamentală de 9,87MHz și armonicele de 28,11 MHz, sunt prezentate în figura 2.7.

Rezultatele valorice obținute în urma simulării comportării cristalului de cuarț la iluminarea cu un fascicul laser corespund rezultatelor experimentale prezentate în capitolul 3 atât pentru distribuția amplitudinilor de oscilație de-a lungul unui diametru, cât și ca valoare a variației relative a frecvenței de oscilație, dacă valorile pentru variația coeficientului de elasticitate sunt alese adecvat, încât să înglobeze în ele toate influențele pe care le suferă cristalul în urma gradientului termic instalat.

Programele de simulare sunt prezentate în anexa 5.

2.1.4.2. Simularea modificării frecvenței de rezonanță la atingerea suprafeței de oscilație cu un fir elastic.

La atingerea suprafeței de oscilație a unei plăci de cristal de cuarț în tăietură AT cu un fir elastic se produce un salt de frecvență care este proporțional cu amplitudinea vibrațiilor plăcii de cuarț la punctul de contact între fir și placă.[45][46]. Comportarea rezonatorului este ca și cum ar crește coeficientul de elasticitate al cristalului în punctul de contact al firului cu suprafața rezonatoare. Aceasta permite scrierea ecuațiilor pentru modelul simplificat de forma relațiilor (2.40), unde punctul de contact cu diametrul plăcii de cuarț simulate este punctul corespunzător masei m_1 conform figurii 2.2. Pentru acest caz $[m]^{-1}=[m]$.

$$[k_1] [m]^{-1} - \Omega I = 0$$

$$[k_1] = \begin{bmatrix} 2k+2\delta k & -k & 0 & . & 0 \\ -k & 2k & -k & . & 0 \\ . & . & . & . & . \\ 0 & . & -k & 2k & -k \\ 0 & . & 0 & -k & 2k \end{bmatrix} = \begin{bmatrix} 2k & -k & 0 & . & 0 \\ -k & 2k & -k & . & 0 \\ . & . & . & . & . \\ 0 & . & -k & 2k & -k \\ 0 & . & 0 & -k & 2k \end{bmatrix} + \delta \begin{bmatrix} 2k & 0 & 0 & . & 0 \\ 0 & 0 & 0 & . & 0 \\ . & . & . & . & . \\ 0 & . & 0 & 0 & 0 \\ 0 & . & 0 & 0 & 0 \end{bmatrix} = (Z.46)$$

$$= [k] + [\delta k_1]$$

cu:

$$[m] = \begin{bmatrix} m & 0 & . & 0 \\ 0 & m & . & 0 \\ . & . & . & . \\ 0 & . & 0 & m \end{bmatrix} \quad (Z.47)$$

Ecuatia (2.46) ia forma :

$$([k] [m] + [\delta k_1] [m]) - \Omega I = 0 \quad (Z.48)$$

cărea i se poate aplica metoda perturbației pentru a calcula abaterea frecvenței de rezonanță. Dacă se repetă calculele pentru cazul în care firul atinge pe rând fiecare din punctele modelului prezentat în figura 2.4, caz care corespunde cu trecerea firului de-alungul diametrului rezonatorului, se obține o variație de frecvență conform celor prezentate în figura 2.8, pentru modul de oscilație fundamental. Frecvența de rezonanță simulată pentru un model cu 7 mase concentrate este de 9.87 MHz, iar modificarea coeficientului de elasticitate în locul contactului este de $\epsilon = 2 \cdot 10^{-6}$

În aceleași condiții pentru armonica a treia, de frecvență 28.11 MHz, se obțin variațiile frecvenței de rezonanță prezentate în figura 2.9, la balearea cu un fir elastic a diametrului plăcii de cuarț. Observațiile privind modelarea modului de oscilație pe armonica a treia făcute la paragraful anterior (la iluminarea suprafeței de oscilație cu un fascicul laser) rămân valabile și pentru

acest caz. Pentru ambele grafice pe axa x s-au notat punctele din model corespunzătoare figurii 2.10 unde atinge firul placa.

Dacă apăsarea firului pe suprafața de oscilație este mai puternică atunci crește și coeficientul de

elasticitate, și drept urmare, și frecvența de rezonanță. Acest fenomen a fost simulat prin modificarea coeficientului de elasticitate între valorile $\epsilon=0. \dots 10 \cdot 10^{-6}$ în pași egali de

10^{-6} iar rezultatele simulării pentru un model cu 7 mase concentrate având frecvența de rezonanță de 9.87 MHz, pentru modul de oscilație fundamental, sunt prezentate în figura 2.10. Deși aparent atingerea suprafeței de oscilație cu un fir elastic ar

corespunde cu o încărcare masică, modificarea frec-

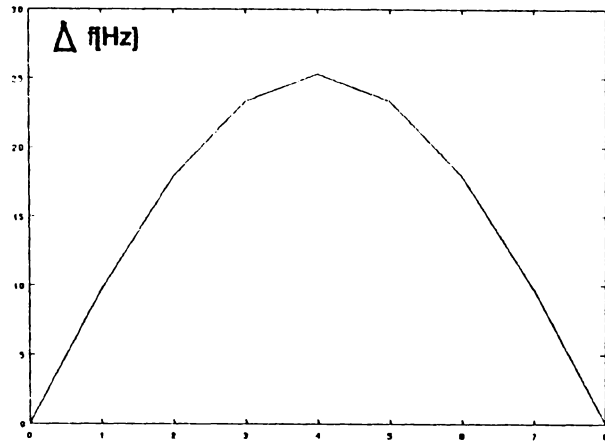


Figura 2.8 Modificarea frecvenței de rezonanță la baleierea plăcii de cuarț cu un fir elastic pe suprafața de oscilație.

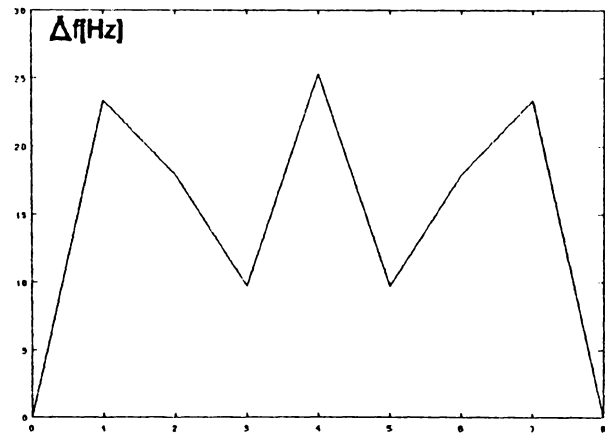


Figura 2.9 Variația frecvenței de rezonanță la atingerea suprafeței de oscilație cu un fir elastic când placa oscilează pe armonica a treia.

venței de rezonanță este de semn contrar celei care se produce la încărcarea masică. Acest fenomen a rezultat atât în urma simulării, cât și în urma efectuării experiențelor practice.

Programele care simulează modificarea frecvenței de rezonanță la atingerea suprafe-

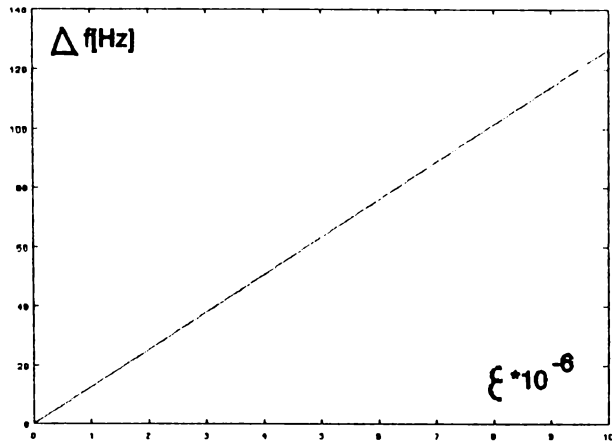


Figura 2.10 Variația frecvenței de rezonanță la apăsarea în zona centrală a unei plăci de cuarț în tăietură AT cu un fir elastic

ței de oscilație cu un fir elastic sunt prezentate în Anexa 6. Rezultatele obținute prin modelare corespund calitativ și cantitativ cu valorile obținute experimental pentru modificarea frecvenței de rezonanță pentru plăcile de cristal de cuarț în tăietura AT la aplicarea unor perturbații. Rezultate experimentale sunt prezentate în capitolul următor.

2.2. Model termic pentru studiul încălzirii locale a rezonatorului de cuarț prin iluminarea suprafeței de oscilație cu un fascicul laser.

Comportarea din punctul de vedere al stabilității frecvenței de rezonanță cu modificarea temperaturii a rezonatoarelor cu cuarț atunci când valoarea temperaturii este uniformă în toată masa cristalului a fost studiată exhaustiv, iar aceste studii au dus la apariția binecunoscutelor plăci de cuarț dublu rotite AT și BT. Mult mai recent s-a arătat că comportarea rezonatoarelor cu cuarț este complet diferită când distribuția de temperatură este neuniformă. Gradientele de temperatură induc tensiuni cvasistatice termice pre-

cum și deformări ale cristalului care prin efecte neliniare au ca rezultat modificarea frecvenței de rezonanță ale rezonatorilor. Primele calcule au fost efectuate de Hooland [32] și EerNisse [28] [29], iar apoi Ballato a construit un model pentru studiul comportării cristalului de cuarț supus unui ciclu de modificare a temperaturii. [3] În toate aceste modele gradientul de temperatură este distribuit numai în grosimea plăcii și este independent față de dimensiunile laterale ale rezonatorului.

2.2.1. Ipotezele modelului.

Intr-un rezonator de cuarț schimburile de energie termică se realizează prin conducție termică în interiorul cristalului, prin conducția termică a electrozilor, prin radiația termică la suprafața rezonatorului, prin convecție naturală, precum și prin conducție prin montura mecanică a cuarțului.

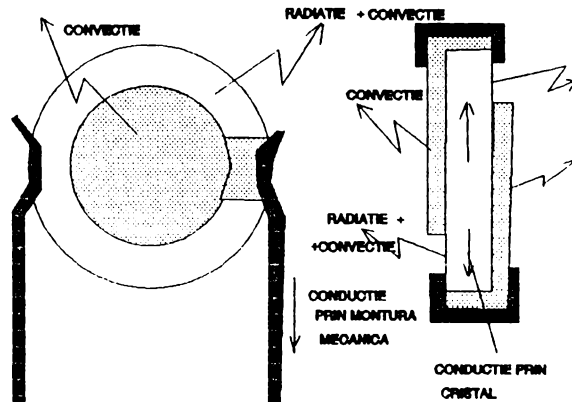


Figura 2.11 Schimbul termic cu exteriorul al unui rezonator cu cuarț

Dacă considerăm o placă de cristal planoconvexă iluminată cu un fascicul laser în zona centrală admitem, într-o ipoteză simplificatoare, că în placă se stabilește o repartizare de putere termică $q(r)$ de formă liniară. Din puterea termică care pătrunde prin electrod în cristal în urma iluminării cu fasciculul laser, o parte se pierde prin diferite mecanisme de disipare a energiei. Dacă electrozii sunt de aur și suprafața electrodului este o treime din suprafața discului de cuarț, puterea fasciculului laser se disipă în rezonatorul de cuarț conform conductanțelor termice existente între rezonator și mediul înconjurător (prin intermediul celor trei componente geometrice principale: suprafața electrodului,

suprafața cristalului de cuarț, muchiile cristalului) și montura mecanică reprezentate în figura 2.11 [85] :

- conductanța termică a electrodului : $6 \cdot 10^{-5}$ W/K
- conductanța termică a cristalului (față principală) : $2 \cdot 10^{-3}$ W/K
- conductanța termică a muchiilor $5 \cdot 10^{-4}$ W/K
- conductanța termică a monturii mecanice este $2 \cdot 10^{-3}$ W/K

Fenomenul de apariție a unui gradient termic în cristalul de cuarț datorită încălzirii acestuia prin disiparea energiei vibraționale în căldură [86] [87] [30] , nu influențează într-o manieră hotărâtoare stabilirea gradientului de temperatură care apare datorită încălzirii locale cu un fascicul laser. Puterea termică ce apare în cristal datorită vibrațiilor cristalului este cel puțin cu un ordin de mărime mai mică decât cea datorată laserului.

Pentru senzorii construiți pe baza rezonatoarelor cu cuarț care funcționează în atmosferă deschisă schimburile lor de căldură cu exteriorul sunt altele decât pentru cristalele de cuarț folosite la controlul frecvenței și care funcționează în incinte închise vidate, ceea ce face necesară elaborarea unui nou model, față de cel elaborat de J.P.Valentin [85] [86].

2.2.2 Modelul termic.

Se consideră cristalul de cuarț divizat în trei regiuni conform figurii 2.12, care sunt: zona I asupra căreia acționează fasciculul laser, zona II care corespunde cristalului de cuarț placat cu electrozi și zona III periferică a rezonatorului unde nu există decât cristal de cuarț.

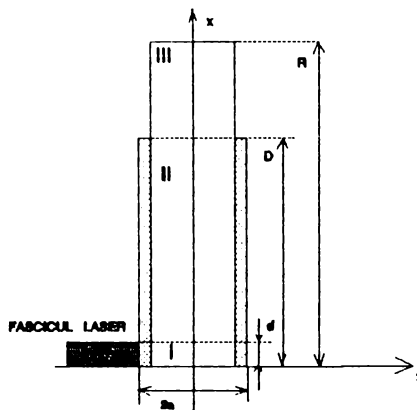


Figura 2.12 modelul termic pentru rezonatorul de cuarț

In zona I radiația laser incidentă va ridica temperatura cristalului de cuarț la o valoare T_1 . Temperatura care se stabilește în cristal depinde de puterea fascicului laser, de grosimea stratului de electrod și de materialul din care este confecționat electrodul, care având coeficienți de reflexie diferiți a radiației optice cu diferite lungimi de undă produce o dependență a temperaturii în funcție de lungimea de undă a radiației laser. La acoperirea electrozilor rezonatorului cu un strat fotoabsorbant precum și la înlăturarea electrodului în zona de incidență a radiației laser pe suprafața oscilantă, dependența temperaturii ce se obține în interiorul cristalului față de lungimea de undă a radiației laser dispăre. Experiențele prezentate în capitolul 3 vin să certifice aceste afirmații. Datorită faptului că grosimea plăcii este mică se poate considera în această zonă că avem aceeași temperatură în volumul cristalului.

Experiența prezentată în paragraful 3.2.4 vine să demonstreze aceasta prin faptul că iluminat pe ambele suprafețe principale în zona centrală cu două fascicule laser de aceeași lungime de undă, variația totală de temperatură se obține ca o sumă a celor două variații de temperatură datorate fiecărui fascicul laser în parte, deoarece efectele privind variația frecvenței de rezonanță se însușează.

In zona II temperatura cristalului de cuarț crește peste temperatura mediului înconjurător T_m datorită fenomenului de conducție termică a cuarțului. Conductivitatea termică medie a cuarțului pentru tăietura AT este de 8 W/mK conform lui EerNisse [29] sau conform [95] are valori cuprinse între 5.9 și 11 W/mK . Schimbul de căldură cu exteriorul se face prin radiație și convecție naturală.

Prin radiație se pierde foarte puțină căldură deoarece factorul de emisie termică pentru argint este foarte mic, aprox. $\epsilon_{Ag} = 0.04$, iar cuarțul este placat spre exterior cu electrozi de argint. Același lucru este valabil și pentru alte metale Au, Al sau Cu, din care se pot realiza electrozii. Prin convecție naturală coeficientul de transfer termic, calculat după formula aproximativă a lui Nusselt [96], valabilă în cazul unui perete vertical plan

este:

$$\alpha = 2,552 (T_2 - T_m)^{1/4} \quad \left[\frac{W}{m^2 K} \right] \quad (Z.49)$$

Dacă considerăm o diferență între temperatura cuarțului T_2 din zona II și a mediului ambiant T_m de $0,7^\circ C$, (care se va demonstra cantitativ în paragraful următor), și o suprafața de electrod de 4 cm^2 atunci se obține o conductanță termică, definită ca raport între cantitatea de căldură schimbată cu exteriorul și variația de temperatură, $Y_\alpha = 9,33 \cdot 10^{-4} = 10^{-3} \text{ W/K}$. Rezultatul este de remarcant deoarece față de modelul lui J.P.Valentin, la funcționarea rezonatorului cu cuarț în atmosferă nu se mai poate neglija gradientul de temperatură care se instalează în zona II a modelului prezentat. Consecințele sunt majore în sensul că zona în care apare acest gradient este o zonă în care rezonatorul de cuarț prezintă amplitudine de oscilație diferită de zero, ceea ce duce la modificarea frecvenței de rezonanță.

În zona III schimbul de căldură cu exteriorul se face prin radiație și convecție termică a cuarțului. Coeficientul de emisie energetică a cuarțului $\epsilon_q = 0,95$ face ca la suprafața inelului de cuarț să avem o conductanță termică de aprox. $2 \cdot 10^{-3} \text{ W/K}$. Spre deosebire de modelul lui J.P.Valentin acest termen nu se poate neglija deoarece rezonatorul nu este într-o incintă vidată.

Aceasta zonă își aduce contribuția la modificarea frecvenței de rezonanță numai prin gradientul de temperatură în planul plăcii. Gradientul în grosime deși existent prin faptul că zona fără electrozi nu prezintă amplitudine de oscilație nu va modifica frecvența de rezonanță. În schimb efectul datorat monturii mecanice, care este important la modelul lui J.P.Valentin, se reduce considerabil deoarece întregul inel de cuarț de la marginea rezonatorului are o conductanță termică de același ordin de mărime ca și montura mecanică.

Pentru a calcula gradientul de temperatură din placa de cuarț, și de aici tensiunile elastice induse, se scrie ecuația de difuzie a căldurii în volumul rezonatorului, în coordonate cilindrice :

$$\nabla^2 T + \frac{q(r, \theta, z)}{\lambda} = 0 \quad (Z.50)$$

unde $q(r, \theta, z)$ reprezintă în coordonate cilindrice distribuția puterii termice în interiorul cristalului. Condițiile de frontieră sunt pentru gradientul de temperatură din planul plăcii de cuarț:

$$\begin{aligned} \lambda \frac{\partial T}{\partial r} &= Y_1 [T_3(r, z) - T_2(r, z)] & r=D \\ \lambda \frac{\partial T}{\partial r} &= Y_2 [T_m - T_3(r, z)] & r=R \end{aligned} \quad (Z.51)$$

unde Y_1 reprezintă conductanța termică a cuarțului, Y_2 reprezintă conductanța termică a muchiiilor discului de cuarț, iar pentru gradientul de temperatură în grosimea plăcii avem:

$$\begin{aligned} \lambda \frac{\partial T}{\partial z} &= T_4 [T_m - T_2(r, z)] & z=\pm a, d < r < D \\ \lambda \frac{\partial T}{\partial z} &= Y_2 [T_m - T_3(r, z)] & z=\pm a, D < r < R \end{aligned} \quad (Z.52)$$

cu Y_4 definit anterior, și unde λ este conductivitatea medie a cuarțului, $T_2(r, z)$ este temperatura în cristal în zona II a modelului, $T_3(r, z)$ este temperatura în cristal în zona III, iar grosimea rezonatorului este $2a$.

Integrarea ecuației (2.50) cu condițiile de frontieră (2.51) și (2.52) conduc la stabilirea distribuției valorilor de temperatură în volumul cristalului.

2.2.3. Gradientul de temperatură la încălzirea locală a plăcii de cuarț cu un fascicul laser

Calculul gradientului de temperatură în cristalul de cuarț este o sarcină dificilă. Totuși pentru determinări orientative cantitativă a acestui gradient, să calculăm gradientul de temperatură în cuarț de-a lungul axei r , neglijând într-o primă aproximație gradientul în grosimea plăcii care apare în zonele II și III ale

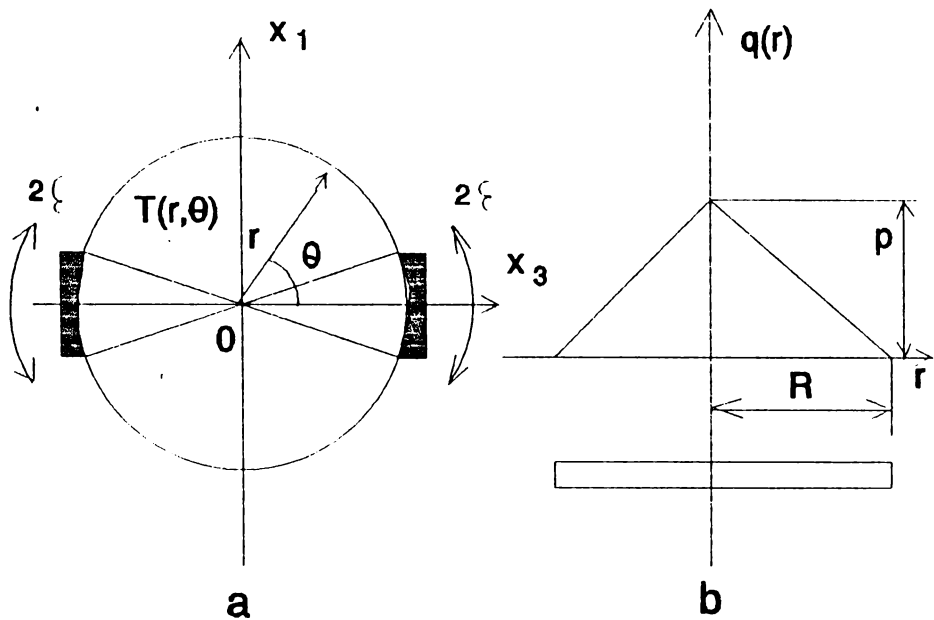


Figura 2.13 Distribuția liniară a puterii termice în interiorul cristalului de cuarț

modelului termic dezvoltat anterior, deci vom calcula pentru planul $z=0$, z fiind omis din următoarele relații.

Placa de cuarț sub forma de disc de rază R este prezentată în figura 2.13.a. $T(r, \theta)$ este temperatura cristalului, care este montat prin două elemente de fixare cu o grosime unghiulară de 2ξ .

Prin utilizarea coordonatelor (r, θ) în planul x_1x_3 ecuația difuziei temperaturii, prin neglijarea gradientului după axa Z , este prezentată în ecuația (2.53), unde $T(r, \theta)$ este temperatura în punctul de coordonate r și θ în planul x_1x_3 .

$$\nabla^2 T = \frac{\partial^2 T}{\partial r^2} + \frac{1}{r} \frac{\partial T}{\partial r} + \frac{1}{r^2} \frac{\partial^2 T}{\partial \theta^2} = -\frac{q(r)}{\lambda} \quad (2.53)$$

Considerând că puterea termică pe unitatea de volum $[W/m^3]$ în centrul plăcii are valoarea p , putem scrie valoarea distribuției

puterii termice $q(r)$ admisă liniară, ca fiind:

$$q(r) = p - \frac{P}{R}r \quad (Z.54)$$

Soluția ecuației (2.53) poate fi pusă sub forma :

$$T(r, \theta) = T_0(r) + T_2(r, \theta) \quad (Z.55)$$

unde $T_0(r)$, care nu depinde de θ , este soluția ecuației :

$$\frac{\partial^2 T_0}{\partial r^2} + \frac{1}{r} \frac{\partial T_0}{\partial r} = -\frac{q(r)}{\lambda} \quad (Z.56)$$

iar $T_2(r, \theta)$ este soluția ecuației:

$$\nabla^2 T_2(r, \theta) = 0 \quad (Z.57)$$

Rezonatorul neanchis în capsulă vidată prezintă o radiație termică a suprafeței de cuarț neplacată cu electrozi care face ca efectul conductanței termice a monturii mecanice să fie atenuat astfel încât nu apare o modificare importantă a temperaturii plăcii de cuarț în funcție de unghiul θ . Deci distribuția temperaturii în placa de cuarț depinde aproximativ numai de r . Variația frecvenței de rezonanță depinde numai de distribuția de temperatură $T(r)$ [86].

Ecuația (2.56) are o soluție de forma :

$$T_0(r) = \ln r \int r f(r) dr - \int r \ln r f(r) dr + C_1 \ln r + C_2 \quad (Z.58)$$

unde :

$$f(r) = -\frac{q(r)}{\lambda} = -\frac{P}{\lambda R}r - \frac{P}{\lambda} \quad (Z.59)$$

Din condiția ca temperatura în centrul plăcii de cuarț să fie de valoare finită, rezultă că constanta de integrare C_1 este nulă. Înlocuind valoarea lui $f(r)$ din (2.59) în soluția (2.58) efectuând integrale simple prin părți, după unele simplificări avem :

$$T_0(r) = \frac{P}{\lambda} r^2 \left(\frac{r}{9R} - \frac{1}{4} \right) + C_2 \quad (Z.60)$$

unde constanta de integrare C_2 se impune prin condiția de frontieră pentru $r=R$:

$$T_0(R) = T_m = C_2 - \frac{P}{\lambda} \frac{5R^2}{36} \quad (Z.61)$$

$$C_2 = T_m + \frac{P}{\lambda} \frac{5R^2}{36}$$

Dacă dorim să prezentăm graficul gradientului de temperatură de-a lungul diametrului plăcii de cuarț, acesta se calculează conform programului din ANEXA 3. Alura gradientului de temperatură este prezentată în figura 2.14. Acesta a fost calculat pentru o placă cu

diametrul de 20mm, o valoare a puterii termice pe unitatea de volum p de $1 \cdot 10^5 \text{W/m}^3$ în zona plăcii de cristal iluminată de laser, care s-a obținut considerând un laser cu o putere de 10 mW având un fascicul cu diametrul de 1mm^2 , după ce lumina a străbatut electrodul depus pe suprafața rezonatorului. Gradientul de temperatură obținut de $0.7 \text{ } ^\circ\text{C}/10 \text{mm}$ cu alura din figura 2.14. Valoarea este în concordanță cu datele experimentale.

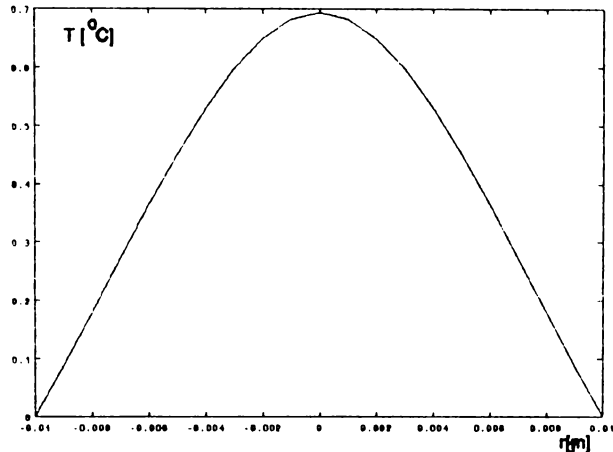


Figura Z.14 Temperatura de-a lungul diametrului plăcii de cuarț

2.2.4. Influența gradientului de temperatură asupra frecvenței de rezonanță pentru rezonatoare cu cuarț în tăietură AT.

În starea inițială placa de cuarț este la o temperatură constantă și nu există tensiuni, deplasări și deformări în cristal. Dacă temperatura crește de la T_0 la T , iar cristalul se poate extinde liber, avem :

$$u_i = y_i - x_i \quad (Z.62)$$

iar deformarea conform relației (1.11) este de forma:

$$S_{ij} = \frac{1}{2} \left(\frac{\partial u_i}{\partial x_j} + \frac{\partial u_j}{\partial x_i} \right) = \frac{1}{2} (u_{i,j} + u_{j,i}) \quad (Z.63)$$

folosindu-se o notație prescurtată cu virgulă la indice pentru derivare. Rezultă relația între tensiune-deformație-temperatură:

$$\begin{aligned} T_{ij} = & C_{ijkl}^* S_{kl} + \frac{1}{2} C_{ijklmn}^* S_{kl} S_{mn} + \\ & + \frac{1}{6} C_{ijklmpqr}^* S_{kl} S_{mn} S_{pq} + \\ & + \frac{1}{24} C_{ijklmpqrst}^* S_{kl} S_{mn} S_{pq} S_{rs} \end{aligned} \quad (Z.64)$$

unde u_i , S_{ij} și T_{ij} sunt deplasarea inițială, tensorul deformațiilor, tensorul tensiunilor elastice, și coeficienții elastici liniari și neliniari până la ordinul patru. ψ reprezintă creșterea temperaturii, fiind de forma:

$$\psi = \Delta T = T - T_0 \quad (Z.65)$$

În ecuația (2.64) coeficienții de elasticitate C_{ijkl}^* , C_{ijklmn}^* , ... sunt dependenți de temperatură și au forme polinomiale:

$$\begin{aligned}
C_{ijkl}^* &= C_{ijkl} + C_{ijkl}^{(1)} \Delta T + \frac{1}{2} C_{ijkl}^{(2)} (\Delta T)^2 + \frac{1}{6} C_{ijkl}^{(3)} (\Delta T)^3 \\
C_{ijklmn}^* &= C_{ijklmn} + C_{ijklmn}^{(1)} \Delta T + \frac{1}{2} C_{ijklmn}^{(2)} (\Delta T)^2 \\
C_{ijklmnpq}^* &= C_{ijklmnpq} + C_{ijklmnpq}^{(1)} \Delta T \\
C_{ijklmnpqrs}^* &= C_{ijklmnpqrs}
\end{aligned}
\tag{Z.66}$$

unde :

$$\begin{aligned}
C_{ijkl}^{(n)} &= \frac{\partial^n C_{ijkl}^*}{\partial T^n} \Big|_{T_0}, \quad n=1, 2, 3 \\
C_{ijklmn}^{(n)} &= \frac{\partial^n C_{ijklmn}^*}{\partial T^n} \Big|_{T_0}, \quad n=1, 2 \\
C_{ijklmnpq}^{(n)} &= \frac{\partial^n C_{ijklmnpq}^*}{\partial T^n} \Big|_{T_0}, \quad n=1 \\
& \quad n=1, 2, 3, 4.
\end{aligned}
\tag{Z.67}$$

În starea finală cristalul de cuarț prezintă vibrații cu amplitudine mică suprapuse peste deformația termică.

Cu aceste condiții inițiale, se poate aprecia factorii care duc la modificarea frecvenței de rezonanță la apariția unui gradient de temperatură spațial în placa de cuarț pentru modul de rezonanță de forfecare în grosime.

Tinând cont de ecuațiile generale de mișcare (1.42) se constată că variația frecvenței de rezonanță se datorează variației componentelor ce intervin în expresia tensiunilor elastice ca urmare a gradientului de temperatură ce se instalează în placă care sunt: variația coeficienților elastici cu temperatura, deformațiile mecanice ale plăcii datorate dilatației termice, care intervin în expresia tensiunii elastice prin intermediul coeficienților elastici neliniari. Vom particulariza aceste aspecte pentru cazul oscilației de forfecare în grosime utilizate în rezonatoarele cu cuarț în

taietură AT.

În relația 1 din (1.44) care reprezintă ecuația de mișcare pentru modul de oscilație de forfecare în grosime apare derivata spațială a tensiunii elastice $T_e^{(0)}$, în care termenii de interes sunt: c_{66} , $u_{z,1}^{(0)}$ și $u_1^{(1)}$. De asemenea variația tensiunii elastice $T_e^{(0)}$ se poate obține și datorită coeficienților elastici neliniari.

Dacă din relația (2.66) reținem numai primii trei termeni din partea stângă, variația coeficientului C_{66} cu temperatura depinde numai de raza r având expresia:

$$\begin{aligned} \frac{\partial C_{66}^*}{\partial r} &= \frac{\partial C_{66}}{\partial r} + \frac{\partial^2 C_{66}}{\partial T^2} \frac{\partial T}{\partial r} \Delta T + \frac{\partial C_{66}}{\partial T} \frac{\partial T}{\partial r} = \\ &= \frac{\partial^2 C_{66}}{\partial T^2} \frac{\partial T}{\partial r} \Delta T + \frac{\partial C_{66}}{\partial T} \frac{\partial T}{\partial r} = \frac{\partial^2 C_{66}}{\partial T^2} \frac{\partial T}{\partial r} \Delta T \end{aligned} \quad (2.68)$$

deoarece C_{66} nu variază cu raza, iar prima derivată a lui C_{66} cu temperatura are o valoare redusă datorită tăieturii AT care este compensată cu variația liniară a temperaturii.

Coeficientul de variație al lui C_{66} datorită unui gradient spațial de temperatură are expresia dată de relația (2.69) și are unitatea de măsură $[k^{-1} m^{-1}]$

$$TC_{66}^r = \frac{1}{C_{66}} \frac{\partial^2 C_{66}}{\partial T^2} \frac{\partial T}{\partial r} \quad (2.69)$$

Valoarea acestui coeficient este de -3.3×10^{-8} , fiind calculat în programul din Anexa 4, și este mult mai mare decât coeficientul de variație cu temperatura a frecvenței de rezonanță datorită derivatei de ordinul întâi al lui C_{66} .

Valoarea pentru variația coeficientului de elasticitate cu raza, datorită gradientului spațial de temperatură, este $\Delta C_{66} = (-3,3 \times 10^{-8}) \times \Delta r \times \Delta T \times C_{66}$ $[N/m^2]$ pentru exemplul luat în considerare.

La această variație a tensiunii elastice, datorată comportării

neliniare cu temperatura a coeficientului cee, se va adăuga variația datorată modificărilor deplasărilor mecanice ce apar în urma gradientului termic care prin intermediul coeficienților neliniari duc la modificarea tensiunii elastice. Aceste variații sunt dificil de exprimat prin relații analitice.

2.3. Concluzii.

Modelul discret simplificat, dezvoltat și prezentat în lucrare permite o evaluare în primul rând calitativă, dar și cantitativă a fenomenelor care produc modificarea frecvenței de rezonanță datorită aplicării unor mici perturbății plăcilor de cuarț în tăietură AT. Față de modelele existente în literatură se reușește a se pune în evidență efectele unor perturbații neuniform distribuite pe suprafața de oscilație a rezonatorului și care afectează diferit anumite zone ale suprafeței de oscilație.

Modelul este general, fiind capabil să explice unitar modificarea frecvenței de rezonanță atât pentru fenomenele de încărcare masivă, de iluminare cu fascicule laser cât și de atingere a suprafeței de oscilație cu fire elastice subțiri. Aceste fenomene sunt prezentate în literatura de specialitate fără a se încerca o explicație și un model teoretic unitar pentru ele.

Calcululele relativ simple cu care se operează pentru modelarea fenomenelor fizice ce apar în senzorul supus la o perturbație neuniformă face acest model atractiv.

Modelul termic introdus în acest capitol explică modificarea frecvenței de rezonanță datorată iluminării rezonatorului cu cuarț cu un fascicul laser. atunci când rezonatorul funcționează neîncapsulat, prezentându-se importanța convecției naturale pentru instalarea unui gradient de temperatură în grosimea cristalului. Aceasta distribuție de temperatură în cadrul cristalului de cuarț are un important rol în modificarea frecvenței de rezonanță.

CAPITOLUL 3

MODIFICAREA FRECVENȚEI DE REZONANȚĂ A UNUI REZONATOR CU CUART ÎN TĂIETURĂ AT LA APLICAREA UNOR PERTURBATII.

REZULTATE EXPERIMENTALE.

Experiențele prezentate în acest capitol pun în evidență modificarea frecvenței de rezonanță pentru o placă de cuarț în tăietură AT atunci când suprafața acesteia este iluminată cu un fascicul laser, este încălzită local cu o sursă punctuală de radiații în infraroșu sau este în contact mecanic cu un fir elastic subțire.

3.1. Instalațiile experimentale

Pentru a studia modificarea frecvenței de rezonanță pentru un oscilator de cuarț în tăietură AT la iluminarea cu un fascicul laser am fixat placa de cuarț într-o montură mecanică conform figurii 3.1. Aceasta permite modificarea poziției pe orizontală și pe verticală a plăcii de cuarț, precum

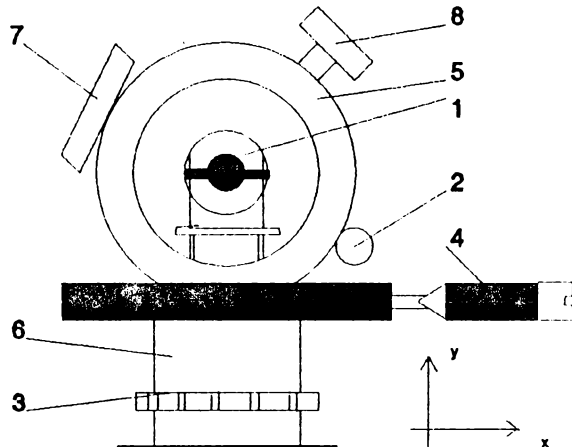


Figura 3.1 Montura mecanică pentru placa de cuarț.

și rotirea în jurul unei axe normale la suprafața plăcii care trece prin mijlocul acesteia. Placa de cuarț are forma unui disc având depuși doi electrozi de aluminiu sau de argint pe suprafețele acestuia. Pentru figura 3.1. avem: 1.placa de cuarț; 2.acționarea dispozitivului de rotire; 3.șurub micrometric pentru deplasarea după axa Y; 4.masă micrometrică (cu șurub micrometric) pentru deplasarea după axa X; 5.dispozitiv de rotire; 6.masa micrometrică pentru deplasare după axa Y; 7.placa cu componente electronice (oscilatorul); 8 vizor pentru citirea unghiului de rotație a plăcii de cuarț.

Montura de prindere a plăcii de cuarț este realizată cu ajutorul unor mase micrometrice produse de IMF București.

Placa de cuarț este introdusă în bucla de reacție a unui montaj de amplificare realizat pe baza amplificatorului operațional 733. Schema este prezentată în figura 3.2.

Valoarea rezistenței R_1

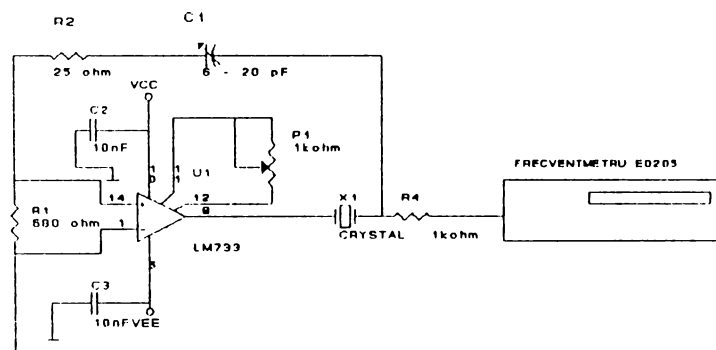


Figura 3.2 Schema electronică a oscilatorului

este de 680 ohm, iar grupul $R_2 C_1$ asigură reglajul fin al frecvenței de oscilație în jurul valorii de rezonanță furnizată de producătorul cristalului. Rezistența R_2 are o valoare de 25 ohm iar condensatorul variabil C_1 are o plajă de modificare a capacității cuprinsă între 6 - 20 pF. Potentiometrul P_1 având o valoare de 1kOhm reglează amplificarea și este util în excitarea modului de oscilație a cristalului pe armonica a treia. Rezistența R_4 cu o valoare

de 1 Kohm asigură adaptarea semnalului cules de pe cuarț la intrarea frecvențmetrului de tip E.0205 cu care s-au făcut citirile frecvenței de rezonanță.

Frecvențmetrul de tip E.0205 are o rezoluție de 1 Hz și un timp de răspuns de 1s, caracteristici care satisfac necesitățile exeperiențelor efectuate.

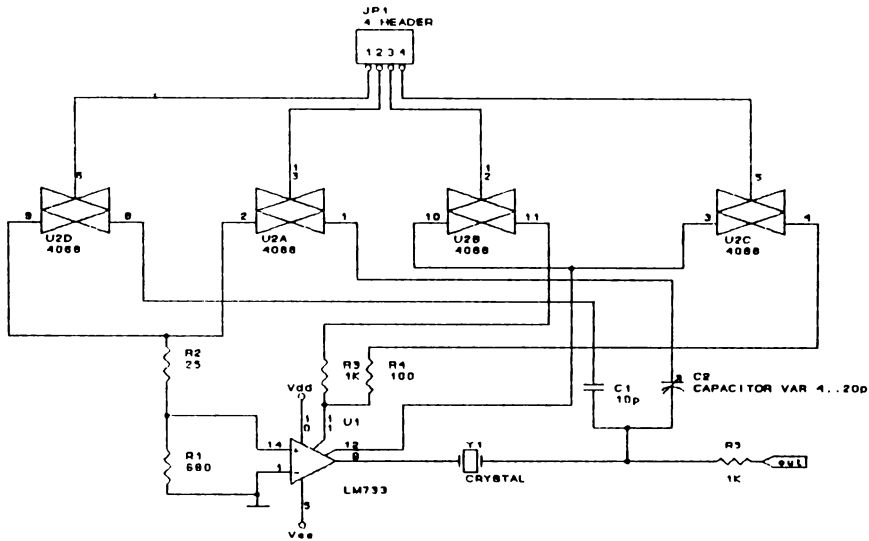


Figura 3.3 Schema oscilatorului cu comutare electronică a modurilor de oscilație pentru rezonatorul de cuarț

Pentru a putea comuta electronic modul de oscilație al cristalinelor de cuarț am conceput o schemă utilizând comutatoare CMOS de tipul 4066 prezentată în figura 3.3. Prin intermediul lor se poate comuta capacitatea inseriată cu cristalul de cuarț, precum și regla amplificarea amplificatorului operațional. Pentru a obține modul de oscilație fundamental în bucla de reacție se conectează un condensator de 10 pF, iar pentru moduri de oscilație overton se conectează un condensator variabil a cărui valoare este cuprinsă între 4 -

20 pF.

3.2. Modificarea frecvenței de rezonanță la încălzirea uniformă a unui rezonator cu cuarț.

Rezonatorul cu cuarț neîncapsulat a fost introdus într-o incintă termostată care prin răcire cu apă permite reglarea temperaturii în jurul valorii temperaturii ambiante.

Pentru mai multe rezonatoare cu cuarț cu frecvențe de rezonanță diferite s-au ridicat caracteristicile de frecvență în funcție de temperatură. Rezonatoa-

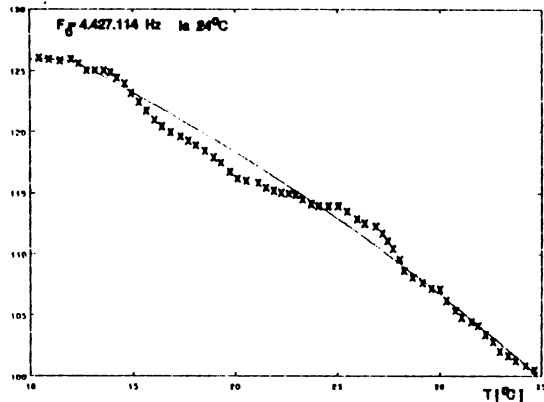


Figura 3.4 Variația frecvenței de rezonanță în funcție de temperatură pentru un cristal de cuarț oscilând pe frecvența fundamentală de 4.273.114 Hz

rele de cuarț utilizate în experimentele efectuate de autor respectă curbele de variație a frecvenței de rezonanță în funcție de modificarea temperaturii mediului ambiant. Pentru cristalul de cuarț cu frecvența de rezonanță fundamentală de 4.427.112 Hz, la temperatura mediului ambiant de 25 $^{\circ}C$, se obține o variație a frecvenței de rezonanță la modificarea temperaturii prezentată în figura 3.4.

3.3. Modificarea frecvenței de rezonanță la iluminarea rezonatorului cu cuarț cu un fascicul laser

3.3.1. Instalația experimentală

Pentru efectuarea acestor experiențe, montura mecanică și laserul cu care se aplică fasciculul perturbator pe suprafața plăcii de cuarț sunt fixate pe un banc optic conform figurii 3.5.

Pentru figura 3.5. avem :

1. frecvențimetru;
2. montura mecanică pentru placa de cuarț;
3. polarizor;
4. laser, cu He-Ne;
5. sursă de înaltă tensiune pentru laser;
6. banc optic.

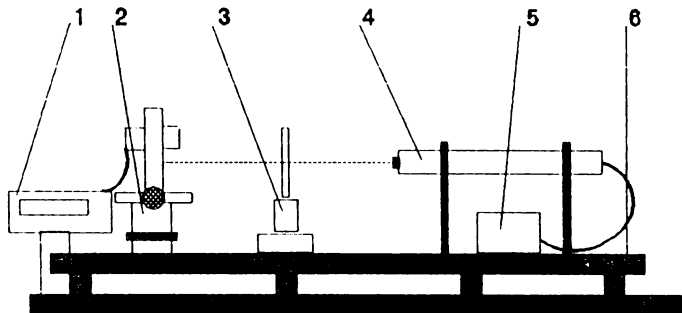


Figura 3.5 Montajul experimental pentru studiul modificării frecvenței de rezonanță la iluminarea plăcii de cuarț cu un fascicul laser

Experiențele au fost efectuate

utilizându-se două tipuri de laseri, laser cu He-Ne și laser cu argon având lungimi de undă de 632,8nm respectiv 501,7nm iar puterea fasciculului laser este variată între 0 și 10 mW.

Prin modificarea poziției plăcii de cuarț cu ajutorul monturii mecanice se poate realiza poziționarea după dorință a fasciculului laser pe suprafața plăcii de cuarț.

Utilizându-se instalația experimentală prezentată în figura 3.5 s-a studiat variația frecvenței de rezonanță pentru mai multe plăci planoconvexe de cuarț în tăietură AT de frecvențe diferite la iluminarea în zona centrală cu un fascicul laser.

3.3.2. Iluminarea cu un fascicul laser a unui rezonator cu cuarț în zona centrală a electrodului.

Prima experiență a demonstrat că între puterea fasciculului laser și variația frecvenței de rezonanță este o relație liniară. Variația puterii fasciculului laser care se aplică cristalului este

cuprinsă între 0 și 10 mW și această modificare este realizată cu ajutorul unui polarizor, prin rotirea acestuia obținându-se modificarea intensității luminoase a fascicului laser conform legii lui Malus. Puterea fascicului laser incident pe suprafață oscilantă este măsurată cu ajutorul unui instrument de tip "LM1" a cărui funcționare depinde de lungimea de undă a radiației laser a cărei putere o măsoară, fiind calibrat pentru lungimea de undă de 632.8nm a laserului cu He-Ne. Acest wattmetru este construit pe baza unui efect fotoelectric de jonctiune. Pentru experiențele care utilizează laserul cu argon, puterea fascicului s-a măsurat cu un instrument de tip "LM2" a cărui indicație nu depinde de lungimea de undă a fascicului măsurat. Fenomenul de absorbție a radiației de către corpul negru stă la baza construcției acestui instrument. Instrumentul de măsură de tip "LM2" a fost utilizat și la măsurarea puterii fascicului de laser cu He-Ne, iar indicațiile acestuia au corespuns cu cele ale instrumentului de tip "LM1".

La iluminarea cu un fascicul laser cu lungime de undă de 632.8 nm pentru plăci de cuarț în tăietură AT oscilând în modul fundamental cu frecvențele de rezonanță de 6.8MHz, 11.152 MHz și

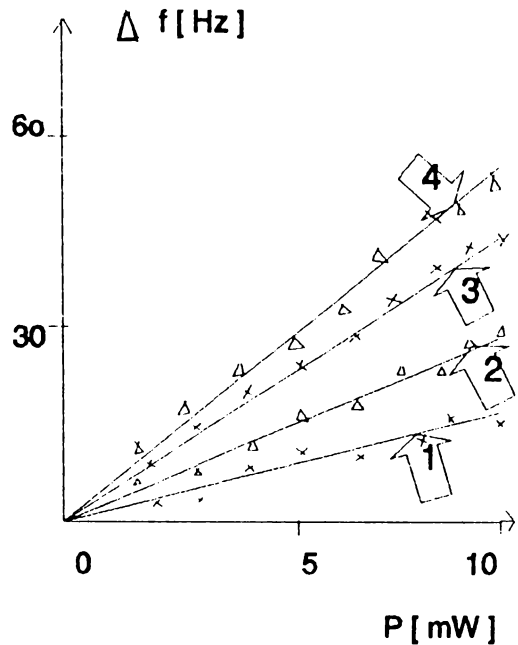


Figura 3.6 Variația frecvenței de rezonanță la iluminarea cu un fascicul laser cu $\lambda=632.8$ nm pentru plăci de cuarț cu frecvențe de rezonanță de 1)6.8 MHz; 2)11.25 MHz; 3)18.432 MHz; 4) 20.366 MHz

18.432 MHz precum și pentru oscilația pe armonica a treia a primului cristal, mod pentru care se obține frecvența de rezonanță de 20.366 MHz, prin modificarea puterii fascicului laser s-au obținut modificările frecvenței de rezonanță prezentate în figura 3.6. Variația relativă de frecvență, care este raportul dintre variația frecvenței de rezonanță supra valoarea frecvenței de rezonanță este constantă și este prezentată în tabelul 3.I pentru o putere a fascicului de 10mW. Datele obținute ca urmare a experiențelor realizate sunt prelucrate statistic folosind o aproximare liniară în sensul erorii pătratice minime.

Tabelul 3.II Variația frecvenței de rezonanță la iluminarea suprafeței de oscilație cu un laser cu Ar de 10 mW

Frecvența de rezonanță	Variația relativă
6,8 MHz	$4,13 \cdot 10^{-6}$
11,125 MHz	$4,78 \cdot 10^{-6}$
20,366 MHz	$4,83 \cdot 10^{-6}$

putere a fascicului laser pentru lungimi de undă diferite se obțin valori diferite ale variației frecvenței de rezonanță. Acest fapt se datorează coeficientului de reflexie diferit pe care îl are suprafața de aluminiu (sau de argint) din care este confecționat electrodul în funcție de lungimea de undă a radiației luminoase incidente. Din literatură coeficientul de reflexie pentru o suprafață de aluminiu este mai mic pentru lungimea de undă de 501.7 nm (

Tabelul 3.I Variația relativă a frecvenței de rezonanță la iluminarea suprafeței de oscilație cu un fascicul laser He-Ne de 10mW

Frecvența de rezonanță	Variația relativă
6,8 MHz	$2,71 \cdot 10^{-6}$
11,125 MHz	$2,77 \cdot 10^{-6}$
18,432 MHz	$2,54 \cdot 10^{-6}$
20,366 MHz	$2,79 \cdot 10^{-6}$

Aceleași plăci de cristale de cuarț au prezentat la iluminarea cu un fascicul de laser cu lungimea de undă de 501.7 nm, valorile pentru modificarea de frecvență prezentate în figura 3.7. Variația relativă de frecvență în acest caz este prezentată în tabelul 3.II pentru o putere a fascicului laser de 10mW

Se observă că pentru aceeași

aproximativ 91.3%) față de lungimea de undă 632.8 nm (aproximativ 95%). [92] Dacă presupunem stratul de electrod este foarte subțire și astfel putem neglija absorbția radiației laser datorate acestuia, atunci la lungimea de undă de 501.7 nm la cuarț ajunge doar 8.7% din puterea incidentă a fascicului, iar în cazul utilizării unui fascicul cu lungimea de undă de 632.8 nm la cuarț ajunge doar 5% din puterea incidentă a fascicului

Tabelul 3.III Raportul dintre var. frecv. de rezonanță

Frecvența de rezonanță	Raport
6.8MHz	1.553
11.125MHz	1.741
20.366MHz	1.678

Pentru diferite valori ale frecvenței de rezonanță s-au obținut următoarele rapoarte între deviația frecvenței de rezonanță la iluminarea cu un fascicul cu lungimea de undă de 501.7 nm și deviația de frecvență obținută la iluminarea cu un fascicul laser cu lungimea de undă de 632.8 nm (ambele fascicule având aceeași putere) prezentate în tabelul 3.III.

Raportul dintre deviațiile frecvenței de rezonanță pentru o placă de cristal de cuarț acoperită cu electrozi de aluminiu datorate iluminării cu fascicule laser de aceeași putere dar

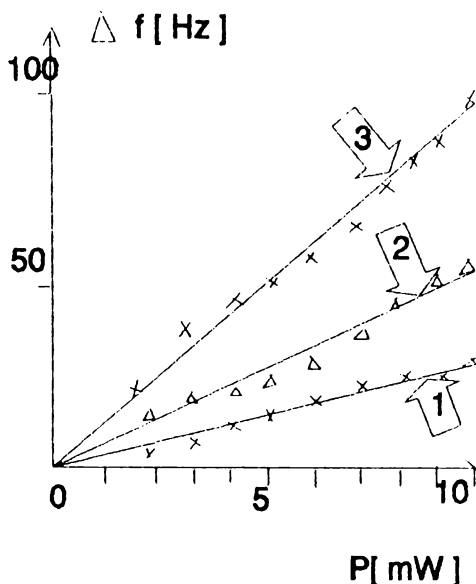


Figura 3.7 Variația frecvenței de rezonanță la iluminarea cu un fascicul laser cu lungimea de undă de 501.7 nm a unor plăci de cuarț cu frecvența de rezonanță de 1) 6.8 MHz; 2) 11.152 MHz; 3) 20.366 MHz

lungimi de undă diferite (501.7nm și 632.8nm) este de 1.74. ($8.7/5=1.74$), adică deviația de frecvență la iluminarea cu laserul cu argon ar trebui să fie de 1.74 de ori mai mare decât la iluminarea cu un fascicul de aceeași putere dar obținut de la un laser cu He-Ne. Acest calcul s-a făcut în ipoteza că toată puterea fascicului intrat în cristal s-a absorbit.

Diferențele de valori care apar în tabelul 3.III se explică prin calitatea diferită a suprafețelor electrozilor pentru fiecare rezonator în parte.

În realitate fenomenul este mult mai complex. Dacă considerăm ρ ca fiind coeficientul de reflexie pe suprafața electrodului de aluminiu, α coeficientul de absorbție al radiației laserului pentru cuarț, puterea inițială a fascicului laser P_0 , între cele două suprafețe ale electrozilor de aluminiu au loc reflexii multiple, conform figu-

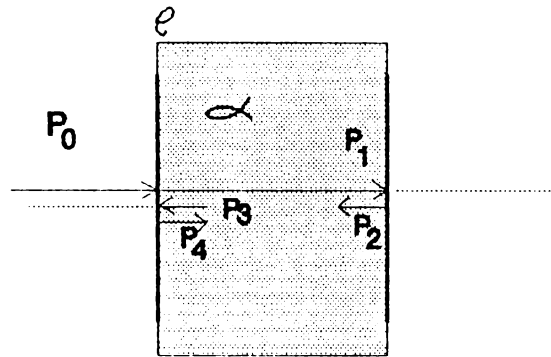


Figura 3.8 Explicativă la reflexiile multiple ale fascicului laser pe suprafețele interioare ale electrozilor

rii 3.8. Puterea absorbită de cristalul de cuarț se poate calcula astfel:

- la prima reflexie a fascicului laser puterea care trece în cristalul de cuarț este P' , iar puterea absorbită de cristal este $\Delta P_1 = \alpha \cdot l \cdot P'$:

$$P' = (1 - \rho) P_0 \tag{3.1}$$

$$\Delta P_1 = (1 - \rho) P_0 \alpha l$$

- puterea care ajunge pe suprafața interioară a electrodului

care nu este iluminat direct de fasciculul laser este P_1 :

$$P_1 = P' - \Delta P_1 = (1 - \rho) P_0 (1 - \alpha l) \quad (3.2)$$

iar puterea care este reflectată înapoi în cuarț este :

$$P_2 = \rho P_1 = \rho (1 - \rho) (1 - \alpha l) P_0 \quad (3.3)$$

din care se absoarbe :

$$\Delta P_2 = \alpha l P_2 = \alpha l \rho (1 - \rho) (1 - \alpha l) P_0 \quad (3.4)$$

urmând ca pe suprafața iluminată de fasciculul laser să ajungă o putere :

$$P_3 = P_2 - \alpha l P_2 = \rho (1 - \rho) (1 - \alpha l)^2 P_0 \quad (3.5)$$

iar prin generalizare după reflexia fasciculului laser de ordinul k pe suprafețele interioare ale electrozilor, puterea disipată în cuarț are următoarea expresie :

$$\begin{aligned} \sum \Delta P_k &= (1 - \rho) \alpha l P_0 [1 + \rho (1 - \alpha l) + \dots + \rho^{k-1} (1 - \alpha l)^{k-1}] = \\ &= (1 - \rho) \alpha l P_0 \frac{1 - \rho^k (1 - \alpha l)^k}{1 - \rho (1 - \alpha l)} \end{aligned} \quad (3.6)$$

Termenul seriei geometrice este subunitar ceea ce face seria a fi convergentă, iar puterea fasciculului disipată în cristalul de cuarț este limita acestei serii :

$$P_{dis.} = \lim_{k \rightarrow \infty} (\sum \Delta P_k) = \frac{(1 - \rho) \alpha l}{1 - \rho (1 - \alpha l)} P_0 \quad (3.7)$$

și aceasta putere este liniar proporțională cu puterea fasciculului incident pe suprafața oscilantă a plăcii de cuarț P_0 . Puterea disipată în cuarț depinde atât de ρ cât și de α , care la rândul lor depind de lungimea de undă a fasciculului laser.

După depunerea electrozilor pe suprafețele plăcii de cuarț, la producător există mai multe metode de corecție a frecvenței de re-

zonanță pentru a atinge valoarea dorită. Una din aceste metode, ne-economică, este de a depune în continuare substanța din care este construit electrozidul (argint, aur sau aluminiu) pentru a scădea frecvența de rezonanță la valoarea dorită. Dar prin acesta se îngroașă stratul de electrozid, iar gradientul de temperatură se atenuează la încălzirea plăcii cu un fascicul laser deoarece electrozidul este bun conducător de căldură, și de asemenea opacitatea electrozidului crește. Ca urmare la iluminarea cu fascicul laser, la aceeași putere a fascicului laser, în zona centrală, variația frecvenței de rezonanță depinde de grosimea stratului de electrozid depus pe cuarț. Pentru un cuarț cu frecvența de rezonanță de 4.247 MHz cu electrozi de argint de grosime ridicată, am îndepărtat succesiv prin corodare cu acid azotic diluat cantități de argint de pe electrozi. Variația frecvenței de rezonanță datorate scăderii masei electrozilor, precum și variația frecvenței de rezonanță la iluminarea cu un fascicul laser cu puterea de 12mW și lungimea de undă de 632.8 nm sunt prezentate în tabelul 3.IV.

Cu cât stratul de electrozid este mai subțire cu atât variația de frecvență la iluminarea cu un fascicul laser este mai mare, iar frecvența de rezonanță a crescut prin descărcare masivă. La cristalele de cuarț utilizate în experiențele privind modificarea frecvenței de rezonanță la iluminarea cu un fascicul laser, corecția frecvenței de rezonanță se face prin depunere masivă pe o zonă restrânsă a electrozidului în zona cu amplitudine mare de oscilație, ceea ce face ca stratul de argint (sau aluminiu) să fie subțire, permițând producerea efectului de modificarea frecvenței de rezonanță prin iluminare cu fascicul laser. De asemenea pentru astfel de cristale de cuarț se pot face comparații în ceea ce privește modificarea a frecvenței de

Tabelul 3.IV Variația frecvenței de rezonanță la iluminarea cu un fascicul laser în funcție de grosimea electrozilor.

Frecvența de rezonanță	Variația frecvenței de rezonanță
4.247 MHz	2 Hz
4.263 MHz	8 Hz
4.273 MHz	11 Hz

rezonanță la iluminarea cu fascicul laser, între cristale cu frecvențe de rezonanță diferite, deoarece prin procesele tehnologice de depunere rezultă electrozi de grosimi comparabile.

Rezultatele experimentale verifică corectitudinea modelului teoretic dezvoltat în capitolul anterior. Astfel comportarea unui rezonator de cuarț cu frecvență de rezonanță de 9,87 MHz la iluminare în zona centrală cu un fascicul laser de putere variabilă, obținută prin simulare pe modelul discret, este prezentată în figura 3.9. Variația re-

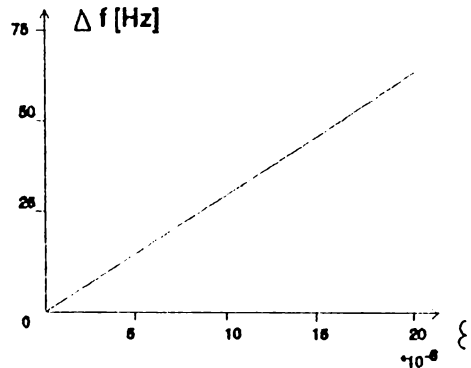


Figura 3.9 Modificarea frecvenței de rezonanță la iluminarea cu un fascicul laser a zonei centrale a rezonatorului obținută prin simulare cu modelul discret simplificat

lativă a coeficienților de elasticitate în zona iluminată este cuprinsă între $\epsilon=0 \dots 10 \times 10^{-6}$, iar variația de frecvență de rezonanță pentru modul fundamental de oscilație este cuprinsă între 0 și 34Hz. Se observă că variația frecvenței de rezonanță rezultată prin simulare este liniar proporțională cu modificarea coeficienților de elasticitate. În cadrul modelului, pentru simularea comportării plăcii de cristal de cuarț în tăietură AT la modificarea coeficienților de elasticitate în zona iluminată prin fasciculul laser (prin efect termic), s-a modificat corespunzător și masa, astfel ca să se păstreze caracteristica globală a tăieturii AT, care nu-și modifică frecvență de rezonanță la modificarea temperaturii cu aceeași valoare pentru întreaga placă.

3.3.3. Iluminarea simultană a rezonatorului cu cuarț pe ambii electrozi cu două fascicule laser.

Pentru a studia natura efectului care produce modificarea

frecvenței de oscilației pentru plăcile rezonatoare cu cristale de cuarț s-a construit montajul experimental prezentat în figura 3.10. Cu ajutorul unui divizor de fascicul DF, care este realizat sub forma unei oglinzi

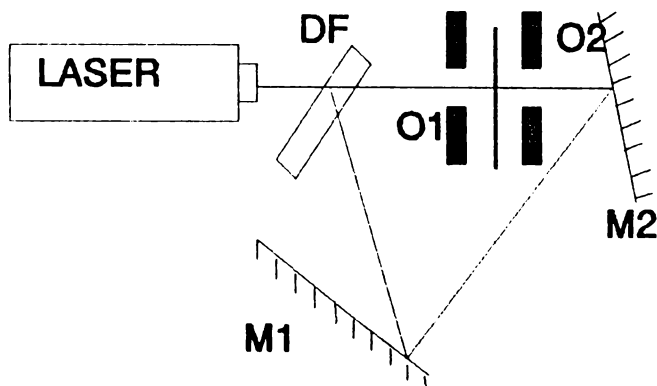


Figura 3.10 Montajul experimental pentru iluminarea plăcii de cuarț pe ambele fețe

se realizează reglarea continuă a raportului dintre intensitatea fascicului laser reflectat și intensitatea fascicului laser incident.

Două oglinzi M1 și M2 fac ca placa de cristal de cuarț să poată fi iluminată pe ambele fețe. Cu două obturatoare O1 și O2 se permite iluminarea fie numai a unei fețe fie iluminarea simultană a ambelor fețe. Montajul experimental asigură ca suma intensităților celor două fascicule să rămână constantă în timpul efectuării experienței în condițiile în care se neglijează pierderile de putere datorate divizorului de fascicul și a oglinzilor. S-a constatat că modificarea frecvenței de rezonanță nu depinde de fața pe care a fost iluminat laserul. La închiderea obturatorului O1, la iluminarea plăcii de cuarț prin obturatorul O2, se obține o frecvență de rezonanță $f_r + f_1$, unde f_r este frecvența de rezonanță a plăcii de cuarț neperturbată. La închiderea obturatorului O2, la iluminarea plăcii de cuarț prin obturatorul O1, se obține o frecvență de rezonanță $f_r + f_2$. La iluminarea simultană prin cele două obturatoare a plăcii de cuarț frecvența de rezonanță devine $f_r + f_1 + f_2$.

Experiența aceasta demonstrează că efectul de modificarea a frecvenței de rezonanță datorat iluminării plăcii de cuarț cu un

fascicul laser este liniar proporțional cu puterea fascicului laser, și astfel se justifică liniarizarea curbelor experimentale. De asemenea o altă concluzie importantă este că avem de a face cu un efect legat de transferul de energie (în cazul nostru energie termică) de la fasciculul laser la placa de cuarț, și nu este un efect de electrod, deoarece în acest caz la iluminarea simultană a suprafețelor celor doi electrozi, efectele asupra modificării frecvenței de rezonanță s-ar anula.

Modelul discret simplificat verifică și această experiență practică. Astfel la simularea modificării coeficientului de elasticitate datorită iluminării plăcii cu un fascicul laser pentru o distribuție liniară de temperatură (vezi capitolul anterior) se obțin rezultatele din tabelul 3.V. Să considerăm că încălzirea locală a rezonatorului cu cuarț corespunde pentru modelul fizic simplificat cu o variație a coeficientului de elasticitate k al resoartelor învecinate masei concentrate corespunzătoare punctului de incidență al fascicului laser, egală cu $k+\epsilon k$.

Frecvența de rezonanță simulată este de 3,902 MHz, cu ϵ_1 s-a notat modificarea relativă a coeficientului de elasticitate datorat iluminării pe o față a cristalului și cu Δf_1 variația frecvenței de rezonanță datorită acestei perturbații, iar cu ϵ_2 s-a notat modificarea relativă a coeficientului de elasticitate și cu Δf_2 variația frecvenței de rezonanță

la iluminarea pe cealaltă față. La însumarea efectelor, variația totală a frecvenței de rezonanță Δf_s , așa cum rezultă din programele de simulare prezentate în Anexa 5, este suma modificărilor de frecvențe la iluminarea pe fiecare față separat. Si pentru acest caz modelul

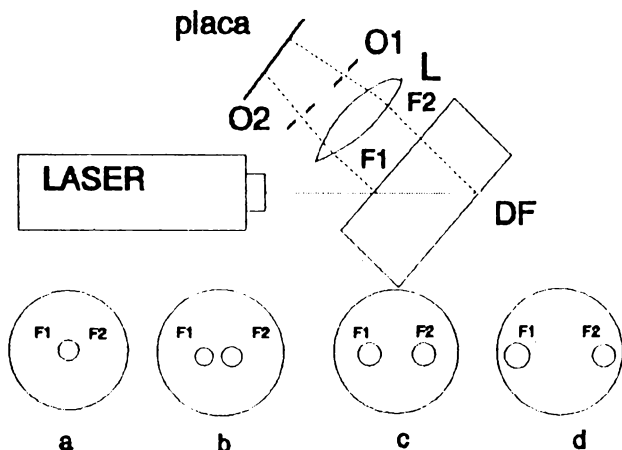
Tabelul 3.V Rezultatele simulării iluminării concomitent pe ambele suprafețe a rezonatorului cu cuarț cu două fascicule laser.

ϵ_1^* * 10^{-5}	ϵ_2^* * 10^{-5}	Δf_1 [Hz]	Δf_2 [Hz]	Δf_3 [Hz]
1	7	14,799	103,62	118,401
2	6	29,599	88,80	118,399
3	5	44,398	73,999	118,398
4	4	59,199	59,199	118,399

respectă caracteristica tăieturii AT, și anume la o modificare constantă a temperaturii pe întreaga placă, frecvența de rezonanță nu se modifică în funcție de valoarea temperaturii.

3.3.4. Iluminarea rezonatorului cu cuarț cu două fascicule laser pe aceeași suprafață cu electrozi.

Utilizând montajul experimental prezentat în figura 3.11 am dorit să pun în evidență modificările frecvenței de rezonanță pentru placa de cuarț la iluminarea pe aceeași față cu două fascicule laser.



Divizorul de fascicul DF asigură obținerea a două fascicule paralele F1 și F2 provenite de la un laser cu He-Ne care iluminează placa de cuarț. Cu ajutorul lentilei L cele două fascicule laser sunt focalizate pe suprafața de oscilație a cristalului. Prin modificarea cu

Figura 3.11. Montajul experimental pentru iluminarea plăcii de cuarț pe aceeași față cu două fascicule laser.

ajutorul unei mase micrometrice a distanței între placa de cuarț și lentila L se obțin pozițiile fasciculelor laser pe suprafața de oscilație, notate în figura 3.11 cu a, b, c și d. Din construcția divizorului de fascicul nu se poate asigura ca cele două fascicule să fie de puteri egale. Fasciculul F1 fiind mai intens, este necesar a fi atenuat. Obturatoarele O1 și O2 permit iluminarea plăcii de cuarț numai cu fasciculul F1, sau numai cu fasciculul F2, fie în

final cu ambele fascicule. Rezultatele sunt prezentate pentru o placă de cuarț cu frecvența de rezonanță de 11.152 MHz in tabelul 3.VI. Cu Δf_1 s-a notat cu cât a crescut frecvența de rezonanță la iluminarea plăcii de cuarț cu fasciculul F1, cu Δf_2 s-a notat cu cât a crescut frecvența de rezonanță la iluminarea plăcii cu fasciculul F2, iar cu Δf s-a notat valoarea cu care a crescut frecvența de rezonanță la iluminarea simultană cu ambele fascicule laser. După trecerea prin divizorul de fascicul, datorită modului de construcție al divizorului de fascicul, doar o parte din fasciculul laser incident reprezintă fasciculele F1 și F2 ceea ce face ca variațiile frecvenței de rezonanță să fie de valori scăzute.

Din datele prezentate in tabelul 3.VI rezultă caracterul de liniaritate al fenomenului de modificare a frecvenței de rezonanță la iluminarea plăcii de cuarț cu un fascicul laser, pentru toate cazurile prezentate pentru insumarea perturbațiilor se obține o insumare a modificărilor frecvenței de rezonanță.

Cu ajutorul modelului discret prezentat in capitolul anterior s-a simulat modificarea frecvenței de rezonanță datorată

Tabelul 3.VI Modificare frecvenței de rezonanță la iluminarea cu două fascicule laser pe aceeași suprafață a rezonatorului cu cuarț.

caz	Δf_1 [Hz]	Δf_2 [Hz]	Δf [Hz]
a	7	5	12
b	6	4	10
c	5	3	8
d	3	2	5

iluminării cu două fascicule laser. S-a simulat un cuarț cu frecvența de rezonanță de 3.902 MHz iar cele două fascicule laser s-au considerat de puteri egale. Influnțele acestor două fascicule laser asupra coeficientului de elasticitate pentru resoartele ideale in vecinătatea masei concentrate, din cadrul modelului, iluminată de laser se manifestă prin scăderea acestora cu $2 \cdot 10^{-5}$ din valoarea lor inițială. Această scădere a coeficientului de elasticitate se manifestă in toată placa sub forma unui gradient liniar. In figura 3.12 este prezentată alura valorii care se scade din coeficientul de elasticitate in fiecare din zonele plăcii de-a lungul unui dia-

metru. Valoarea maximă care se scade din valoarea inițială a coeficientului de elasticitate este de $2 \cdot 10^{-6}$, corespunzător fiecărui fascicul laser (cu linie continuă pentru un fascicul și cu linie punctată pentru celălalt fascicul laser). Pe aceeași figură 3.12 se reprezintă prin trasa formată din linie-punct

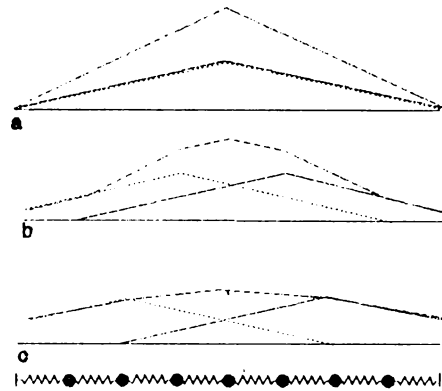


Figura 3.12 Figura explicativă pentru simularea iluminării cu două fascicule laser a suprafeței de oscilație pentru o placă de cuarț în tăietură AT

variația rezultantă pentru coeficienții elastici ai resoartelor dacă cele două fascicule laser iluminează placa concomitent.

Simularea s-a efectuat pentru 3 cazuri. În cazul "a" cele două fascicule laser sunt suprapuse în centrul plăcii de cuarț (corespunzător cazului "a" din tabelul 3.VI). "b" pentru cazul în care cele două fascicule iluminează placa de cuarț conform cazului "b" din figura 3.11 (caz "b" în tabelul 3.VI) și "c" pentru cazul în care fasciculele laser sunt în poziția "c" din figura 3.11 (caz "c" în tabelul 3.VI).

Tabelul 3.VII Variațiile frecvenței de rezonanță obținute la simularea iluminării suprafeței de oscilație cu două fascicule laser.

caz	Δf_1 [Hz]	Δf_2 [Hz]	Δf [Hz]
a	29,59	29,59	59,21
b	25,264	25,264	50,529
c	10,465	10,465	20,93

Rezultatele obținute în urma simulării prin impunerea unei variații a coeficienților de elasticitate conform figurii 3.12 sunt prezentate în tabelul 3.VII. Variația frecvenței de rezonanță datorată simulării fiecărui fascicul laser separat este notată cu Δf_1 respectiv Δf_2 , iar variația de frecvență datorată simulării

prezenței ambelor fascicule este notată cu Δf . Modelul respectă caracteristica tăieturii AT prin care la modificarea globală a temperaturii cu aceeași valoare pentru întreaga placă nu se obține o variație a frecvenței de rezonanță în funcție de temperatură. Programul de simulare este prezentat în anexa 5.

Dacă considerăm modelul termic acest experiment confirmă ipotezele de repartiție a temperaturii în planul plăcii de cuarț, și modificările frecvenței de rezonanță rezultate.

3.3.5. Iluminarea cu un fascicul laser direct pe cuarț.

Pentru a se pune în evidență modificarea frecvenței de rezonanță pentru o placă de cuarț în tăietură AT la iluminarea acesteia cu un fascicul laser direct pe cuarț, printr-un procedeu tehnologic, am îndepărtat în zona centrală a unei plăci de cuarț electrodul pe suprafața unui cerc de diametru de cca. 4mm, numai pentru unul dintre electrozi. Pentru aceasta am acoperit cristalul cu parafină, mai puțin zona de electrod care urma să fie îndepărtată, după care s-a introdus cristalul într-o soluție de acid azotic diluat, care a corodat electrodul. S-au repetat apoi experiențele pentru măsurarea modificării frecvenței de rezonanță la iluminarea cu fascicule laser de lungimi de undă diferite și de diferite puteri, direct pe cristalul de cuarț pe fața cu electrozi în care s-a practicat înlăturarea electrodului în zona centrală, iar apoi pe cealaltă față unde electrodul a fost păstrat în forma sa inițială.

Rezultatele experimentale sunt prezentate în figura 3.13. Se observă că la iluminarea directă pe electrodul de argint (pe fața cu electrodul intact) apare diferența deja cunoscută de variație a frecvenței de rezonanță față de λ , datorată coeficientului ρ de reflexie diferit. La iluminarea pe fața opusă feței de pe care porțiunea centrală a electrodului a fost înlăturată, pentru cele două lungimi de undă la care s-au făcut experiențele, modificarea frecvenței de rezonanță este aceeași.

Este interesant de observat că la iluminarea direct pe suprafața cuarțului (nu pe electrod) modificarea frecvenței de rezonan-

țã depinde numai de puterea fascicului laser, nu și de lungimea de undă a acestuia. Această observație indică posibilitatea utilizării acestui fenomen fizic la realizarea de radiometre pentru măsurarea puterii laserilor de diferite lungimi de undă. Si in acest caz nu toată puterea fascicului influențează modificarea frecvenței de rezonanță pentru placa de cuarț, deoarece și cuarțul are un coeficient de reflexie a luminii.

Experiențele s-au efectuat pe un cuarț cu frecvența de rezonanță de 11.179 MHz. Această frecvență s-a obținut după ce a fost îndepărtat o parte din electrodul de pe o placă de cuarț cu frecvență de rezonanță de 11.152 MHz, fapt ce a dus la scăderea masei de încărcare a plăcii de cuarț, deci la ridicarea frecvenței.

In cazul cristalelor de cuarț acoperite cu electrozi de argint pentru fascicului laser cu o putere dată și cu lungimea de undă de 501.7 nm (argon) obținem o deviație a frecvenței de rezonanță mai mare decât pentru un fascicul laser de aceeași putere dar cu o lungime de undă de 632.8 nm deoarece la lungimea de undă de 632.8 nm avem un coeficient de reflexie mai mare ceea ce implică un transfer de energie termică mai redus între fascicului laser și cristalul de cuarț acoperit cu electrozi.

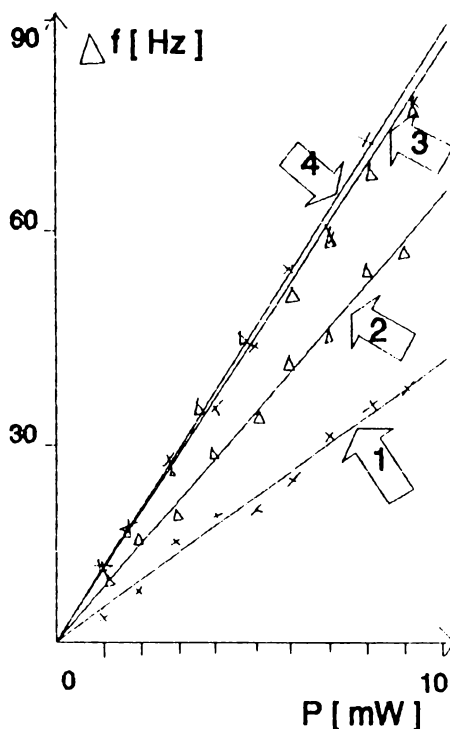


Figura 3.13 Variația frecvenței de rezonanță la iluminarea unei plăci 1) pe electrod cu laser cu HE-Ne; 2) pe electrod cu laser cu Ar; 3) direct pe cuarț cu laser cu HeNe; 4) direct pe cuarț cu laser cu Ar.

3.3.6. Iluminarea cu un fascicul laser pe o suprafață a electrodului acoperită cu un strat de material fotoabsorbant.

Un set de experiențe s-au efectuat prin acoperirea cristallului de cuarț cu o suprafață fotoabsorbantă. Am avut la dispoziție vopsea neagră care a fost depusă prin suflare pe suprafața cristallului. După uscare, la iluminare cu laser variația frecvenței de rezonanță a crescut spectaculos. Astfel pentru o placă de cuarț cu frecvența de rezonanță de 11,152 MHz iluminată în zona centrală cu un fascicul laser cu lungimea de undă de 632.8nm și puterea de 13 mW, pentru cristallul neacoperit cu vopsea variația frecvenței de rezonanță este de 78 Hz, iar după aplicarea stratului de vopsea variația frecvenței de rezonanță a devenit 682 Hz. Deși se produce un astfel de salt spectaculos de frecvență, datorită limitărilor tehnologice pe care le-am întâmpinat în ceea ce privește calitatea depunerii stratului fotoabsorbant precum și datorită scăderii factorului de calitate pentru oscilatorul format din cristallul de cuarț și stratul de material depus pe suprafața electrozilor, stabilitatea frecvenței de rezonanță în timp este mult mai scăzută. Oscilatorul prezintă pe o perioadă de timp de ordinul minutelor variații de zeci de hertzi ale frecvenței de rezonanță în jurul valorii nominale (valoare furnizată de producător) corectată cu diferențele datorate încălzirii masice. La utilizarea laserului cu argon s-a obținut aceeași variație a frecvenței de rezonanță. În această direcție, prin depuneri în vid de materiale fotoabsorbante, se pot dezvolta o întreagă familie de senzori pentru măsurarea puterii fasciculelor laser, sau senzori de infraroșu.

3.4. Modificarea frecvenței de rezonanță a unui rezonator cu cuarț la încălzire locală cu o sursă de radiații în infraroșu.

3.4.1. Instalația experimentală.

Pentru studiul modificării frecvenței de rezonanță la încăl-

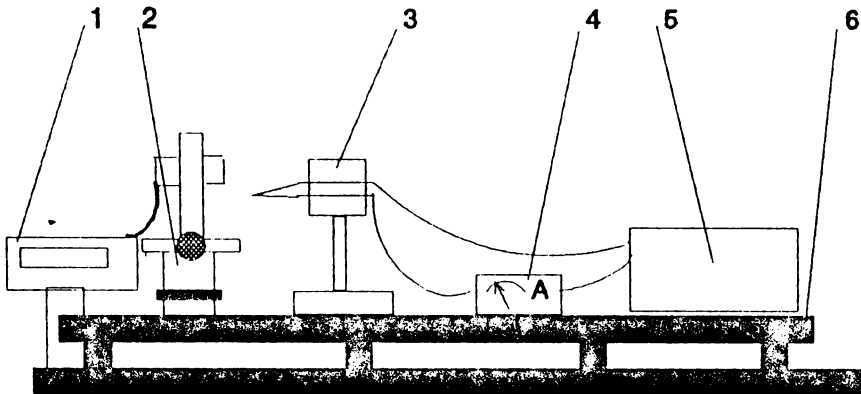


Figura 3.14 Montajul experimental pentru studiul modificării frecvenței de rezonanță a plăcii de cuarț la încălzire locală

zirea locală a unei porțiuni a suprafeței cristalului de cuarț se utilizează un fir de manganină prin care trece un curent debitat de o sursă de tip I4102 conform montajului prezentat în figura 3.14. Pentru figura 3.14 avem : 1. frecvențmetru; 2. montura mecanică pentru placa de cuarț; 3. vârf de metal adus la temperatură ridicată; 4. ampermetru; 5. sursă de curent; 6. banc optic.

3.4.2. Rezultatele experimentale.

Cu ajutorul montajului experimental prezentat în figura 3.14 s-a studiat modificarea frecvenței de rezonanță a plăcii oscilatoare de cuarț în tăietură AT la încălzirea locală prin intermediul unei sonde formate dintr-un fir de manganină care este adus la o temperatură ridicată prin trecerea unui curent continuu prin ace-

ta. Sonda de test are o rezistență de 0,9 Ohm, iar prin aceasta se trece un curent a cărui intensitate este variată între 0...1 A în trepte egale de 100 mA. Modificările de frecvență sunt prezentate în figura 3.15. Variația frecvenței de rezonanță păstrează o formă pătratică în funcție de curentul ce trece prin sondă. Aceasta demonstrează încă o dată că variația frecvenței de rezonanță este proporțională cu puterea disipată de sondă în cristallul de cuarț sub formă termică, (respectiv cu puterea fasciculu- lui laser), deoarece puterea disipată de sondă este egală cu $P=RI^2$. Raportul dintre variația frecvenței de rezonanță la trecerea prin sondă a unui curent de 1A și frecvența de rezonanță a plăcii de cuarț neperturbată este pentru placa de cuarț cu frecvența de rezonanță de 11,146 MHz de $1,125 \cdot 10^{-5}$. Pentru placa de cuarț cu frecvența de rezonanță de 4,250 MHz este de $1,129 \cdot 10^{-5}$. Experiența arată că acest raport este constant pentru cele două plăci de cuarț. Pentru placa de cuarț cu frecvența de 18,432 MHz datorită diametrului ei scăzut de 10 mm încălzirea cu sonda din fir de manganină nu a produs gradient de temperatură, iar placa a prezentat o variație a frecvenței de rezonanță corespunzătoare încălzirii globale, adică frecvența de rezonanță a prezentat o scădere a valorii.

Pentru a se evidenția influențele produse de încălzirea locală

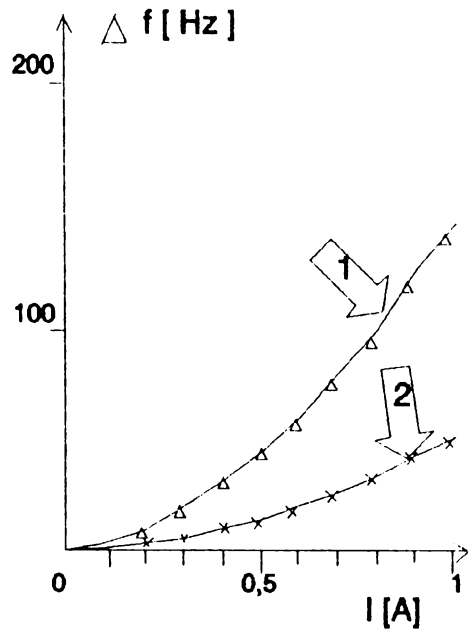


Figura 3.15 Variația frecvenței de rezonanță la încălzirea plăcii cu un fir cald pentru plăci cu frecvența de rezonanță 1) 11,152 MHz; 2) 4,250 MHz.

cu o sursă de radiații în infraroșu asupra rezonatorului cu cuarț am realizat o hologramă folosind metoda dublei expunerii, în care în prima fază s-a holografiat cristalul de cuarț la temperatura camerei, iar la expunerea a doua s-a holografiat același rezonator de cuarț încălzit în zona centrală cu sonda de manganină prin care este trecut un curent electric.

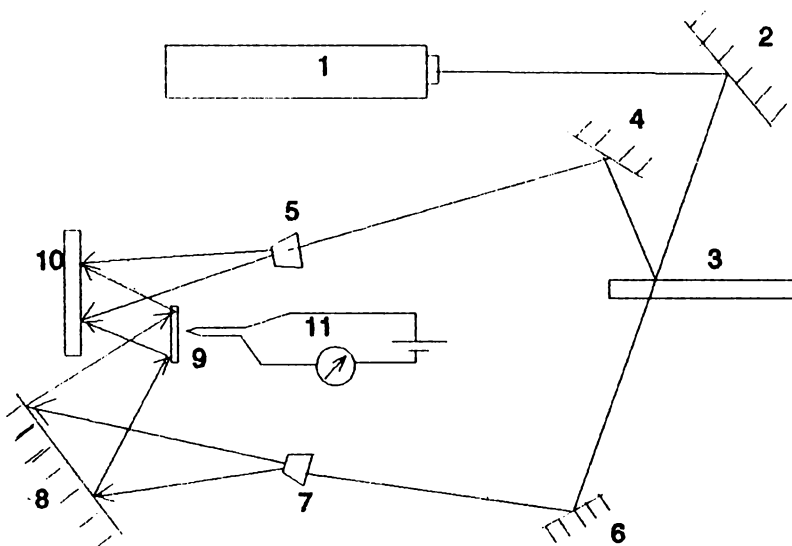


Figura 3.16 Montajul holografic. 1. Laser cu He-Ne; 2, 4, 6, 8. oglinzi; 3. divizor de fascicul; 5, 7. expandoare; 9. rezonator cu cuarț; 10. placa holografică; 11. sursa de radiație în infraroșu.

Montajul holografic, prezentat în figura 3.16, a fost realizat cu un laser cu He-Ne de 14mW. [24] După o primă expunere a rezonatorului cu cuarț aflat la temperatura camerei, s-a conectat sursa de tensiune pe sonda de manganină și după 3 minute s-a efectuat o nouă expunere, placa holografică fiind apoi prelucrată prin tehnica fotografică uzuală. În holograma astfel obținută pe suprafața rezonatorului cu cuarț apar franje de interferență. Interpretarea lor este

o sarcină dificilă [86][90][62].

Am făcut mai multe holograme din care am selectat cele prezentate în figura 3.16



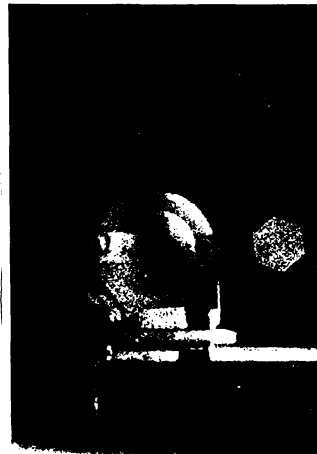
a



b



c



d

Figura 3.17 Holograme cu dublă expunere.

Hologramele s-au efectuat pentru două cazuri: dacă suportul de fixare al rezonatorului de cuarț este din metal, care a sigură o bună conducție termică pentru cazul hologramelor din fig.3.16 a,b și pentru cazul în care suportul de fixare este din lemn, cazul c și d. Cunoșcând ordinul de mărime al coeficientului termic de dilatație pentru cele trei direcțiile alfa-cuarțului, dimensiunile rezonatoarelor cu cuarț, concluzia care s-a impus din modelul franjelor fotografiate pe suprafața cristalului de cuarț este că datorită sursei de radiație infra-roșie cristalul suferă o ușoară rotire împreună cu montura sa. La un gradient termic mai pronunțat (cazurile a și b) și rotirea este mai pronunțată, deci implicit numărul de franje este mai mare decât pentru cazurile când gradientul termic este mai redus (cazurile c și d). Această experiență evidențiază tensiunile la care este supus rezonatorul cu cuarț la încălzirea cu o sursă de radiație în infraroșu.

3.5.Modificarea frecvenței de rezonanță a unui rezonator cu cuarț la apăsarea suprafeței de oscilație cu un fir elastic.

3.5.1. Instalația experimentală

În cazul experiențelor care pun în evidență modificarea frecvenței de rezonanță datorită apăsării suprafeței oscilante cu un fir elastic (tombac sau alt aliaj) de diferite grosimi, poziția plăcii de cuarț este orizontală ca în figura 3.18. Se asigură prin motajul de mase micrometrice atât deplasarea în plan orizontal în două coordonate, cât și modificarea poziției întregului ansamblu pe verticală pentru a putea varia apăsarea firului pe placa de cuarț. O problemă mai dificilă este asigurarea unei forțe de apăsare constantă a firului elastic pe întreaga suprafață a cristalului de cuarț, pentru experiențele care pun în evidență distribuția de amplitudine a oscilațiilor de forfecare în grosime la suprafața plăcii de cuarț. Pentru aceasta am realizat un sistem mecanic de patru șuruburi cu arc și un sistem de aliniere care să poată asigura o poziționare acceptabilă a cuarțului. Pentru figura 3.17 avem : 1.

dispozitiv de
prindere a
firului: 2.
fir elastic
subțire: 3.
placa de
 cuarț: 4. șu-
rub cu arc
pentru regla-
rea poziției
plăcii de
 cuarț: 5. ma-
să microme-
trică pentru
deplasarea pe
orizontală
după axa X:
6. șuruburi

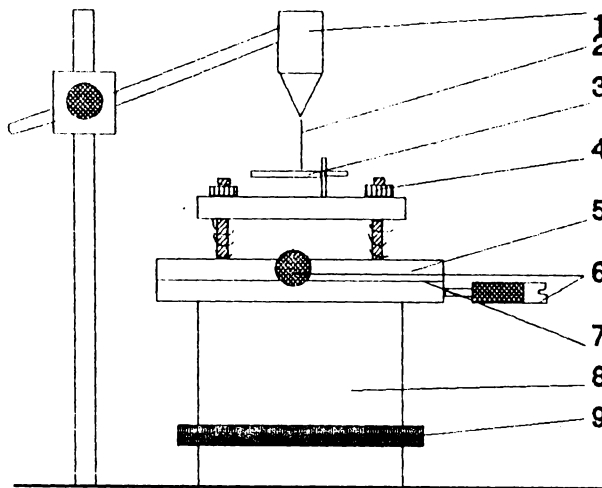


Figura 3.18 Montajul experimental pentru studiul modificării frecvenței de rezonanță a plăcii de cuarț la atingerea suprafeței de oscilație cu un fir.

micrometrică: 7. masa micrometrică pentru deplasarea pe orizontală după axa Y: 8. masă micrometrică pentru deplasarea pe verticală: 9. șurub micrometric pentru deplasarea pe verticală.

3.5.2. Modificarea frecvenței de rezonanță sub presiunea firului elastic.

Cu ajutorul montajului experimental prezentat în figura 3.18 am studiat modificarea frecvenței de rezonanță a unei plăci de cuarț la atingerea suprafeței acesteia cu un fir elastic subțire. Am utilizat fir din aliaj de tombac de grosime 70 μm . Placa de cuarț montată pe suport a fost ridicată cu ajutorul masei micrometrice B (vezi figura 3.18) și astfel am realizat o apăsare pe placa de cuarț. Față de experimentele de acest tip menționate în literatura de specialitate [45], [46] am făcut o buclă elastică din firul de tombac. Utilizarea unei bucle în loc de fir elastic are avantajul obținerii unei poziții stabile a elementului elastic (în ca-

zul nostru bucla din firul elastic) pe suprafața oscilatorului de cuarț. Deseori la utilizarea firului elastic (fără realizarea unei bucle) apare o deplasare nedorită a acestuia față de centrul plăcii, ceea ce duce la modificarea variației frecvenței de rezonanță pentru aceeași apăsare a firului pe placa de cuarț. Tot prin această buclă se scade influența direcției de deplasare a firului elastic pe suprafața de oscilație când se ridică harta distribuției amplitudinii de oscilație pe suprafața cristalului de cuarț. Bucla elastică atinge suprafața oscilantă în centru discului de cuarț. Variația frecvenței de rezonanță în funcție de apăsarea firului elastic pe placa de cuarț este prezentată în figura 3.19. Cu "d" s-a notat deplasarea masei micrometrică 8 din figura 3.18. Experimentele au fost realizate pe plăci de cuarț cu frecvențele de rezonanță de 4,250 MHz, 11,152 MHz.

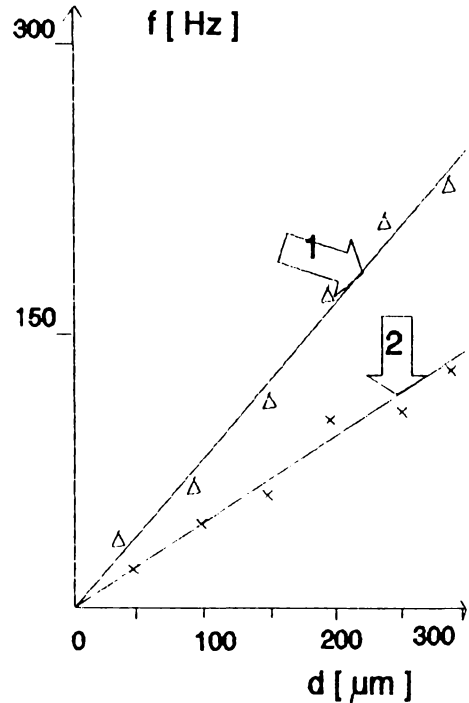


Figura 3.19 Variația frecvenței de rezonanță la apăsarea cu un fir elastic în centrul plăcii de cuarț cu frecvența de rezonanță: 1) 11,152 MHz; 2) 4,247 MHz.

Variația relativă a frecvenței de rezonanță la o deplasare de 300 μm a firului elastic este dată în tabelul 3.VIII.

La deplasarea pe verticală a masei micrometrică din figura 3.18 apare o limitare a modificării de frecvență deoarece bucla din firul elastic își modifică geometria pierzându-și din proprietățile elastice.

Aceste experiențe care pun în evidență modificarea frecvenței de rezonanță la apăsarea cu un fir elastic a suprafeței oscilante

permit concluzionarea că este posibil a se construi senzori de presiune la care mișcarea membranelor elastice, care preiaude fapt variația de presiune, să se transforme în apăsarea cu un fir elastic a suprafeței de oscilație a unei plăci de cuarț. Acest nou tip de senzor are avantajul unui sistem mecanic foarte simplu, un răspuns direct în frecvență (care este ușor de măsurat electric), precum și avantajele compensării variației cu temperatura pentru cristalele de cuarț în tăietură AT. Pentru astfel de senzori cristalul de cuarț fie va fi termostatat, fie se vor folosi două cristale care să aibă variații sensibil identice cu temperatura (să fie din același lot de fabricație) pentru construcție diferențială.

Prin simularea pe modelul prezentat în capitolul anterior a acestui fenomen a rezultat o modificare a frecvenței de rezonanță prin creșterea coeficientului de elasticitate al plăcii de cuarț în zona de contact cu firul elastic datorită influenței acestuia, prezentată în figura 3.20. Creșterea relativă a coeficientului

de elasticitate la punctul de contact al plăcii cu firul elastic $\epsilon = 0 \dots 20 \cdot 10^{-6}$ a produs o variație a frecvenței de rezonanță de $0 \dots 150$ Hz pentru o frecvență de rezonanță de 3.902 MHz. În acest caz deoarece modificarea coeficientului de elasticitate nu se

Tabelul 3.VIII Variația relativă a frecvenței de rezonanță la apăsarea cu un fir elastic în centrul plăcii

Frecvența de rezonanță	Variația relativă
11.152 MHz	$0.028 \cdot 10^{-6}$
4.247 MHz	$0.022 \cdot 10^{-6}$

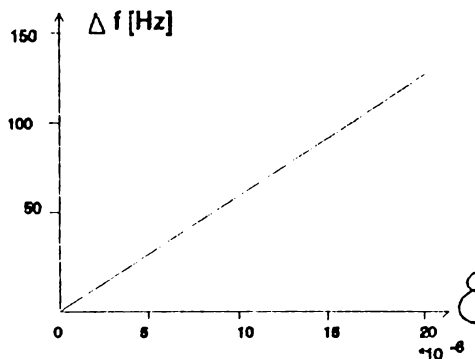


Figura 3.20 Variația frecvenței de rezonanță obținută prin simulare pe modelul discret pentru apăsarea suprafeței de oscilație cu un fir elastic

datorează unei perturbații termice, masa în regiunea perturbată. În cadrul modelului, va rămâne constantă. Programul de simulare este prezentat în Anexa 6.

3.6. Timpul de răspuns al rezonatorului cu cuarț la acțiunea unei perturbații cu distribuție neuniformă pe suprafața de oscilație.

3.6.1. Instalația experimentală

Pentru a pune în evidență timpul de răspuns al rezonatorului cu cuarț la aplicarea unei perturbații externe (timpul necesar de la apariția perturbației externe

pentru modificarea frecvenței de rezonanță de la frecvența pentru cristalul în regim neperturbat până la stabilizarea unei noi valori pentru frecvența de rezonanță) s-a utilizat

un demodulator MF acordabil pe frecvența de lucru a oscilatorului cu cuarț. Această soluție

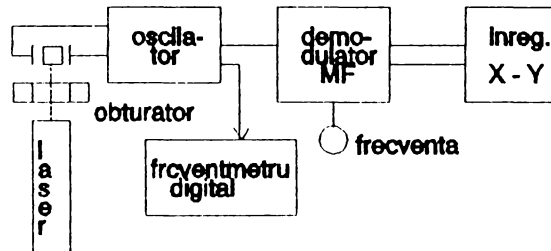


Figura 3.21 Schema bloc pentru instalația experimentală pentru determinarea timpului de stabilizare a frecvenței de rezonanță al plăcii decuarț la acțiunea unor cimpuri perturbatoare exterioare.

s-a impus deoarece din primele experiențe efectuate s-a stabilit că domeniul în care se află timpul de răspuns este situat între 0,2 - 20 secunde. Acest interval este prea mic pentru a folosi frecvențmetrul digital a cărui poartă este de 1 secundă. Domeniul frecvențelor de intrare este de $2 \div 10,5$ MHz iar sensibilitatea în jur de

1 mV. Schema bloc pentru întreaga instalație de măsură a timpului de răspuns este prezentată în figura 3.21. Rezultatele experimentale sunt prezentate cu ajutorul unui înregistrator X-Y.

. În figura 3.22. este prezentată schema bloc a demodulatorului MF. Etajul separator este un simplu repetor pe emitor realizat cu un tranzistor de tip BC 171. Oscilatorul local care are o frecvență reglabilă între 12 - 20 MHz este de tip LC acordabil prin diode varicap D_1 și D_2 . Mixerul este echilibrat, realizat cu un CI de tip BA3045. Amplificatorul pe frecvență de 10.7 MHz este realizat cu un singur tranzistor de tip BF199, iar banda de frecvență globală este determinată de cele două filtre ceramice incluse. Funcțiile de limitator și detector de cuadratură sunt realizate de un CI de tip TBA120 cu o rețea de defazare LC. Schema de detaliu a circuitului de demodulare este prezentată în figura 3.23. La ieșire se obține

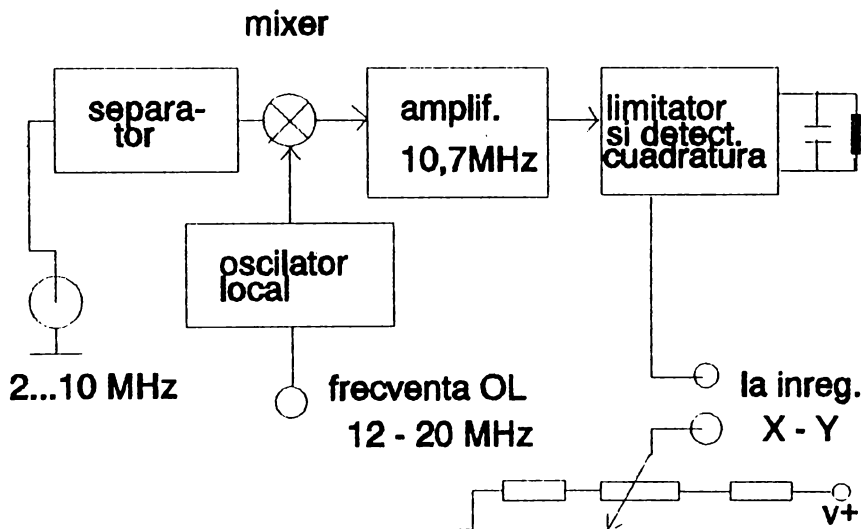


Figura 3.22 Schema bloc a demodulatorului de frecvență

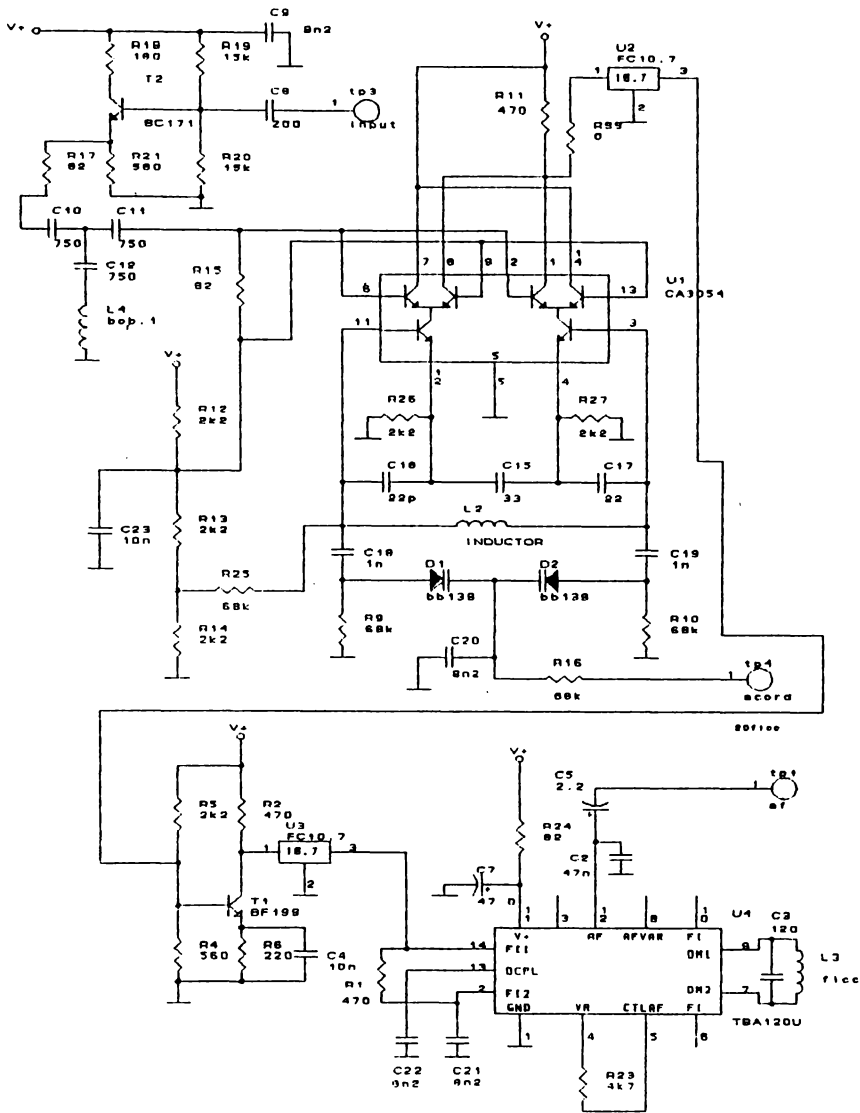


Figura 3.23 Schema electrică a demodulatorului de frecvență

o pantă de aproximativ 40mV/KHz. Pentru diferențe de frecvențe de ordinul a zeci de Hz, care sunt de vizualizat, se obțin variații de 0.4 mV/10 Hz . iar amplificarea semnalului de ieșire este realizată cu ajutorul inregistratorului X-Y. Pentru a compensa componenta continuă la inregistratorul X-Y s-a prevăzut un circuit de echilibrare care aduce un nivel de tensiune reglabil la una din bornele de intrare ale inregistratorului. (vezi fig 3.22)

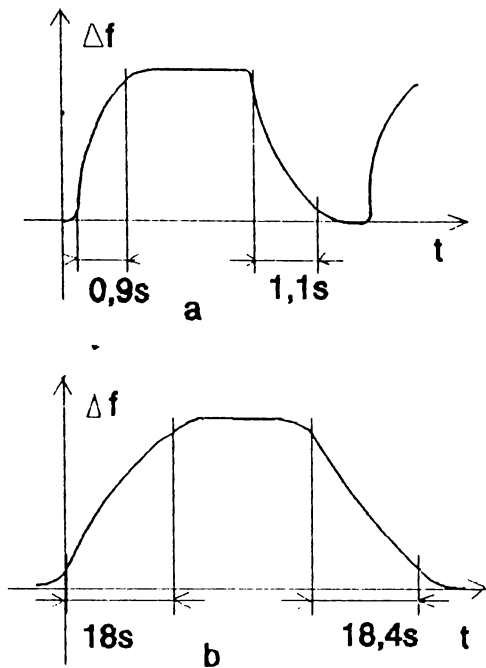
3.6.2. Timpul de răspuns al rezonatorului cu cuarț la acțiunea unei perturbații .

Pentru a măsura timpul necesar de la apariția fascicului laser până la stabilizarea noii frecvențe de rezonanță s-a utilizat instalația experimentală prezentată în schema bloc din figura 3.21. Pentru un cristal de cuarț cu frecvența de rezonanță de 11.152 MHz s-a obținut pentru iluminarea cu un fascicul laser cu lungimea de undă de 632.8 nm un timp de 0.9s pentru modificarea frecvenței de rezonanță la apariția fascicului, respectiv un timp de 1.1s pentru revenirea la valoarea inițială a frecvenței de rezonanță după stingerea fascicului (fig3.24.a).

Aceleași valori au fost obținute și pentru încălzirea locală cu ajutorul unui conductor străbătut de un curent electric. Aceste constante termice sunt de valori mai mari decât cele obținute de BerNisse [27] care sunt de 65ms pentru un rezonator cu cuarț cu grosimea de 0.17cm supuse la o încălzire uniformă a cristalului dar sub formă de șoc termic. Acest lucru se datorează faptului că la încălzirea cu o sursă de radiație gen laser intervine și constanta termică de instalare a unui gradient în planul plăcii de cuarț.

Acest timp de răspuns depinde atât de tipul electrodului, deci de constanta sa termică, cât și de modelul electrodului depus pe suprafața cristalului de cuarț.[3]

Dacă placa de cuarț este acoperită cu un strat fotoabsorbant aceste valori cresc ajungând la 18s pentru timpul necesar atingerii



Figură 3.24 Timpul de răspuns la apariția perturbației pantru a) cristalul de cuarț; b) pentru cristalul de cuarț acoperit cu vopsea neagră.

3.7. Concluzii

Rezultatele prezentate în acest capitol reprezintă de fapt demonstrația experimentală a modificării frecvenței de rezonanță pentru plăcile de cuarț în taietură AT la apariția unor perturbații, care au fost prezentate teoretic, prin utilizarea modelului discret dezvoltat pentru placa de cuarț. Aceste experimente pot sta la baza construcției mai multor tipuri de senzori.

Astfel, modificarea frecvenței de rezonanță a plăcii de cuarț

noii valori pentru frecvența de rezonanță la apariția fascicului laser, respectiv 18,4s timpul necesar pentru revenirea la valoarea inițială a frecvenței de rezonanță după stingerea fascicului (fig 3.24.b). Constanta termică a stratului fotoabsorbant este mare.

În cazul apăsării cu un fir elastic a suprafeței de oscilație, timpul de răspuns al cristalului de cuarț este de aproximativ 0,5s de la apariția perturbației. Frecvența de rezonanță revine la valoarea inițială tot în 0,5s de la îndepărtarea perturbației.

la iluminarea cu un fascicul laser poate fi utilizată la construcția unor radiometre pentru măsurarea intensității fascicului laser. Acestea ar avea avantajul unei comportări independente de lungimea de undă (pentru un cuarț fără electrod în zona iluminată sau acoperit cu un strat de substanță fotoabsorbantă) și un răspuns direct în frecvență.

Modificarea frecvenței de rezonanță datorată apăsării pe suprafață oscilantă cu un fir sau buclă dintr-un material elastic este un fenomen care poate sta la baza construcției unor senzori de presiune. Dacă senzorii clasici cu membrană de presiune sunt modificați pentru a asigura apăsarea suprafeței de cuarț. Avantajele unor astfel de senzori sunt în principal simplitatea construcției mecanice, răspunsul în frecvență și în general toate avantajele legate de folosirea cristalelor piezoelectrice.

Aceste experimente stau și la baza elaborării unor metode de măsurare a distribuției amplitudinilor de vibrație pe suprafața unui oscilator cu cuarț, metode care vor fi prezentate în capitolul 4. Această informație este deosebit de utilă în proiectarea senzorilor bazați pe efectele cristalelor de cuarț la rezonanță.

CAPITOLUL 4

O NOUA METODA DE INVESTIGARE A DISTRIBUTIEI AMPLITUDINII DE OSCILAȚIE PENTRU PLACI DE CUART IN TAIEȚURA AT

Pentru studiul și realizarea senzorilor bazați pe modificarea frecvenței de rezonanță a plăcilor de cristale de cuarț în tăietură AT, care oscilează în modul de forfecare în grosime, o problemă deosebit de importantă o constituie posibilitatea de a pune în evidență distribuția amplitudinii de oscilație la suprafața cristalului când acesta este supus unor perturbații.

4.1. Metode cunoscute de investigare a distribuției amplitudinii de oscilație

În literatura de specialitate [9][45][75][93] se admite că distribuția amplitudinilor de oscilație pentru o placă de cuarț pentru modul fundamental de rezonanță este exprimată în mai multe moduri:

$$\begin{aligned} A(r) &= A_{\max} \cos^2\left(\frac{\pi r}{2R_0}\right) \\ A(r) &= A_{\max} J_0\left(\frac{2,41r}{R_0}\right) \\ A(r) &= A_{\max} \exp\left(-\frac{ar^2}{R_0^2}\right) \end{aligned} \quad (4.1)$$

unde R_0 este diametrul electrodului plăcii, r este raza punctului curent, J_0 este funcția Bessel de speța întâia și de ordinul 0, A_{\max} este amplitudinea de oscilație în centrul plăcii, iar a este o constantă adimensională.

Profilele distribuției amplitudinii de oscilație la suprafața rezonatorului date de relațiile (1.1) [93] și (1.2) [9] corespund oscilației plăcii în aer sau mediu gazos, iar relația (1.3)[45] corespunde distribuției amplitudinii de oscilație pentru plăci care se află imersate în lichide.

4.1.1. Metode de investigare a distribuției amplitudinii de oscilație care utilizează reflexia neuniformă a luminii de către placa oscilantă

4.1.1.1. Metoda care utilizează carioajul suprafeței rezonatoare

G. Sauerbrey [65] [66] propunea în anul 1964 o metodă de măsurare a distribuției amplitudinilor de oscilație pe suprafața cristalului de cuarț în tăietură AT care utilizează reflexia de către suprafața cristalului a luminii oferite de lămpi spectrale. Cercetările lui Sauerbrey sunt legate de utilizarea plăcilor de cuarț în tăietură AT la construcția microbalanțelor.

În figura 4.1 este prezentată în secțiunea a) placa de cuarț (2) pregătită pentru experiență prin depunerea peste electrozii de aluminiu (3) a unui strat de aur negru (1) pe care se gravează un model de forma (4). În secțiunea b) a aceleași figuri se prezintă schema instalației de măsură. Lumina provenind de la o lampă spectrală trece prin fanta 5 și fasciculul colimat cu lentila (7) cade incident sub un unghi dat asupra plăcii oscilante (8). O lamă semitransparentă (6) preia lumina reflectată de placa oscilantă și o transmite spre fotomultiplicatorul (9), iar curentul de la ieșirea fotomultiplicatorului este măsurat cu instrumentul (10) care are încorporat un amplificator de bandă îngustă.

Fasciculul de lumină colimat poate să cadă pe suprafața oscilantă (vezi figura 4.1. a) în pozițiile notate cu l, m sau p. La oscilația de forfecare în grosime, care este caracteristică rezonatoarelor de cuarț în tăietură AT, mișcarea de oscilație la suprafața cristalului de cuarț are direcția prezentată de săgeata din figură. Din cele trei tipuri de poziții de incidență a fasciculului

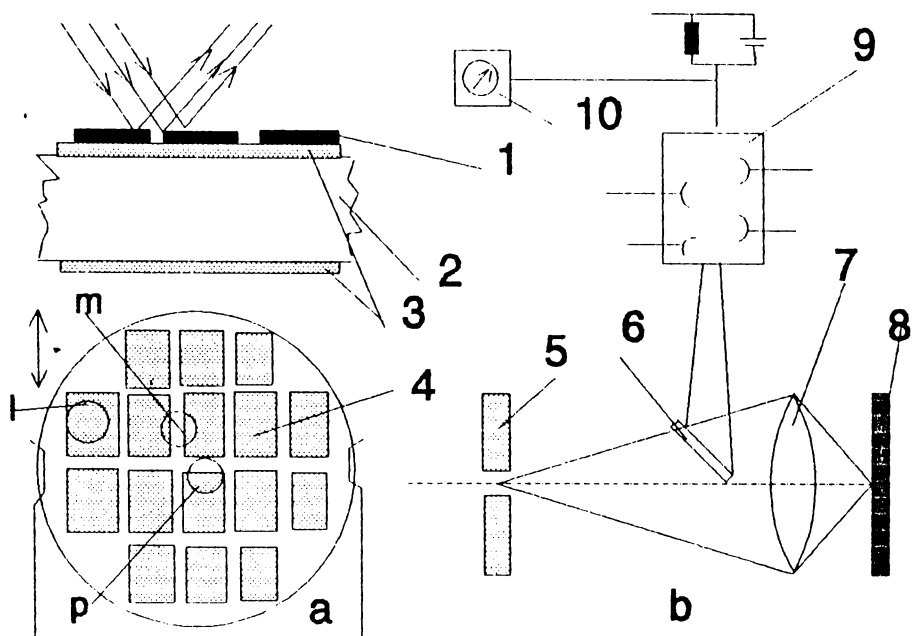


Figura 4.1 Montajul experimental al lui Sauerbrey.a) detaliu privind prelucrarea suprafeței plăcii de testat.b). Schema instalației pentru măsurarea distribuției amplitudinii de oscilație

pe suprafața de oscilație numai poziția p aduce informație. Dacă notăm cu a_x suprafața care produce reflexia luminii și care este hașurată în figura 4.1.a. atunci curentul la ieșirea fotodetectorului este de forma $I=f(a_x)$, iar în cadrul mișcării de oscilație doar în poziția p valoarea acestei suprafețe se modifică. La o poziționare adecvată a fascicului de lumină, curentul de la ieșirea fotodetectorului are o componentă alternativă cu amplitudinea proporțională cu amplitudinea de vibrație a plăcii în punctul respectiv.

Experiențele au permis măsurarea distribuției amplitudinilor de oscilație pentru modul de rezonanță fundamentală la plăci rezonatoare de cuarț de diferite dimensiuni.

În figura 4.2 se prezintă rezultatele experimentale obținute care reprezintă variația amplitudinii de oscilație de-a lungul dia-

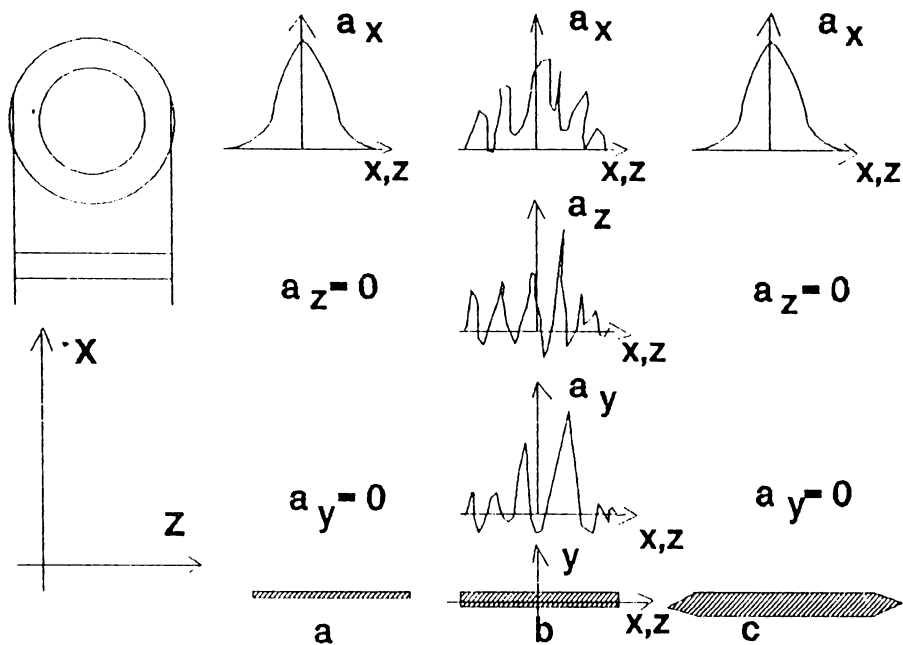


Figura 4.2 Distribuția amplitudinilor de oscilație de-a lungul unui diametru pentru modul fundamental

metrului unor plăci de cuarț în tăietură AT având a) formă cilindrică, frecvența de rezonanță de 10 MHz, grosimea de 0.17mm și diametrul de 13mm; b) formă cilindrică, frecvență de rezonanță de 4 MHz, grosime de 0.42mm și diametrul de 10mm; c) formă cilindrică cu muchii fațetate, frecvența de rezonanță de 4MHz, grosime de 0.42mm și diametru de 10mm. Graficele sunt prezentate în valori normalizate pentru amplitudinile de oscilație.

Această metodă a fost prima metodă aplicată pentru studiul distribuției amplitudinilor de rezonanță la suprafața unui rezonator de cuarț. Ea necesită o prelucrare specială a suprafeței de oscilație.

4.1.1.2. Metoda ce utilizează efectul speckle

O radiație coerentă, de exemplu lumina laser, când se reflectă pe o suprafață cu rugozitate mai mare decât lungimea sa de undă, are un aspect granular cunoscut și sub numele de efect speckle [87]. Acest fenomen cauzat de interacțiunea undelor imprăștiate la reflexia pe suprafață, a fost folosit pentru investigarea mișcării de oscilație a suprafețelor în același plan [89], mișcare caracteristică oscilațiilor de forfecare în grosime.

În figura 4.3 se prezintă modul de obținere a fenomenului speckle. O radiație coerentă de tip laser este reflectată de o suprafață optică cu un anumit grad de rugozitate. Lumina astfel reflectată este vizualizată pe un ecran, formând un așa numit "model speckle" care constă din pete luminoase și întunecate cu un diametru mediu dat de relația :

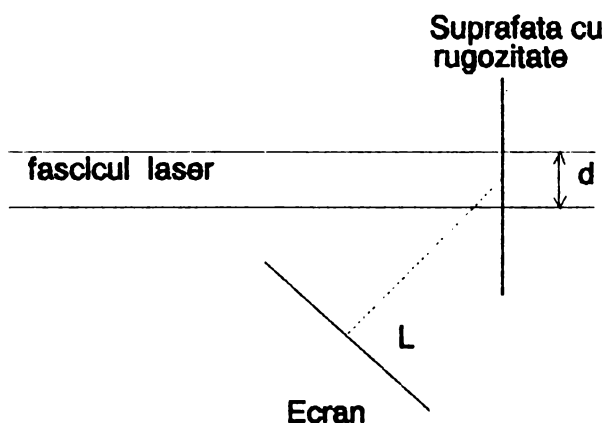


Figura 4.3 Schema de obținere a efectului speckle

$$s = \lambda \frac{l}{d} \quad (4.2)$$

unde λ este lungimea de undă a radiației laser, l este distanța dintre paravan și suprafața reflectantă, iar d este diametrul fasciculului laser, incident pe suprafața rugoasă.

Pentru a obține o imagine cu un "model speckle" format din pete luminoase și întunecate cu diametre s cât mai mari conform fi-

gurii 4.4. se reduce diametrul d al fascicului laser la contactul cu suprafața optică rugoasă de testat, cu ajutorul unor lentile de focalizare. Această reducere a diametrului fascicului laser se poate face până la o valoare d_{\min} , dimensiune limitată de fenomenele de difracție a luminii:

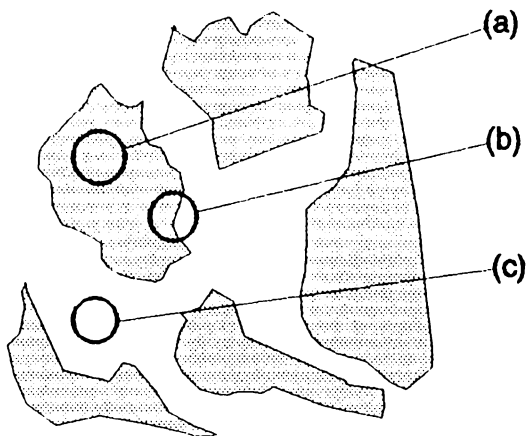


Figura 4.4 Aspectul unui model speckle

$$d_{\min} = 1,22\lambda \frac{f}{b} \quad (4.3)$$

unde f este distanța focală a lentilei cu care se focalizează fascicului laser, iar b este diametrul fascicului laser incident. Un astfel de "model speckle" este prezentat în figura 4.4 unde zonele luminoase sunt hașurate. Prin poziționarea unei fotodiode în "câmpul speckle" situat pe paravan, se obține un curent proporțional cu lumina detectată. Dacă aria sensibilă a fotodiodei este mai mică decât mărimea medie a unui specklu (o zonă luminoasă prezentată în figura 4.4 hașurat) atunci există trei poziții posibile de interacțiune între modelul speckle și fotodiodă:

- în poziția a. curentul la ieșirea fotodiodei este maxim
- în poziția b curentul furnizat de fotodiodă are o valoare medie
- în poziția c. fotocurentul are o valoare minimă.

Dacă suprafața optic rugoasă execută o mișcare de translație laterală, atunci și modelul speckle va avea aceeași mișcare. Dacă

se scanează această suprafață cu un fascicul laser, iar în locul paravanului din figura 4.3 se poziționează o fotodiodă se obține pentru poziția notată cu b în figura 4.5 un curent la bornele fotodiodei proporțional cu amplitudinea de oscilație a suprafeței în punctul de incidență a acesteia cu fasciculul laser. Nu toate pozițiile de tip b posibile în cadrul procesului de scanare aduc informații despre mișcarea oscilatorie. În cazul a din figura 4.5 nu se primește nici o informație în ceea ce privește amplitudinea mișcării de oscilație pe când în cazul b din aceeași figură se poate aprecia amplitudinea mișcării de oscilație.

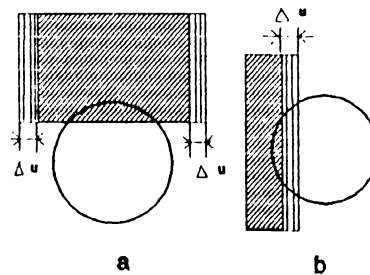


Figura 4.5 Situații posibile la poziționarea fotodiodei pe frontiera unui specklu

Dacă suprafața oscilantă are o mișcare oscilatorie de forma:

$$A(x, y, t) = A_0(x, y) \sin \omega t \quad (4.4)$$

unde ω este viteza unghiulară a oscilației, curentul la bornele fotodiodei poate fi exprimat ca:

$$i(x, y, t) = I_0 [C_1(x, y) + C_2(x, y) \sin \omega t] \quad (4.5)$$

unde I_0 este intensitatea fascicului laser. $C_1(x, y)$ este un termen ce exprimă relația între curentul de la bornele fotodiodei și poziția acesteia în "modelul speckle", când suprafața optic rugoasă nu oscilează. Acest termen nu aduce nici o informație despre amplitudinea de oscilație a suprafeței de testat. Factorul $C_2(x, y)$ exprimă gradul de modulare a curentului $i(x, y, t)$, și corespunde unor poziții de tipul b din figura 4.5. Aceasta înseamnă că se obține expresia: $C_2(x, y) = k(x, y) u_0(x, y)$, unde $k(x, y)$ este un factor care depinde de poziția frontierei specklului față de

centrul fotodiodei, iar $u_0(x,y)$ este amplitudinea de oscilație a suprafeței vibrante în punctul de incidență al fascicului laser pentru cazul b din figura 4.5.

• Dacă suprafața de oscilație a unui disc de cuarț în taietură AT a fost prelucrată în mod corespunzător pentru a deveni o suprafață optic rugoasă, prin scanarea cu un fascicul laser de-a lungul diametrului, se obține la ieșirea de curent a fotodiodei un semnal de forma prezentată în figura 4.6.

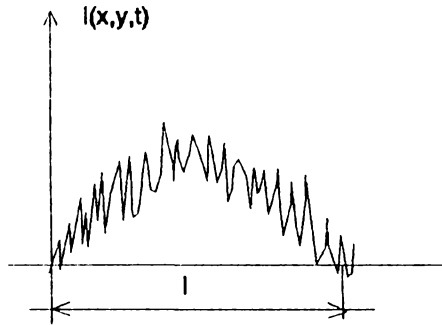


Figura 4.6 Forma curentului la bornele fotodiodei

unde zgomotul suprapus peste forma de undă care oferă variația de amplitudine corespunzătoare modului de rezonanță fundamental, de-a lungul diametrului plăcii de cuarț de lungime l , se datorează distribuției aleatoare a specklurilor în cadrul unui "model speckle".

Experiențele au demonstrat o bună reproducere a formei semnalului la scanări consecutive, și din direcții diferite a suprafeței oscilante, ceea ce duce la concluzia că zgomotul poartă informația asupra gradului de rugozitate al suprafeței, și că acesta poate fi îndepărtat printr-o operație de mediere. După efectuarea acestei medieri, variația amplitudinii de oscilație în funcție de poziția punctului considerat de-a lungul diametrului

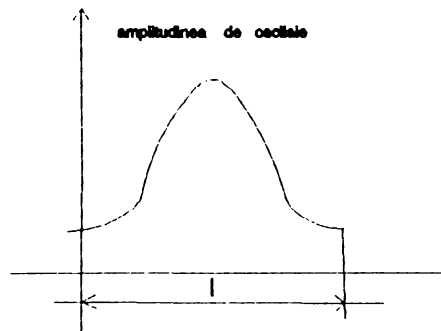


Figura 4.7 Distribuția amplitudinilor de oscilație de-a lungul diametrului unui rezonator de cuarț în valori normalizate

este prezentată în figura 4.7. în valori normalizate.

Curentul pulsatoriu de la ieșirea fotodiodei are expresia:

$$i_w(x, y) = \langle I_0 C_2(x, y) \rangle = I_0 k u_0(x, y) \quad (4.6)$$

unde $\langle I_0 k u_0(x, y) \rangle$ este valoarea medie a produsului dintre intensitatea fasciului laser și factorul ce descrie gradul de modulare a fotocurentului.

În figura 4.8 se prezintă montajul realizat pentru măsurarea amplitudinii de oscilație în diferite puncte pe suprafața unei plăci de cristal de cuarț în tăietură AT. Se folosește un laser cu He-Ne cu o putere de aproximativ 14mW. Nu sunt necesare măsuri speciale pentru izolarea sistemului în scopul reducerii influențelor le-

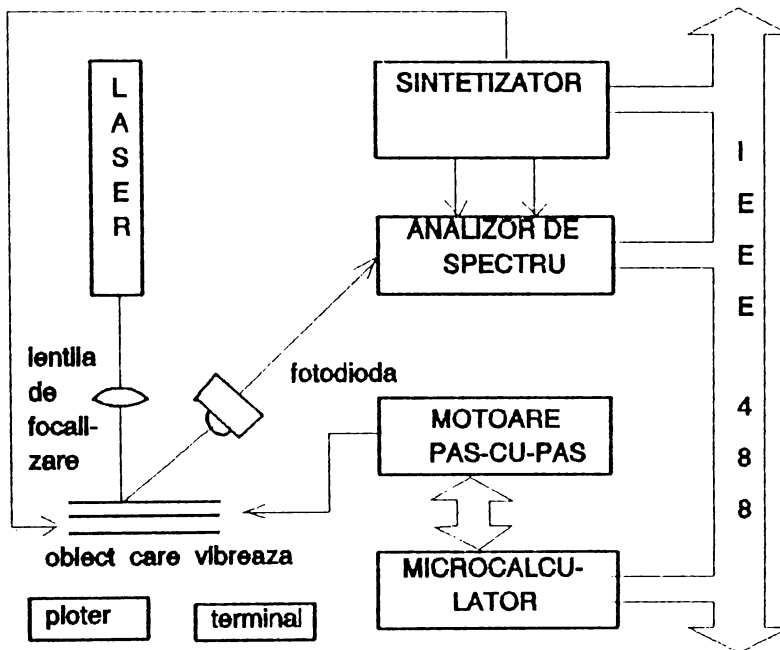


Figura 4.8 Montajul realizat pentru măsurarea distribuției amplitudinii de oscilație folosind efectul speckle

gate de vibrații provenite din mediul exterior, și nici poziționarea sistemului obiect de studiu- fotodiodă nu este critică.

Sistemul de măsură este completat cu un sintetizator de frecvență pentru comanda cuarțului, un analizor de spectru care este calat pe frecvența de oscilație a plăcii de cuarț și are o bandă de calare de 3 Hz necesară pentru a reține numai factorul $I_0C_2(x,y)$ din expresia curentului la ieșirea

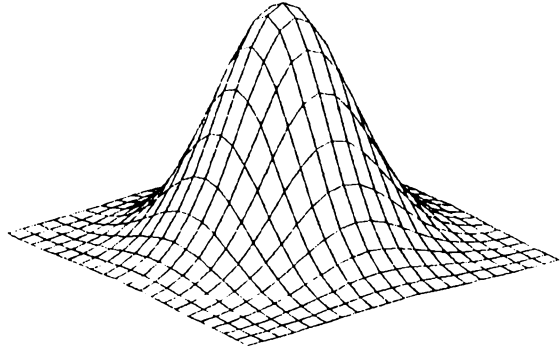


Figura 4.9 Distribuția amplitudinii de oscilație pentru modul fundamental

fotodiodei. Există de asemenea un sistem de poziționare a fascicului laser pe placa de cuarț realizat cu motoare pas-cu-pas, iar toate aceste componente ale sistemului de măsură sunt interconectate printr-o magistrală IEEE 488 care permite prelucrarea automată a datelor.

La încheierea procesului de achiziții de date, microcalculatorul prelucrează aceste date după un algoritm care utilizează funcțiile spline cubice. Cu ajutorul sintetizatorului de frecvență se poate aduce placa de cuarț să rezoneze atât în modul fundamental cât și în moduri overtone. În figura 4.9 se prezintă distribuția amplitudinii de oscilație pentru modul fundamental. Metoda poate fi folosită pentru orice suprafață oscilantă în plan dacă are rugozitatea necesară pentru a se obține efectul speckle.

4.1.2. Metode de investigare a distribuției amplitudinilor de oscilație care utilizează sonde de presiune.

4.1.2.1. Metoda ce utilizează un fir elastic

Această metodă de investigare a fost dezvoltată de B.A.Martin

și H.E.Hager pentru a studia variația frecvenței de rezonanță pentru plăcile de cristal de cuarț în tăietură AT scufundate în lichide. [44] [45] Aceste plăci sunt folosite la construcția senzorilor pentru monitorizarea modificărilor proprietăților fizice ale lichidelor.

Pentru investigarea distribuției amplitudinilor de oscilație s-a folosit o probă simplă formată dintr-un fir subțire de tungsten de 3-mil cu care se atinge suprafața de oscilație a plăcii de cristal de cuarț. La atingere apare un salt pozitiv de frecvență care depinde de presiunea cu care este apăsată proba pe suprafața cristalului, precum și de amplitudinea de oscilație a plăcii în punctul de contact cu firul. Pentru a menține o apăsare constantă a firului pe suprafața plăcii, firul este poziționat vertical deasupra acesteia. (vezi capitolul ce tratează rezultatele experimentale) iar placa se poate deplasa în planul perpendicular pe fir cu ajutorul a două mese micrometrice.

Dacă ne referim la distribuțiile amplitudinii de rezonanță calculate teoretic, în figura 4.10 se prezintă curba de variație a amplitudinii teoretice pentru distribuțiile date de relația (1.2) și (1.3).

Experiențele s-au efectuat pe plăci de cristal de cuarț care rezona-

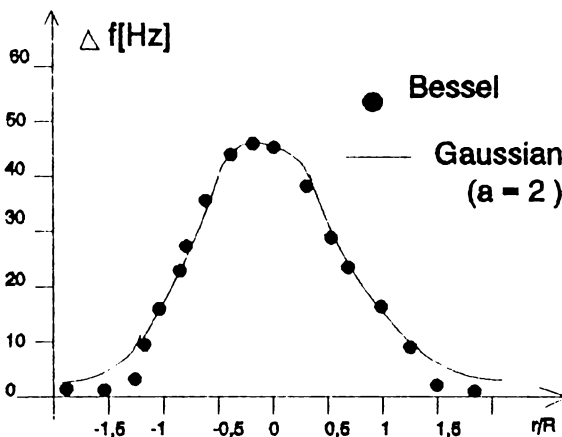


Figura 4.10 Distribuția amplitudinii de oscilație de-a lungul unui diametru calculată teoretic

ză pe frecvența de 10 MHz, având electrozi de aur. Scanarea suprafeței de oscilație s-a făcut de-a lungul diametrului pe o direcție perpendiculară pe axa x a cristalului. S-a ridicat graficul dis-

tribuției amplitudinilor de oscilație atât pentru placa de cristal când rezonază în aer cât și pentru placa rezonând în apă, rezultatele fiind prezentate în figura 4.11. Un dezavantaj al acestei metode este apariția unui fenomen de histereză legat de direcția înainte-înapoi de scanare a suprafeței de oscilație.

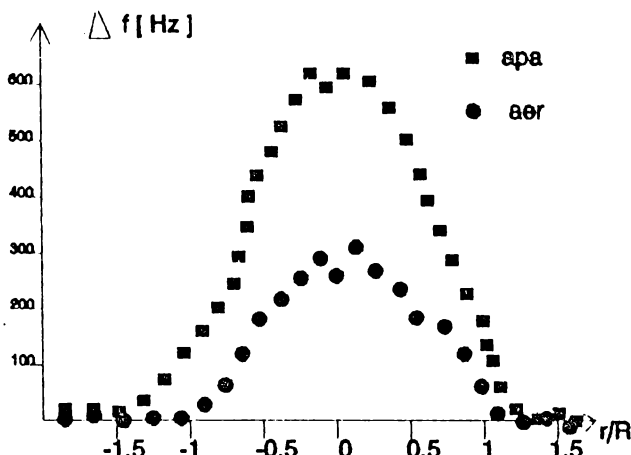


Figura 4.11 Variația frecvenței de rezonanță la scanarea suprafeței plăcii de cuarț de-a lungul diametrului cu un fir de tungsten

Pentru a înlătura acest fenomen autorii au efectuat scanarea numai într-o singură direcție.

Frecvența de rezonanță crește la atingerea firului elastic a plăcii de cuarț deși, dacă s-ar lua în considerare o încărcare masivă a cuarțului, frecvența de rezonanță ar trebui să scadă. Dar sonda se comportă ca și cum la punctul de contact se adaugă, conform modelului simplificat, un nou resort ale cărui caracteristici elastice depind de natura materialului din care este confecționată sonda, iar tensionarea acestuia depinde de forța cu care sonda este apăsată pe suprafață.

Se constată că la placa care oscilează în apă variația frecvenței de rezonanță este mult mai mare, deoarece lichidul determină o rigidizare a sondei datorate vâscozității acestuia.

Din diagrama prezentată în figura 4.11 se poate estima valoarea coeficientului "a" din relația (1.3), relație ce poate fi scrisă în următorul mod:

$$\left[-\ln\left(\frac{A}{A_{\max}}\right)\right]^{1/2} = a^{1/2} \left(\frac{r}{R}\right) \quad (4.7)$$

Admițând că datorită variațiilor mult mai mici ale frecvenței de rezonanță față de valoarea neperturbată a acesteia, există o relație de liniaritate între amplitudinea de oscilație și variația frecvenței de rezonanță, relația (7) devine :

$$\left[-\ln\left(\frac{\Delta f}{\Delta f_{\max}}\right)\right]^{1/2} = a^{1/2} \left(\frac{r}{R}\right) \quad (4.8)$$

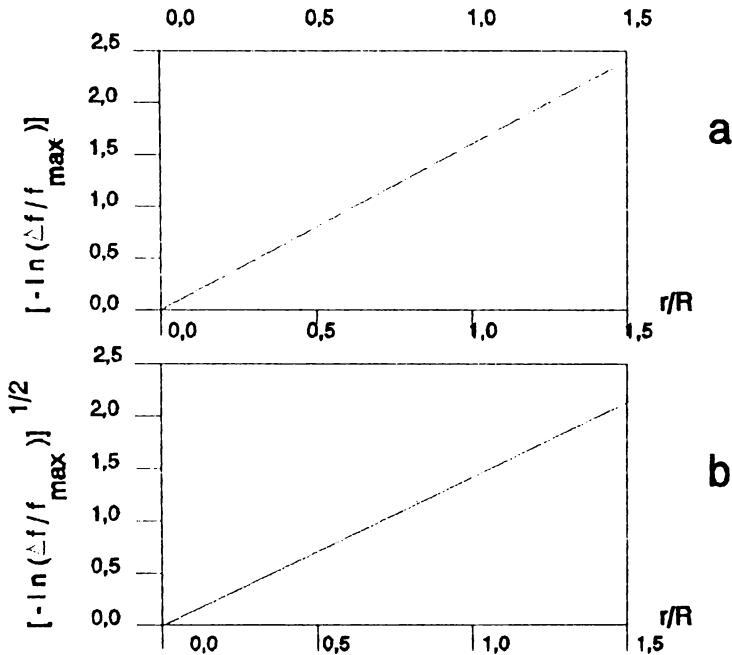


Figura 4.12 Determinarea coeficientului "a" pentru un cristal de 10 MHz oscilând a) în aer; b) în apă

Valoarea coeficientului "a" reprezintă panta dreptei ce se obține prin trasarea graficului pentru funcția (8), grafice ce sunt prezentate în figura 4.12. Pentru ambele cazuri se obțin relații ce aproximează bine liniaritatea presupusă pentru această funcție. Aceasta constituie un argument în plus în alegerea unui profil Gaussian pentru modelarea distribuției amplitudinilor de oscilație.

Pentru liniarizare s-a folosit metoda celor mai mici pătrate.

iar valoarea factorului "a" pentru oscilația în aer este 2.48 iar pentru oscilația în apă este 2.03.

În aceleași lucrări se oferă un mod de calcul al amplitudinii maxime de rezonanță în funcție de factorul de calitate al cristalului de cuarț și de nivelul excitației electrice prin măsurarea tensiunii alternative vârf la vârf la bornele cristalului. Pentru o placă de cristal de cuarț care oscilează în aer având un factor de calitate $Q=20.000$ și o tensiune alternativă de 0.40V vârf la vârf la bornele cristalului, amplitudinea maximă de vibrație a rezultat a fi de 12 nm. Dacă cristalul oscilează cu cei doi electrozi scufundați în apă, factorul de calitate se reduce la $Q=900 - 1000$, și se obține o amplitudine de vibrație de 0.6 nm.

4.1.2.2. Metoda bazată pe modelul transferului de energie

O metodă de obținere a distribuției amplitudinii de oscilație a fost elaborată de V.Mecea prin scanarea suprafeței de oscilație cu o sondă de presiune cu cap de cauciuc.

Sonda sub forma unui fir având o greutate proprie $F_n=1 \cdot 10^{-3}N$ este condusă de un mic mecanism care utilizează un motor sincron, peste diametrul plăcii rezonatoare de cuarț cu o viteză constantă de $1 \cdot 10^6 m/s$. Electrozii cristalului

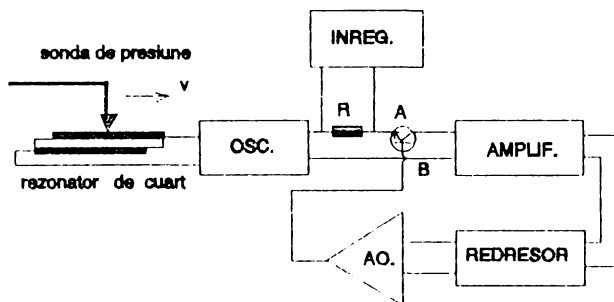


Figura 4.13 Schema sistemului de măsurare a distribuției amplitudinilor de oscilație la suprafața unui rezonator de cuarț

asigură o tensiune de 30mV vârf la vârf pe cristal pentru un larg

domeniu al disipării energiei de oscilație între varful de cauciuc și rezonatorul de cuarț. Tranzistorul desenat în figura 4.13, care prezintă schema de realizare a dispozitivului de măsurare a distribuției amplitudinii de oscilație la suprafața plăcii de cristal de cuarț, funcționează ca un regulator de tensiune serie. Tensiunea între punctele A și B poate varia în funcție de factorul de calitate al rezonatorului de cuarț între 0,9V pentru rezonatoare cu factor de calitate ridicat, până la 10V pentru rezonatoare puternic atenuate. Tensiunea între punctele A și B precum și tensiunea ce cade pe rezistența R (vezi figura 4.13) va crește atunci când capul moale de cauciuc va scana zonele cu amplitudine mare de oscilație de pe suprafața plăcii, creștere proporțională cu creșterea pierderilor prin frecare între cuarț și sondă. Mărima acestei tensiuni este înregistrată cu ajutorul unui înregistrator X-Y.

Au fost examinate plăci de cuarț plan paralele, în tăietură AT, care rezonază la 4 MHz, cu un diametru de 14mm, având deșus un electrod de argint de diametru de 6mm. S-au făcut experiențe și pentru un rezonator plano-convex în tăietură AT cu frecvența de rezonanță fundamentală de 4 MHz, având un diametru de 14 mm și un electrod cu diametrul de 13mm deșus pe suprafața plată, respectiv un electrod de 6mm deșus pe suprafața cu raza de curbura de 200mm. Indicația despre energia vibratorie disipată, respectiv despre distribuția amplitudinii de oscilație este dată de tensiunea U din graficele prezentate în figura 4.14, tensiune culeasă de pe rezistența R, iar în plus a fost înregistrată și scăderea frecvenței de rezonanță ΔF datorată încărcării masice prin capul de măsură.

Din graficele prezentate în figură se constată că profilul curbei de distribuție a amplitudinilor de oscilație pentru placa plan-paralelă prezintă o nesimetrie, pe care autorul o atribuie imperfecțiunii construcției plăcii de cuarț. Se observă că pentru placa plano-convexă zonele din placă care oscilează au dimensiuni mai reduse, confirmând concentrarea energiei de vibrație spre centrul plăcii.

Spre deosebire de metoda prezentată la paragraful 4.2.1 datorită capului de test de cauciuc moale se manifestă fenomenul de

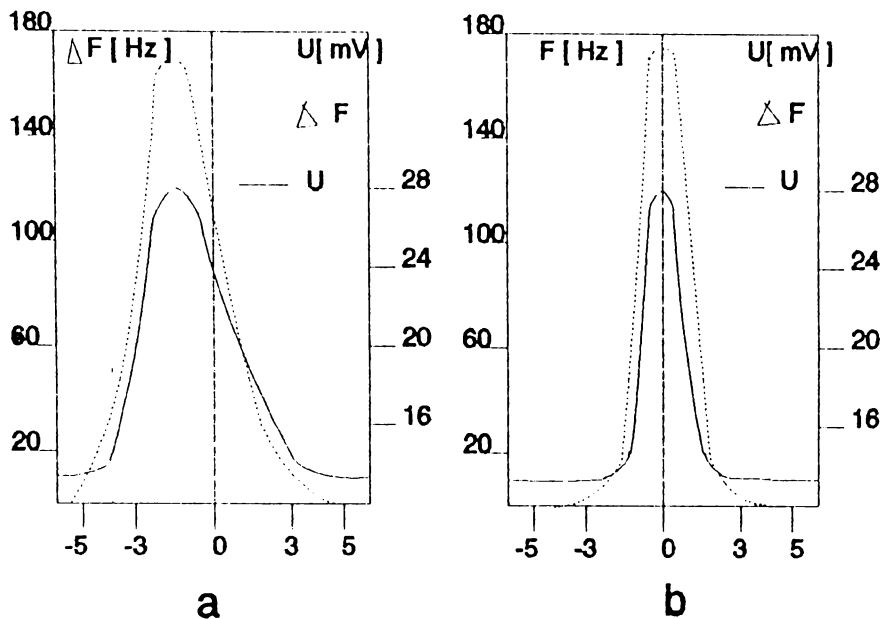


Figura 4.14 Distribuția amplitudinilor de vibrație de-a lungul unui diametru pentru o placă de cristal a) plan paralelă; b) plano-convexă

încărcare masică ceea ce duce la scăderea frecvenței de rezonanță.

4.1.3. Metode de investigare a distribuției amplitudinii de oscilație utilizând topografia cu raze X.

Acest mod de investigare se poate aplica la rezonatoarele cu cuarț cu excitație laterală. În figura 4.15 se prezintă discul rezonator de cuarț cu excitație transversală și cel cu excitație laterală, tăiate dintr-o placă cu orientare AT. La rezonatoarele cu excitație laterală fasciculul de radiație X vine în contact în zona de oscilație a plăcii de cuarț direct cu suprafața cristalului.

În literatură sunt menționate două moduri de realizare a

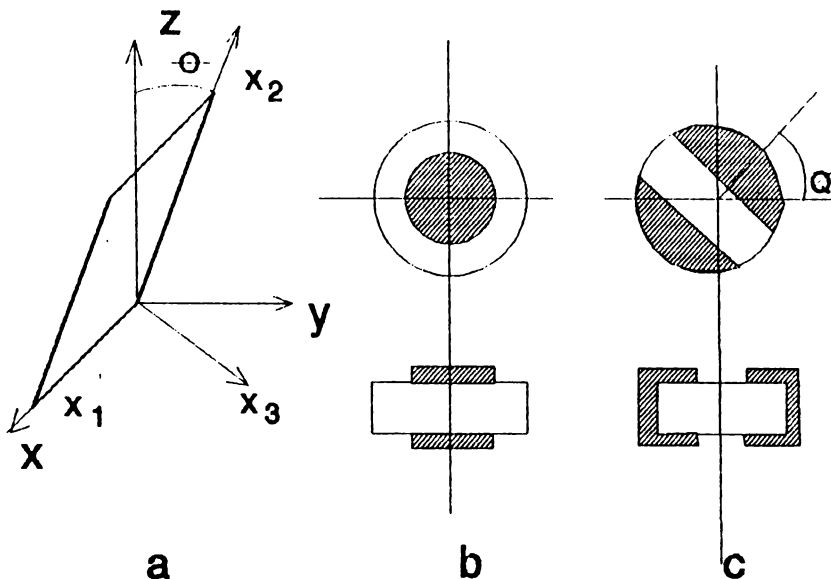


Figura 4.15 Moduri de excitație a rezonatoarelor cu cuarț. b) transversal; c) lateral; a) orientarea tăieturii AT

topografiilor cu raze X prin transmisie și prin reflexie [19].

Prin transmisie, topografia se realizează cu ajutorul unui fascicul de radiație albă X care cade perpendicular pe placa de cristal de cuarț de testat, conform figurii 4.16. Pe un film plasat în spatele plăcii se obține un model în care apare imaginea cristalului cu diferiți vectori de difracție datorati structurii cristaline. Contrastul care apare pe film depinde de poziția relativă a vectorului de difracție față de direcția de vibrație a suprafeței cristalului. În particular contrastul de pe film dispare dacă cei doi vectori sunt perpendiculari. Dacă se dorește vizualizarea unei componente de direcție dată a vectorului de deplasare a punctelor materiale pe suprafața de oscilație, vectorul de difracție trebuie ales paralel cu acea componentă.

Există două tipuri de topografie transversală: primul se rea-

lizează cu un fascicul incident de raze X cu un diametru mare și este folosit pentru scanarea suprafeței de oscilație a rezonatoarelor.; al doilea tip se realizează cu un fascicul îngust cu o deschidere de ordinul a 15 micrometri, care este utilizat la topografierea mochiei plăcii rezonatoare, obținându-se informație despre câte linii antinodale (cu amplitudine mare de oscilație) sunt în grosimea plăcii.

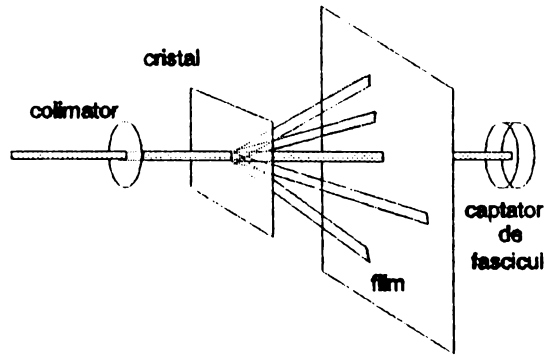


Figura 4.16 Topografie cu raze X prin transmisie

Topografia prin reflexie, prezentată în figura 4.17, permite determinarea tuturor componentelor vectorului de deplasare pentru un mod oarecare de rezonanță, prin faptul că furnizează și un vector de difracție perpendicular pe placa de cristal de cuarț ce este testată.

La excitarea laterală, prin alegerea direcției de orientare a electrozilor (vezi figura 4.15 c) se pot genera moduri de rezonanță care în cazul excitării transversale au factor de cuplare nul. Astfel, din trei moduri de rezonanță transversală posibile, numai modul care asigură un vector de deplasare orientat după

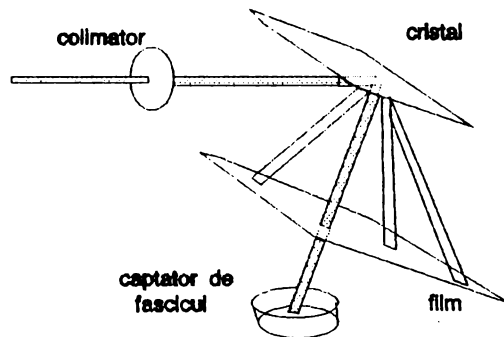


Figura 4.17 Topografia cu raze X prin reflexie

direcția X_1 (vezi figura 4.15 a) are un coeficient de cuplare piezoelectric diferit de zero.

Aceste moduri de investigare necesită o aparatură sofisticată, și nu sunt adecvate pentru studiul influențelor diferitelor perturbații asupra modificărilor legate de distribuția amplitudinilor de oscilație la suprafața rezonatorului. În schimb, aceste metode de investigare sunt deosebit de utile la proiectarea și construcția rezonatoarelor când se dorește reducerea efectelor modurilor de oscilație spurice, care se poate realiza mai ales prin controlul riguros al dimensiunilor mecanice ale rezonatorului. Aceste topografii sunt cel mai eficace mod de verificare a corectitudinii construcției rezonatorului.

4.2.0 nouă metodă de investigare a distribuției amplitudinii de oscilație utilizând fasciculul laser.

Această metodă, care are un caracter original, se bazează pe modificarea frecvenței de rezonanță la iluminarea unui rezonator de cuarț cu un fascicul laser. Modificarea de frecvență de rezonanță se datorează încălzirii locale a plăcii de cuarț care produce un gradient de temperatură. Datorită faptului că placa de cuarț este în tăietură AT, la o încălzire globală, frecvența de rezonanță are o variație de ordinul a 1ppm/°C urmând o lege binecunoscută [9]. La apariția unui gradient de temperatură componentele neliniare au o contribuție importantă, așa cum a fost prezentat în capitolele anterioare. La saltul pozitiv al frecvenței de rezonanță la iluminarea cu un fascicul laser a rezonatorului.

4.2.1. Instalația experimentală.

Experiențele au fost efectuate cu un laser cu He-Ne având lungimea de undă de 632.8nm și o putere maximă de 12mW. Diametrul fascicului laser este de 2mm. Schema instalației de scanare, în prima variantă de realizare, este prezentată în figura 4.18

Montura mecanică (cap.3 fig.1) permite modificarea poziției

rezonatorului de cuarț cu ajutorul a două mase micrometrice într-un plan perpendicular pe fasciculul laser. De asemenea montura mecanică permite rotirea rezonatorului de cuarț având ca axă de rotație perpendiculara dusă în centrul discului. Puterea fasciculului laser incident pe suprafața

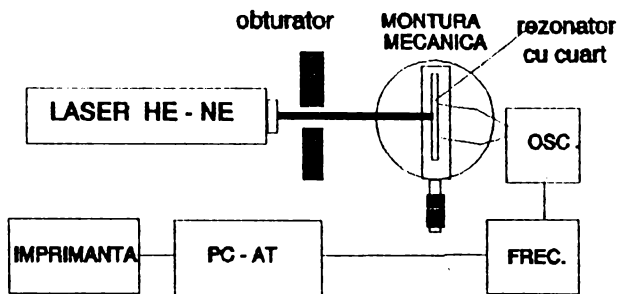


Figura 4.18 Schema instalației de măsurat amplitudinea de oscilație la rezonatoare cu cuarț

rezonanță a cristalului de cuarț se ajustează cu ajutorul unui polarizor plasat în fasciculul laser, conform legii lui Malus.

S-a lucrat cu o putere a fasciculului laser de 10 mW. Montajul experimental pentru poziționarea fasciculului laser pe suprafața cuarțului este realizat pe un banc optic. (vezi figura 3.5)

În a doua variantă constructivă a instalației de ridicare a hărții distribuției amplitudinilor de oscilație pe suprafața rezonatoarelor cu cuarț asigură scanarea suprafeței de oscilație cu ajutorul unui dispozitiv ce utilizează două oglinzi capabile a se roti în jurul unei axe conținută în planul oglinzii.

Pentru scanarea pe orizontală a suprafeței rezonatorului se utilizează un sistem de indicare luminoasă utilizat la galvanometre, iar pentru mișcarea pe verticală a fasciculului laser s-a rigidizat o oglindă de un echipaj mobil al unui instrument magneto-electric, care este construit pentru a funcționa în poziție verticală.

Detaliul constructiv al sistemului de poziționare al fasciculului laser este prezentat în figura 4.19. Avantajul acestui sistem de scanare este comanda simplă în curent continuu a poziționării

fasciculusului laser pe suprafața de oscilație a rezonatorului studiat.

S-au făcut experiențe utilizând rezonatoare cu cuarț, rezonând în modul fundamental pe frecvențele de 6.8 MHz, 11.125 MHz, 18.432 MHz plano-convexe având

electrozi de argint foarte subțiri. Calitatea electrozilor este foarte importantă pentru

reușita experimentului. Astfel la rezonatorii de cuarț la care corecția frecvenței de rezonanță s-a făcut de către producător prin încărcare masică cu argint, a fost nevoie a se îndepărta stratul suplimentar de argint, prin corodare cu acid azotic diluat, pentru a se putea topografia distribuția amplitudinii de oscilație pe suprafața rezonatorului.

Oscilatorul (vezi cap.3 fig.3.2) asigură excitarea cuarțului atât pentru modul de oscilație fundamental cât și pentru modul de oscilație corespunzător celui de-al treilea overton. Comanda modificării modului de oscilație se face electronic de către utilizator prin intermediul calculatorului. (vezi cap.3 fig.3.3). Frecvența oscilatorului este citită printr-un frecvențmetru, iar datele sunt depuse în memoria calculatorului. Graficele sunt trasate pe imprimantă.

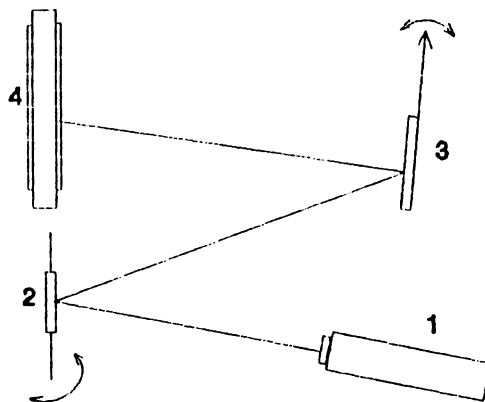


Figura 4.19 Sistem pentru scanarea suprafeței rezonatorului cu cuarț cu un fascicul laser. 1 laser He-Ne; 2. oglinda pt. deflexia pe orizontală; 3. Oglindă pentru deflexia pe verticală; 4. rezonator

4.2.2. Rezultate experimentale

Rezultatele distribuției amplitudinii de oscilație pentru modul fundamental de oscilație la scanarea rezonatorului de cuarț, de-a lungul diametrului pentru direcția X sunt prezentate în figura 4.20. Rezultatele experimentale confirmă justetea metodei, forma curbilor de distribuție a amplitudinii

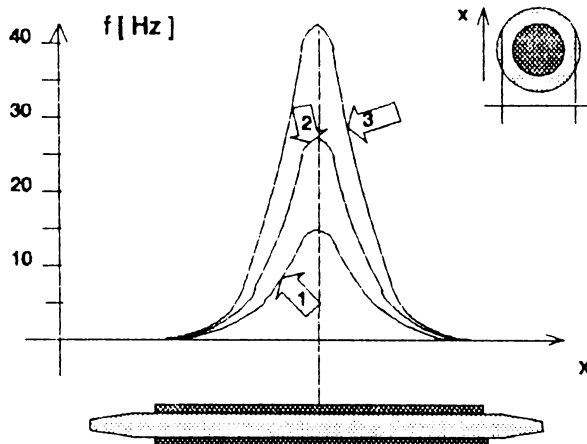


Figura 4.20 Distribuția amplitudinilor de oscilație de-a lungul unui diametru pentru rezonatoare de cuarț cu frecvențe de rezonanță de 1) 6,8 MHz; 2) 11,125 MHz; 3) 18,432 MHz

de oscilație obținută fiind asemănătoare celor obținute prin metodele menționate în literatură.

Pentru a studia influența electrodului și a lungimii de undă a laserului folosit, asupra modificării frecvenței de rezonanță în unul din electrozii de argint al unui rezonator pe frecvența de 11,125 MHz, s-a practicat un orificiu circular în centrul acestuia (vezi paragraful 3.3.5.). Frecvența de rezonanță a crescut la 11,352 MHz, iar la scanarea pe suprafață de oscilație a electrodului rămas intact după direcția x și o direcție y perpendiculară pe aceasta, s-au obținut distribuțiile de amplitudine cu profilele prezentate în figura 4.21 a) respectiv b).

Se observă că zona cu amplitudine maximă de oscilație și-a modificat poziția din centru spre o zonă periferică.

În cazul funcționării rezonatorului cu cuarț pe al treilea overtone, frecvența de rezonanță a fost de 20,366 MHz, pentru placa de cristal ce rezona în modul fundamental pe frecvența de rezonanță

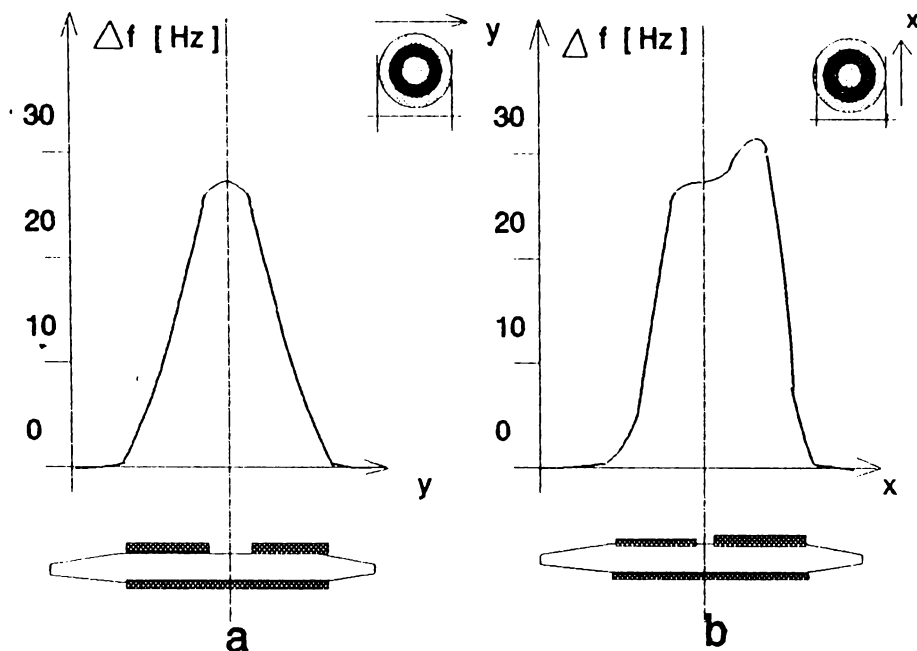


Figura 4.21 Distribuția amplitudinilor de oscilație de-a lungul unui diametru pentru un rezonator cu cuarț având unul din electrozi sub formă de inel a) după o direcție perpenndiculară pe x ; b) după direcția x .

de 6.8 MHz, iar la scanarea după direcția x , respectiv la scanarea după direcția y s-au obținut distribuțiile de amplitudini de oscilație prezentate în figura 4.22.

La o scanare a întregii suprafețe de oscilație se obține pentru modul de oscilație fundamental în cazul rezonatorului cu cuarț pe frecvența de 6.8 MHz graficul din figura 4.23, iar pentru modul de oscilație pe al treilea overtone se obține graficul din figura 4.24, care reprezintă harta distribuției amplitudinilor de oscilație.

Pentru rezonatorul cu cuarț al cărui electrod a fost îndepărtat de pe una din suprafețe în zona centrală în urma scanării suprafeței de oscilație cu un fascicul laser se obține o hartă a distribuției amplitudinilor de oscilație prezentată în figura 4.25.

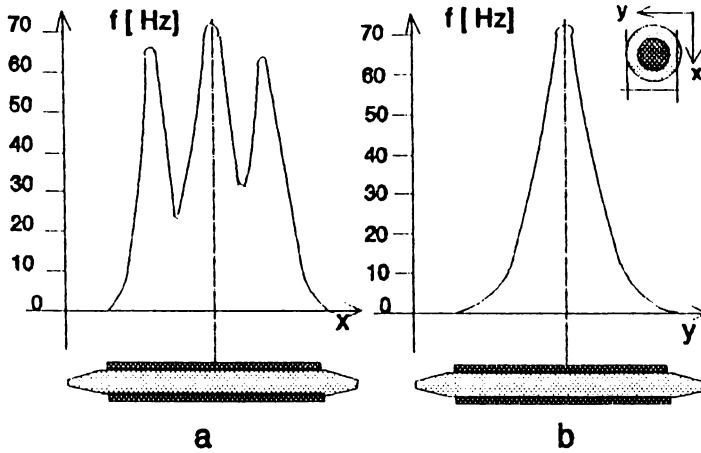


Figura 4.22 Distribuția amplitudinii de oscilație pentru al treilea overtone a) de-a lungul diametrului orientat după axa x; b) de-a lungul diametrului orientat după axa y.

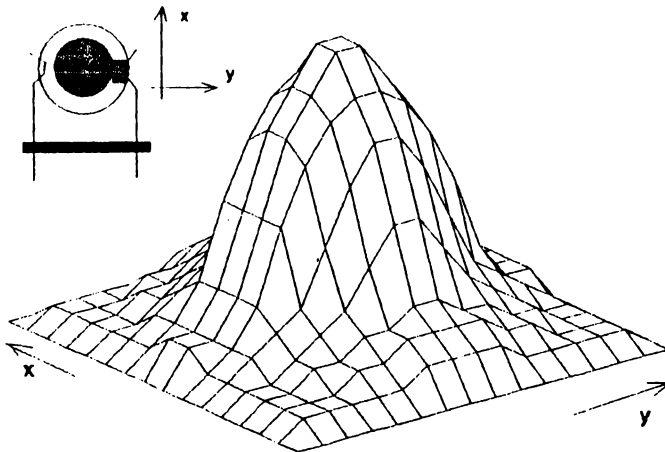


Figura 4.23 distribuția amplitudinii de oscilație pentru modul fundamental

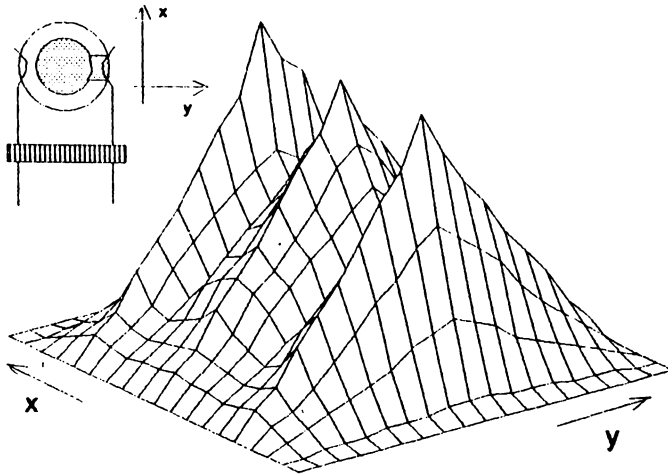


Figura 4.24 Distribuția amplitudinilor de oscilație pentru al treilea overtone

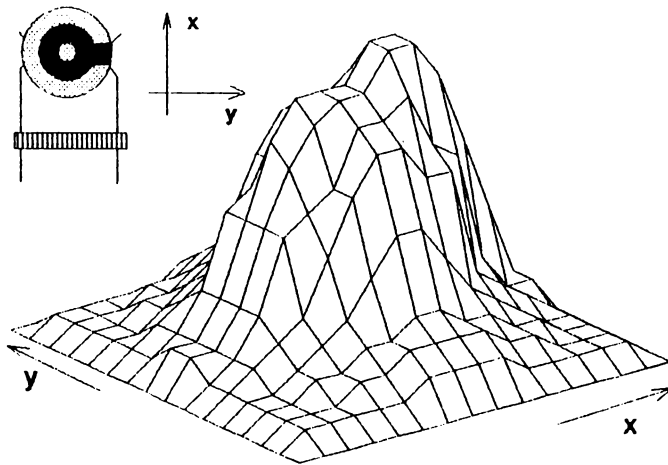


Figura 4.25 Distribuția amplitudinilor de oscilație pentru rezonatorul cu electrodul îndepărtat în zona centrală.

4.3. Concluzii

In acest capitol au fost prezentate principalele metode de investigare a amplitudinii de oscilație la suprafața unui rezonator de cuarț.

Metodele care utilizează reflexia luminii sunt metode laborioase care necesită prelucrarea suprafeței cristalului rezonant, precum și aparatură de laborator complexă.

Metodele care utilizează interacțiunea mecanică între placa de testat și capul de test prezintă avantajul unei simplități constructive. Dezavantajul metodei rezidă din histereza care apare datorită contactului fizic între sonda de presiune și rezonatorul de cuarț. Metoda este de neînlocuit pentru studiul comportării senzorilor pentru studiul proprietății lichidelor, bazați pe rezonatoare cu cuarț.

Metodele ce se bazează pe scanarea cu ajutorul fasciculelor de raze X nu sunt adecvate pentru studiul rezonatoarelor cu cuarț ce se utilizează în construcția senzorilor, deoarece ele nu pot să ofere un rezultat în timp real, rezultatul testării fiind sub forma unui film care trebuie dezvoltat ulterior. Metoda este improprie deci studiului modificării distribuției amplitudinilor de vibrație atunci când asupra plăcii se manifestă o perturbație exterioară.

Metoda originală de scanare a suprafeței rezonatorului cu cuarț cu fascicul laser pentru determinarea distribuției amplitudinii de oscilație combină simplitatea metodelor cu sonda de presiune cu avantajele utilizării fasciculului de lumină laser. Această metodă de scanare nu modifică condițiile mecanice de oscilație a rezonatorului, și se poate folosi, asemeni metodei ce se bazează pe efectul speckle, pentru studiul distribuției amplitudinilor de oscilație pentru moduri ce folosesc overtonuri de diferite valori.

Rezultatele obținute prin aceasta metodă sunt foarte apropiate de rezultatele obținute prin metode consacrate, iar prin utilizarea tehnicii de calcul și prin colimarea adecvată a spotului fasciculului laser urmată de o prelucrare îngrijită a datelor se poate obține o

hartă a distribuției amplitudinilor de oscilație cu o rezoluție deosebită. Spre deosebire de metoda ce utilizează efectul speckle, unde rezoluția este determinată atât de dimensiunea fascicului laser cât mai ales de dimensiunile "modelului speckle", în cazul ultimei metode, rezoluția este determinată numai de dimensiunea fascicului laser și de puterea acestuia.

Printre dezavantajele metodei se pot enumera dependența modificării frecvenței de rezonanță la iluminarea rezonatoarelor cu un fascicul laser dată de calitatea electrozilor și de materialul din care sunt confecționați aceștia. Dar pentru a utiliza rezonatorul ca senzor, electrozii trebuie să fie cât mai subțiri pentru a avea o sensibilitate cât mai bună. Realizarea unei valori date cât mai precise a frecvenței de rezonanță este de o importanță secundară, deci ajustarea frecvenței de rezonanță prin depunere masivă, care duce la îngroșarea electrodului, nefiind necesară. Materialele din care se confecționează electrozii sunt reduse ca număr ele fiind de obicei argint, aur sau aluminiu. Cu toate aceste dezavantaje metoda consider că este deosebit de interesantă, și există posibilități de îmbunătățire a performanțelor acesteia.

CAPITOLUL 5

VARIATIA FRECVENȚEI DE REZONANTA LA INCARCAREA MASICA NEUNIFORMA A REZONATOARELOR CU CUART

Studiul modificării frecvenței de rezonanță la încărcarea masică a rezonatorilor de cuarț este efectuat în literatura de specialitate pornindu-se de la ipoteza că încărcarea masică se face uniform pe întreaga suprafață de oscilație a rezonatorului. Această ipoteză simplificatoare nu este satisfăcută la realizarea practică a experimentelor fizice, de unde apar și erori la aprecierea maselor folosind acest tip de microbalanță. Modelul simplificat oferă un instrument deosebit de util în analiza unor astfel de fenomene complexe, putând oferi atât aprecieri calitative cât și cantitative.

Depunerea masică neuniformă alterează valoarea raportului dintre masa suplimentară depusă și masa rezonatorului de cuarț dată de relația cunoscută :

$$\frac{m_f}{m_q} = - \frac{\Delta f}{f} \quad (5.1)$$

unde m_f este masa suplimentară depusă, m_q este masa rezonatorului de cuarț, Δf este variația frecvenței de rezonanță față de frecvența de rezonanță f a rezonatorului neîncărcat masic. [7] Există multe lucrări în literatura de specialitate care abordează diferite aspecte legate de calculul variației de masă depusă pe cuarț în funcție de variația frecvenței de rezonanță, având ca parametru diferite mărimi legate de proprietăți ale materialului care se depune [7],[44],[55], dar sunt date puține despre problemele legate de depunerea neuniformă a masei suplimentare pe suprafața de oscila-

ție. De asemenea se găsesc date legate de sensibilitatea diferită a unor regiuni ale suprafeței de rezonanță [66] [54], dar nu am întâlnit metode teoretice sau practice pentru evaluarea uniformității depunerii masice pe întreaga suprafață a rezonatorului.

5.1. Sensibilitatea rezonatorului de cuarț la încărcare masică

Modelul simplificat oferă o ecuație matricială de forma (2.62) pentru calculul pulsațiilor proprii. În cadrul încărcării masice neuniforme, matricea $[m]$ devine, datorită depunerii pe suprafața de oscilație a unui strat subțire neuniform dintr-o substanță oarecare, o matrice $[m_p]$, unde p este un indice care semnifică că avem un regim de oscilație perturbat, de forma relației (5.2). Se presupune că încărcarea masică a fiecărei mase concentrate j din model se face cu o masă suplimentară $\theta_j m$, unde m este valoarea inițială a masei, θ_j un număr real oarecare, iar ϵ este un număr real foarte mic.

$$[m_p] = [m] + \epsilon [\delta m] \quad (5.2)$$

Matricea $[\delta m]$ este de forma :

$$[\delta m] = \begin{bmatrix} \theta_1 m & 0 & 0 & \dots & \dots & 0 \\ 0 & \theta_2 m & 0 & \dots & \dots & 0 \\ \dots & \dots & \dots & \dots & \dots & \dots \\ \dots & \dots & \dots & \theta_j m & \dots & \dots \\ \dots & \dots & \dots & \dots & \dots & \dots \\ 0 & 0 & 0 & \dots & \dots & \theta_r m \end{bmatrix} \quad (5.3)$$

Cele n puncte luate în considerare se consideră a fi distribuite echidistant de-a lungul diametrului plăcii de cuarț după axa x .

Matricea $[m_p]$ are forma :

$$[m_p] = \begin{bmatrix} m + \epsilon \theta_1 m & 0 & \dots & 0 \\ 0 & m + \epsilon \theta_2 m & \dots & 0 \\ \dots & \dots & \dots & \dots \\ 0 & \dots & \dots & 0 \\ 0 & \dots & \dots & 0 & m + \epsilon \theta_n m \end{bmatrix} \quad (5.4)$$

Deoarece $\epsilon \ll 1$ prin neglijaarea valorii $\epsilon^2 \theta_j^2 m^2$ față de valoarea m^2 și faptul că matricea $[m_p]$ este o matrice simetrică, prin înmulțirea și împărțirea fiecărui termen al diagonalei matricii (5.4) $m + \epsilon \theta_j m$ cu un termen de forma $m - \epsilon \theta_j m$, inversa matricii $[m_p]$ are forma:

$$[m_p]^{-1} = \begin{bmatrix} \frac{1}{m} - \epsilon \frac{\theta_1}{m} & 0 & \dots & 0 \\ 0 & \frac{1}{m} - \epsilon \frac{\theta_2}{m} & \dots & 0 \\ \dots & \dots & \dots & \dots \\ 0 & 0 & \dots & \frac{1}{m} - \epsilon \frac{\theta_{n-1}}{m} \\ 0 & 0 & \dots & 0 & \frac{1}{m} - \epsilon \frac{\theta_n}{m} \end{bmatrix} \quad (5.5)$$

Înlocuind în ecuația (2.20) valoarea astfel calculată pentru $[m_p]^{-1}$ se poate scrie :

$$[k] [m_p]^{-1} - \Omega_i I = 0$$

$$\begin{bmatrix} 2k & -k & 0 & \dots & 0 \\ -k & 2k & -k & \dots & 0 \\ \dots & \dots & \dots & \dots & \dots \\ 0 & \dots & -k & 2k & -k \\ 0 & \dots & 0 & -k & 2k \end{bmatrix} \begin{bmatrix} \frac{1}{m} & 0 & \dots & 0 \\ 0 & \frac{1}{m} & \dots & 0 \\ \dots & \dots & \dots & \dots \\ \dots & \dots & \dots & \dots \\ 0 & \dots & 0 & \frac{1}{m} \end{bmatrix} + \epsilon \begin{bmatrix} -\frac{\theta_1}{m} & 0 & \dots & 0 \\ 0 & -\frac{\theta_2}{m} & \dots & 0 \\ \dots & \dots & \dots & \dots \\ \dots & \dots & \dots & \dots \\ 0 & \dots & 0 & -\frac{\theta_n}{m} \end{bmatrix} - \Omega I = 0$$

$$[k] [m]^{-1} - \epsilon [k] [\delta m] - \Omega I = 0$$

iar dacă notăm $[k][m]^{-1}=C$ și $[k][\delta m]^{-1}=B$ se obține o ecuație în care intervine mărimea de perturbație ϵB al cărei mod de rezolvare este dat în paragraful 2.1.3.

S-a simulat cu ajutorul calculatorului modificarea frecvenței de rezonanță la încărcare masică a unei plăci de cuarț cu ajutorul modelului discret simplificat având 15 grade de libertate, deoarece pentru acest studiu este necesar a se cunoaște variațiile frecvențelor de rezonanță cu încărcarea masică neuniformă și pentru armonicile a treia și a cincea. Frecvența de rezonanță pentru primul mod de oscilație este de 9.918 MHz.

Sensibilitatea rezonatorului de cuarț la depunere masică pentru modul fundamental de oscilație depinde de distanța r de la centrul rezonatorului unde se depune masa, de dimensiunile plăcii și ale electrozului, precum și de forma plăcii de cuarț: plane respectiv planoconvexe. În literatură

se găsec date privind constante de calibrare pentru diferite microbalanțe construite pe baza rezonatoarelor de cuarț.[7][41]-[47]. Zonele de sensibilitate maximă la încărcare masică pe suprafața rezonatorului corespund zonelor unde amplitudinea de vibrație este maximă.

Utilizând modelul simplificat am modelat sensibilitatea unui rezonator de cuarț de-a lungul diametrului. Rezonatorul a fost modelat cu un sistem de 15 mase concentrate, iar de-a lungul diame-

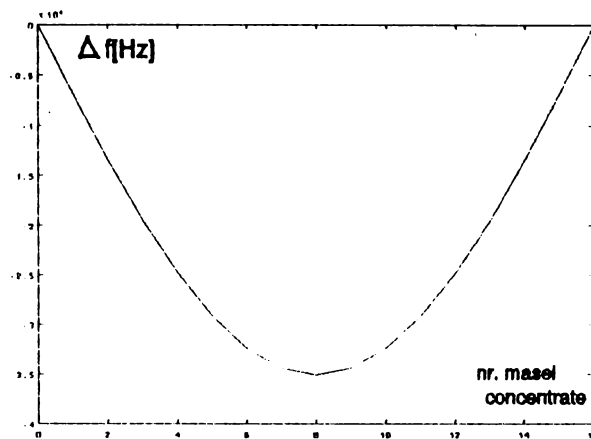


Figura 5.1 Curba de sensibilitate la depunere masică a unui rezonator de cuarț de-a lungul diametrului pentru modul fundamental de oscilație.

trului s-a depus o masă suplimentară de $10^{-4}m$, unde m este masa concentrată de valoare $M/15$ unde M este masa plăcii de cuarț. Modificarea frecvenței de rezonanță este prezentată în figura 5.1 pentru o frecvență de rezonanță de 9.918MHz a cristalului de cuarț simulat a fi neîncărcat.

Se observă că modificarea maximă de frecvență se obține dacă masa suplimentară se adună la masa concentrată nr.8 care corespunde centrului plăcii de cristal de cuarț.

Pentru modul de rezonanță pe armonică a treia cu frecvența de rezonanță de 29.37 MHz există, așa cum s-a prezentat în capitolul anterior, trei zone de care prezintă maxime locale ale amplitudinii de rezonanță. Modificarea frec-

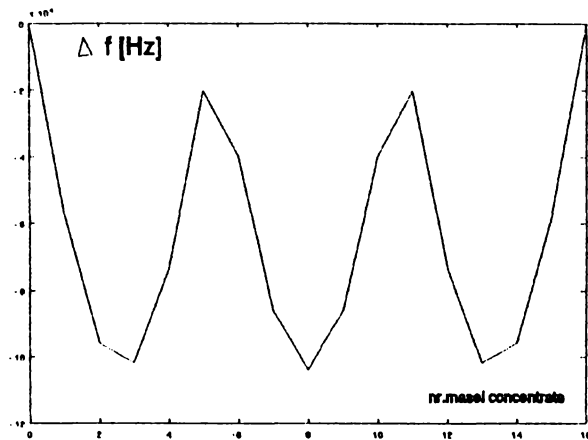


Figura 5.2 Curba de sensibilitate, pentru un rezonator de cuarț oscilând pe armonică a treia, la încărcare masică.

de $10^{-4}m$ plasată succesiv de-a lungul unui diametru orientat adecvat (axa X) este prezentată în figura 5.2. Variații maxime ale frecvenței de rezonanță se obțin dacă masa suplimentară este adunată la masele concentrate 3, 8 și 13, iar o variație minimă a frecvenței de rezonanță se obține pentru cazul în care masa concentrată se adună la masele 5 și 11. Centrul plăcii de cuarț corespunde masei concentrate nr 8.

Programele pentru calculul sensibilității rezonatorului cu cuarț la încărcare masică sunt prezentate în Anexa 7.

5.2. Comportarea cristalului de cuarț la încărcare masică neuniformă.

Informația suplimentară legată de uniformitatea depunerii masei pe suprafața de oscilație este oferită prin variația raportului frecvențelor de rezonanță corespunzătoare modurilor superioare, pe frecvența de rezonanță pentru modul fundamental.

La încărcarea masică uniformă raportul r_1 dintre frecvența de rezonanță f_1 corespunzătoare unui mod posibil de excitat în placa de cuarț (armonica a treia $i=3$, a cincea $i=5$ a șaptea $i=7$, etc.) și frecvența fundamentală rămâne constant indiferent de masa suplimentară depusă. (bineînțeles în limita de variație maximă a masei de 2% din valoarea masei rezonatorului de cuarț pentru a se păstra caracterul liniar al fenomenului fizic [7][41]). Această proprietate a rezultat din modelarea comportării cristalului de cuarț.

La încărcarea masică neuniformă raportul r_1 se modifică și noua lui valoare, raportată la raportul r_1 corespunzător rezonatorului neîncărcat aduce informații despre gradul de neuniformitate al depunerii pentru regiuni ale suprafeței de rezonanță care prezintă maxim de amplitudine de rezonanță la armonica aleasă pentru testare. Calculul analitic al gradului de neuniformitate al depunerii pe suprafață rezonatorului de cuarț este deosebit de dificil deoarece trebuie să se admită existența unui gradient de formă complexă a masei suplimentar depuse pe suprafața de oscilație. De asemenea regiunile suprafeței de oscilație trebuie caracterizate din punctul de vedere al amplitudinilor de oscilație pentru modul rezonat cu care se operează.

Simularea comportării rezonatorului la frecvențe de rezonanță corespunzătoare armonicii a treia și a cincea implică ridicarea complexității modelului prezentat la un număr de 15 mase concentrate și 16 resoarte ideale. Calculul variației frecvenței de rezonanță se face folosind metoda perturbației prezentată în paragraful 2.4. Programul de simulare este prezentat în Anexa B.

S-a simulat un rezonator de cuarț pregătit a fixa pe suprafa-

tele S1 și S2 două mase suplimentare diferite. (figura 5.3.a). Suprafețele S1 și S2 s-au ales astfel ca în zonele respective ale suprafeței de oscilație să avem amplitudine maximă de oscilație pentru modul fundamental (suprafața S1) și

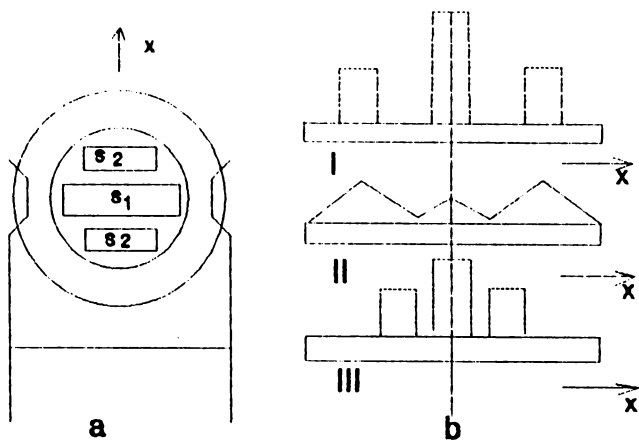


Figura 5.3 a)Cristal de cuarț pe care se depun mase diferite în regiunile S1 și S2. b) posibilități de realizare a depunerilor neuniforme.

cel pe armonica a

treia (suprafețele S1 și S2). Experimental aceste zone se pot identifica cu una din metodele prezentate în capitolul 4. Zonele sunt indicate în figura 5.3.a.

Din analiza comportării prin simulare a unui astfel de rezonator de cuarț la încărcare masică neuniformă a rezultat că modificările frecvenței de rezonanță, în cazul în care masa totală depusă este constantă, depind de poziția față de centrul rezonatorului a masei depusă suplimentar și de gradientul dm/dr al variației masei suplimentare pe suprafața rezonatoru-

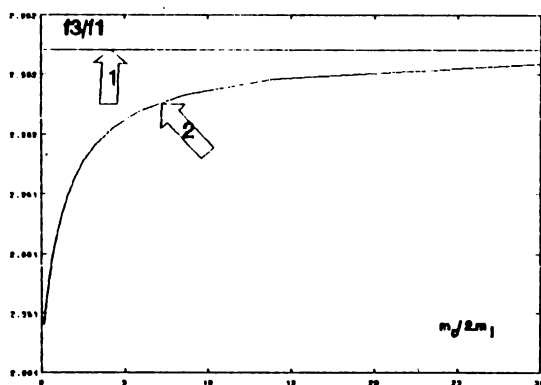


Figura 5.4 Variația raportului f_3/f_1 (sageata 2) față de valoarea la încărcarea uniformă (săgeata 1), pentru cazul I

lui. Cazurile de variație neuniformă de masă suplimentară pentru care s-au făcut simulările sunt:

- Masa suplimentară este de valoare constantă și este depusă în centrul rezonatorului și pe cele două suprafețe de sensibilitate maximă pentru armonica a treia, conform situației I din figura 3.1.b. În figura 5.4 se prezintă variația raportului f_3/f_1 unde f_3 este frecvența de rezonanță pentru armonica a treia, iar f_1 este frecvența de rezonanță pentru modul fundamental în raport de $m_0/2m_1$, unde m_0 este masa depusă în centrul plăcii, iar m_1 este o masă depusă pe una din suprafețele S_2 .

Pe același grafic se reprezintă pentru a se putea face o comparație și valoarea raportului pentru încărcarea uniformă.

Variația raportului f_5/f_1 este prezentată în figura 5.5 în funcție de același parametru.

În figura 5.6 se prezintă variația frecvenței de rezonanță pentru modul

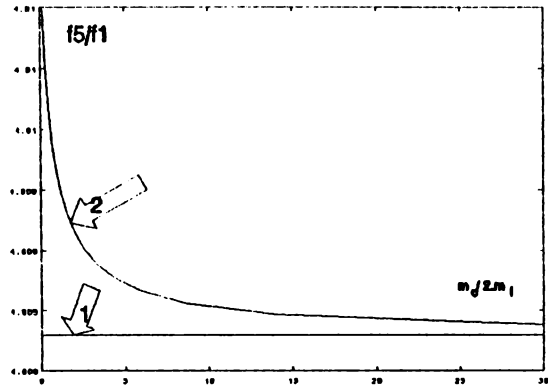


Figura 5.5 Variația raportului f_5/f_1 pentru încărcare neuniformă (săgeata 2) față de valoarea corespunzătoare încărcării uniforme (săgeata 1), cazul I

fundamental în raport de $m_0/2m_1$, unde m_0

este masa depusă în centrul plăcii, iar m_1

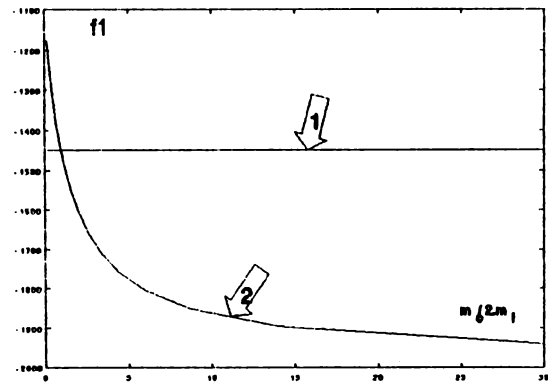


Figura 5.6 Variația frecvenței de rezonanță pentru modul fundamental la încărcare masivă neuniformă (săgeata 2) față de valoarea la încărcarea uniformă (săgeata 1), pentru cazul I

fundamental la încărcarea masică neuniformă. Se observă că deși cantitatea de masă depusă suplimentar este aceeași variația frecvenței de rezonanță pentru modul fundamental diferă, ceea ce face ca relația (5.1) să fie adevărată numai în aproximația că depunerea este uniformă.

Dacă vom simula cazul 3, prezentat în figura 3, ca posibil de depunere a masei suplimentare, se obține variația raportului f_3/f_1 în funcție de $m_0/2m_1$ de forma prezentată în figura 5.7. Masa suplimentară m_1 este depusă între zonele S1 și S2 în zona în care sensibilitatea pentru armonica a treia este scăzută. Se observă că de această dată variația raportului este mult mai mică, iar raportul pentru depunerea neuniformă este mai mare decât raportul pentru depunerea uniformă.

Reportul f_5/f_1 este prezentat în figura 5.8. Spre deosebire de cazul anterior raportul f_5/f_1 este mai mic în cazul unei încărcări masice neuniforme decât valoarea raportului pentru încărcarea masică uniformă. Valorile

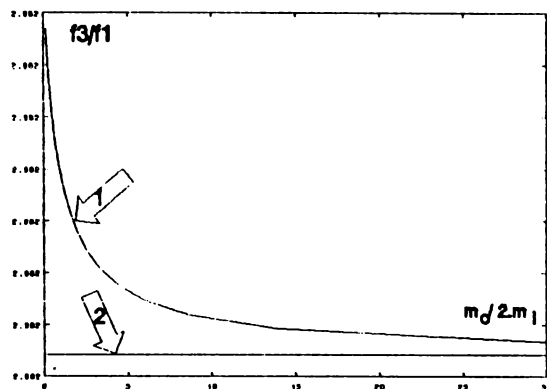


Figura 5.7 Variatia raportului f_3/f_1 pentru depunerea neuniformă (săgeata 2) față de depunerea uniformă (săgeata 1). pt cazul III.

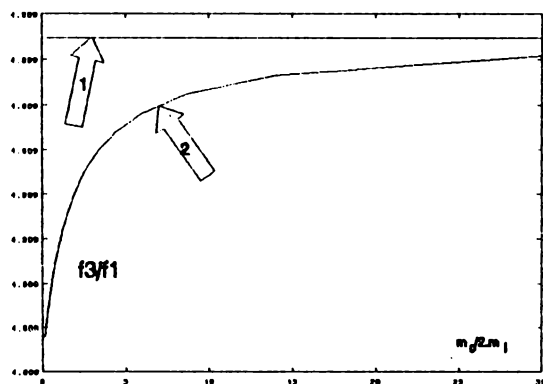


Figura 5.8 Variatia raportului f_5/f_1 la încărcare masică neuniformă (săgeata 2) față de valoarea pentru încărcare masică uniformă (săgeata 1) în cazul III

Reportul f_5/f_1 este prezentat în figura 5.8. Spre deosebire de cazul anterior raportul f_5/f_1 este mai mic în cazul unei încărcări masice neuniforme decât valoarea raportului pentru încărcarea masică uniformă. Valorile

variației raportului sunt mai scăzute decât în cazul anterior deoarece sensibilitatea pentru armonica a treia este scăzută.

Variația frecvenței de rezonanță pentru modul de oscilație fundamental este mai mare decât în cazul depunerii uniforme, deși cantitatea de masă depusă suplimentar este aceeași. așa cum se observă din figura 5.9.

Pentru cazul de depunere a masei suplimentare conform cazului II, prezentat în figura 5.3, se obține o variație a raportului f_3/f_1 prezentată în figura 5.10. Pentru acest tip de gradient de depunere de masă, care este cel mai apropiat de cazurile reale, se poate aprecia dacă masa depusă în zona centrală este mai mare sau mai mică decât masa depusă pe zonele laterale.

Variația raportului f_5/f_1 este prezentată în figura 5.11. iar variația frecvenței de rezonanță pentru modul fundamental este prezentată în figura 5.12. Masa totală depusă este constantă, diferind doar cantitățile depuse în

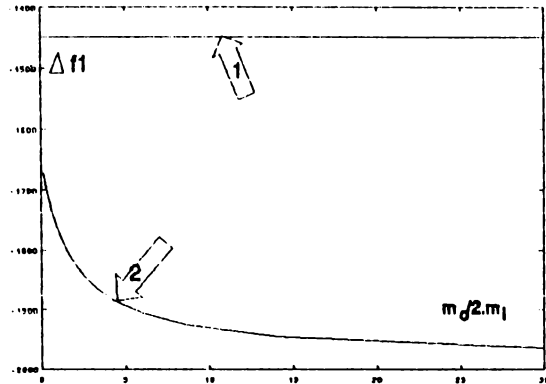


Figura 5.9 Variația frecvenței de rezonanță pentru modul fundamental pentru încărcarea neuniformă (săgeata 2) respectiv încărcarea uniformă (săgeata 1)

a raporului f_3/f_1 prezentată în figura 5.10. Pentru acest tip de

gradient de depunere de masă, care este cel mai apropiat de cazurile reale, se poate aprecia dacă masa depusă în zona centrală este mai mare sau mai mică decât masa depusă pe zonele laterale.

Variația raportului f_5/f_1 este prezentată în figura 5.11. iar variația frecvenței de rezonanță pentru modul fundamental este prezentată în figura 5.12. Masa totală depusă este constantă, diferind doar cantitățile depuse în

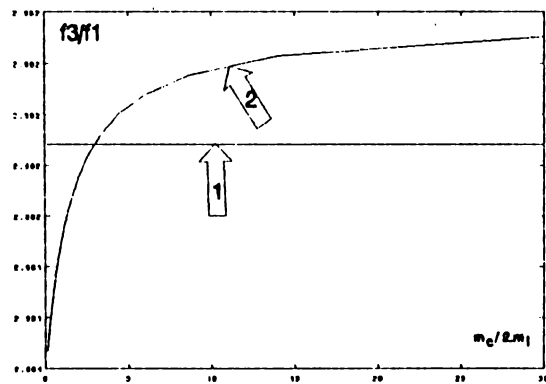


Figura 5.10Variația raportului f_3/f_1 pentru încărcare neuniformă (sageata 2) respectiv încărcare uniformă (săgeata 1) în cazul II

diferite zone ale suprafeței de oscilație.

Pentru a verifica practic modificarea raportelor f_3/f_1 respectiv f_5/f_1 la încărcare masică neuniformă am efectuat următoarea experiență. Frecvența de rezonanță pe modul fundamental 4.43 MHz și frecvența de rezonanță pentru armonica a treia de 13.27 MHz ale unui rezonator de cuarț sunt

considerate ca frecvențe ale cuarțului neîncărcat masic, care corespund și încărcării masice uniforme, conform celor prezentate mai sus.

În prima etapă cu o soluție slab acidă s-a îndepărtat o parte din electrodul de argint creiind astfel o depunere neuniformă la care masa depusă în zona centrală este mai mică decât masa depusă în zonele laterale.

În etapa a doua cu o pensulă foarte fină s-au depus succesiv straturi de vopsea puternic diluată în zona centrală a rezonatorului ceea ce a făcut ca masa

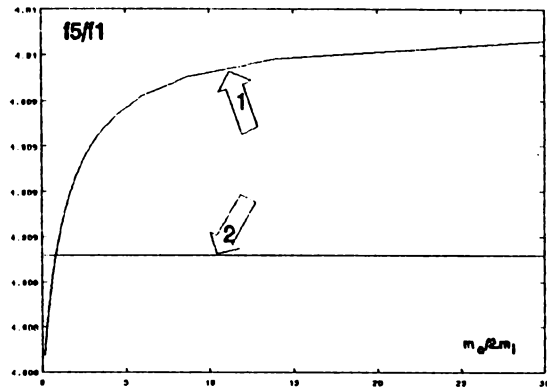


Figura 5.11 Variatiya raportului f_5/f_1 pentru depunere masică neuniformă (săgeata 1), respectiv pentru depunere masică uniformă (săgeata 2) pentru cazul II.

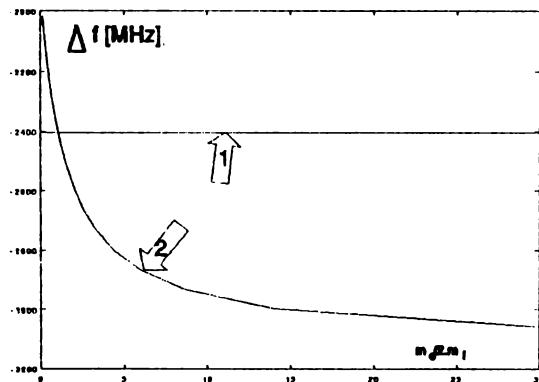


Figura 5.12 Variatiya frecvenței de rezonanță pentru modul de oscilație fundamentală la încărcare masică neuniformă (săgeata 2), respectiv încărcare masică uniformă (săgeata 1) pentru cazul II.

depusă suplimentar în această zonă sa fie mai mare decât masa depusă în zonele laterale. Variația raportului f_3/f_1 este prezentată în figura 5.13.

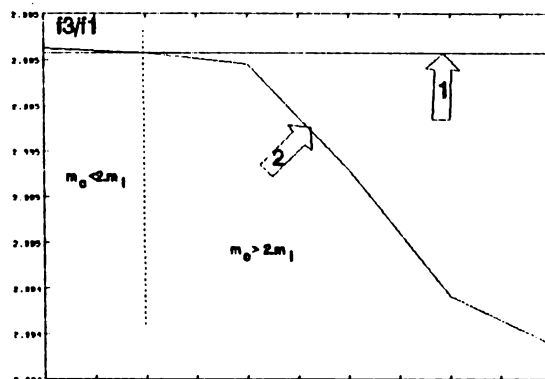


Figura 5.13 Variația raportului f_3/f_1 pentru încărcare masică neuniformă (săgeata 2) față de raportul inițial (săgeata 1) care corespunde încărcării masice uniforme.

5.3. Concluzii

În acest capitol autorul propune o metodă originală pentru aprecierea uniformității depunerii de masă suplimentară pe suprafața rezonatoarelor de cuarț utilizate în construcția microbalanțelor. Din informația oferită de rapoartele frecvențelor de rezonanță f_3/f_1 și f_5/f_1 se poate stabili dacă depunerea masică este sau nu uniformă.

Acest mod de a aborda problemele legate de uniformitatea depunerii masice pe suprafața cristalei de cuarț este similară cu problema eșantionării unui semnal analogic. Cu cât punctele de eșantionare sunt mai multe într-o perioadă cu atât informația despre semnal este mai completă. În cazul nostru se poate vorbi despre o eșantionare spațială în sensul că modurile superioare de oscilație au sensibilități sporite la încărcarea masică (respectiv și la alte perturbații) în diferite puncte ale suprafeței de oscilație, aducând astfel informație despre masa depusă în acele puncte de pe placa de cuarț.

CAPITOLUL 6

CONCLUZII SI CONTRIBUTII PERSONALE

Teza de doctorat abordează domeniul senzorilor punând accent pe senzorii realizați pe baza rezonatoarelor de cuarț în tăietură AT. Cercetările ce se întreprind pentru realizarea de noi senzori cât și extinderea domeniului de aplicații pentru senzorii existenți cunosc o dezvoltare continuă, existând importante manifestări științifice anuale dedicate special acestui domeniu de cercetare. În ceea ce privește interesul pentru senzorii bazați pe materiale piezoelectrice, manifestări științifice consacrate cum este "1992 IEEE Frequency Control Symposium" alocă o secțiune acestui domeniu [60].

Autorul analizează în teză problemele legate de comportarea rezonatoarelor de cuarț în ceea ce privește modificarea frecvențelor de rezonanță, pentru modul de oscilație fundamental și pentru moduri de oscilație superioare, la existența unor perturbații exterioare cu o distribuție neuniformă pe suprafața de rezonanță. În literatura de specialitate, cu mici excepții, este tratată cu predilecție modificarea frecvenței de rezonanță pentru perturbații omogene din punct de vedere spațial, dar care pot prezenta modificări în timp.

Această abordare mai neobișnuită a comportării rezonatoarelor de cuarț a dus la contribuții originale ale autorului atât în crearea unui model simplu capabil să explice fenomenele complexe ce apar într-un astfel de senzor cât și în elaborarea unor metode originale practice pentru determinarea distribuției amplitudinilor de oscilație la suprafața cristalelor de cuarț și la determinarea gra-

dului de neuniformitate pentru depunerile masice pe suprafața rezonatorului de cuarț. Aceste contribuții sunt prezentate succint in cele ce urmează.

1. Autorul prezintă in primul capitol proprietățile elastice, piezoelectrice și dielectrice ale cristalului de cuarț. Se prezintă ecuațiile electroelastice liniare și neliniare pentru cristalul de cuarț, subliniindu-se contribuția coeficienților elastici neliniari la modificarea frecvenței de rezonanță sub acțiunea unor perturbații având o distribuție spațială neuniformă. Autorul prezintă comportarea cu temperatura a coeficienților elastici liniari și neliniari ai cuarțului.

Pe baza bibliografiei studiate, se prezintă principalele modele teoretice existente in literatura de specialitate, utilizate in studiul modificării frecvenței de rezonanță pentru rezonatorul sub influența unor perturbații.

2. Capitolul 2 se referă la un model discret simplificat pentru studiul teoretic al comportării cristalului de cuarț supus unor perturbații neuniform distribuite in spațiu. Modelul, spre deosebire de modelele existente, care consideră cristalul de cuarț ca un mediu continuu, este construit pe baza de mase concentrate și resoarte ideale, oferind astfel o structură spațială necesară abordării influenței perturbațiilor distribuite neomogen in spațiu asupra rezonatorului de cuarț. Autorul prezintă o metodă de calcul a variației frecvenței de rezonanță la aplicația unei perturbații foarte mici, bazată pe teoria perturbațiilor, fără a fi necesară calcularea frecvențelor de rezonanță pentru sistemul perturbat.

Modelul astfel realizat este utilizat pentru a analiza comportarea rezonatorului de cuarț la încălzirea neuniformă a suprafeței de oscilație cu un fascicul laser sau cu o sursă de radiații infraroșii, precum și la atingerea suprafeței de oscilație cu un fir elastic subțire. Modelul discret utilizat este capabil să ofere in primul rând o apreciere calitativă asupra comportării rezonatorului de cuarț in ceea ce privește modificarea frecvenței de rezonanță.

Programele de calcul pentru simularea comportării rezonatorului de cuarț elaborate pe baza modelului sus amintit au fost reali-

zate utilizând produsul software "Matlab" și au fost rulate pe un calculator IBM PC-AT. Rezultatele simulărilor sunt prezentate într-o formă grafică sugestivă fiind ușor de utilizat în practică.

Modelul discret dezvoltat de autor este comparat cu modelele teoretice existente subliniindu-se gradul ridicat de generalizare, faptul că este ușor de aplicat la studiul mai multor tipuri de perturbații ce acționează asupra rezonatorului, cât și simplitatea acestuia și de aici utilitatea lui în studiul acestui tip de senzori piezoelectricei.

Autorul prezintă și un model termic al rezonatorului cu cuarț ce funcționează în atmosferă deschisă, pe baza căruia se calculează gradientul de temperatură care se stabilește într-o placă de cuarț la iluminarea acesteia cu un fascicul laser de mică putere. Modelul explică variațiile frecvenței de rezonanță ca apar la iluminarea suprafeței de oscilație cu un fascicul laser.

3. Capitolul 3 prezintă rezultatele experimentale în ceea ce privește studiul rezonatoarelor de cuarț în tăietură AT supuse unor perturbații neuniform distribuite pe suprafața de oscilație.

3.1. Experiențele au fost efectuate pe mai multe rezonatoare de cuarț de diferite dimensiuni și cu diferite frecvențe de rezonanță. Pentru excitarea modului de rezonanță dorit autorul a realizat o schemă originală de oscilator care permite comutarea frecvențelor de rezonanță din modul fundamental pe un mod superior prin telecomandă. Oscilatorul este realizat pe baza amplificatorului de bandă largă LM733.

3.2 Se prezintă modificarea frecvenței de rezonanță pentru rezonatorul cu cuarț în tăietură AT la încălzirea uniformă.

3.3. La iluminarea suprafeței cristalului de cuarț cu un fascicul laser frecvența de rezonanță a acestuia se modifică prin apariția unui salt pozitiv de frecvență. Variația frecvenței de rezonanță este de semn contrar celei care apare la încălzirea uniformă a plăcii de cristal de cuarț în tăietură AT. Variația frecvenței de rezonanță se datorează gradientului termic realizat în placa de cristal de cuarț prin iluminarea locală cu laser. În acest capitol se încearcă o primă abordare sistematică a acestui fenomen fizic

care este menționat sporadic în literatura de specialitate.

În paragraful 3.3.1. se prezintă instalația experimentală realizată de autor împreună cu mântura mecanică, care permite poziționarea precisă a fasciculului laser pe suprafața rezonatorului de cuarț.

3.3.2. Primul set de experiențe pun în evidență relația dintre puterea și lungimea de undă a fasciculului laser și variația frecvenței de rezonanță a cristalului de cuarț la iluminarea acestuia în zona centrală. Experiențele au fost efectuate cu laseri cu He-Ne cu lungimea de undă de 632.8 nm și laser de Argon cu lungimea de undă de 501.7 nm de putere joasă. Puterea fasciculului laser este reglată cu ajutorul unui polarizor în domeniul 0-10mW. Pentru efectuarea experiențelor s-a utilizat un set de rezonatoare de cuarț de diferite frecvențe de rezonanță și de diferite dimensiuni.

Pentru toate aceste rezonatoare de cuarț s-a constatat o relație liniară între modificarea frecvenței de rezonanță cu puterea fasciculului laser. Variația relativă a frecvenței de rezonanță depinde de materialul care este utilizat pentru depunerea electrozilor pentru rezonatorul de cuarț, și de grosimea electrozilor. Pentru un fascicul laser cu lungimea de undă de 632.8nm la o putere de 10mW se obține o variație relativă de frecvență pentru setul de rezonatoare de cuarț utilizat cuprins între $2,54 - 2,71 \cdot 10^{-6}$ raportat la frecvența de rezonanță, iar pentru laserul cu Ar se obțin în aceleași condiții o variație de frecvență de $4,13 - 4,83 \cdot 10^{-6}$. Diferențele apar datorită coeficientului de reflexie al Ag din care sunt realizați electrozii, care depinde de lungimea de undă a lumii incidente pe suprafața rezonatorului.

Dacă se înlătură electrodul în zona centrală a rezonatorului pe o porțiune circulară cu un diametru de 5mm, la iluminarea directă pe cristalul de cuarț nu mai există diferențe între variațiile de frecvență la iluminarea cu fascicule laser cu lungimi de undă diferite. Aceasta experiență demonstrează că efectul se datorează gradientului de temperatură instalat în placa de cuarț și nu este un fenomen fizic legat de electrod. Calculul teoretic demonstrează relația liniară dintre variația frecvenței de rezonanță și puterea

laserului. Dacă suprafața de oscilație se acoperă cu un strat fotoabsorbant la aceeași putere a fascicului incident se obține o variație mai mare a frecvenței de rezonanță, iar aceasta variație nu depinde de lungimea de undă a radiației laser incidente.

3.3.3. Experiența prezentată asigură iluminarea cristalului de cuarț pe ambele suprafețe cu două fascicule laser de aceeași lungime de undă și de putere variabilă, dar astfel încât suma puterilor celor două fascicule să fie constantă. La iluminarea succesivă a cristalului pe o față și pe alta suma variațiilor frecvenței de rezonanță este constantă, ceea ce dovedește că nu este vorba de un efect de electrod.

3.3.4. La iluminarea cu două fascicule laser de aceeași lungime de undă pe o singură față a cristalului de cuarț se constată că suma variațiilor frecvenței de rezonanță la iluminarea cu câte un fascicul în parte este egală cu variația frecvenței de rezonanță la iluminarea cu ambele fascicule concomitent.

3.4. În acest paragraf se prezintă modificarea frecvenței de rezonanță pentru un rezonator cu cuarț în tăietură AT la încălzirea neuniformă a suprafeței sale cu o sursă de radiații în infraroșu.

3.4.1. Se prezintă instalația experimentală pentru măsurarea modificării frecvenței de rezonanță la încălzirea locală în zona centrală a rezonatorului de cuarț. Încălzirea locală se face cu radiații infraroșii cu ajutorul unei sonde formată dintr-un fir de nichelină parcurs de un curent electric. Variația frecvenței de rezonanță prezintă un salt pozitiv ce are o variație pătratică în raport cu intensitatea curentului electric ce trece prin sondă. Rezultatele experimentale confirmă relația liniară existentă între puterea termică furnizată plăcii și variația frecvenței de rezonanță.

Prin realizarea unor holograme cu dublă expunere se pune în evidență că, în acest caz datorită încălzirii plăcii de cristal de cuarț și a suportului metalic, apar și rotiri ale cristalului de cuarț și ale monturii.

3.5.1. Se prezintă instalația experimentală pentru măsurarea

modificării frecvenței de rezonanță a unei plăci de cuarț la atingerea suprafeței de rezonanță cu un fir elastic subțire. Autorul arată că modificarea frecvenței de rezonanță pentru un fir elastic depinde de poziția firului pe suprafața de oscilație și de forța cu care este apăsat firul elastic pe placa de cuarț.

3.6.1. Timpul de răspuns la aplicarea unei perturbații, care reprezintă intervalul de timp necesar pentru obținerea unei valori stabile pentru frecvența de rezonanță la aplicarea perturbației, este măsurat cu ajutorul unei instalații de măsură ce conține un demodulator de frecvență și un inregistrator X-Y. Pentru un rezonator de cuarț cu frecvența de rezonanță de 6.8MHz iluminat cu un fascicul laser cu puterea de 10mW timpul de răspuns este de 0.9s. Aceasta valoare este mai mare decât cea raportată în literatura de specialitate de aprox. 70-90 ms[27] deoarece cristalul de cuarț oscilează în atmosferă deschisă, ceea ce duce la mărirea inerției sale termice.

4. Capitolul 4 prezintă o metodă originală de investigare a distribuției amplitudinii de oscilație pentru rezonatoare de cuarț în tăietură AT, utilizând un fascicul laser. Informația privind distribuția amplitudinii de oscilație este necesară în proiectarea și realizarea senzorilor pe bază de cristale de cuarț, deoarece zonele de sensibilitate maximă pentru senzor sunt chiar zonele cu amplitudine maximă de oscilație.

4.1. Se face o scurtă prezentare a metodelor de investigare a distribuției amplitudinilor de oscilație menționate în literatura de specialitate. Metodele de investigare necesită o aparatură de laborator complexă. Pentru fiecare din aceste metode se face o prezentare a principiului fizic de realizare cât și rezultate experimentale oferite de autori.

4.2. Metoda de investigare a distribuției amplitudinii de oscilație propusă de autor se bazează pe modificarea frecvenței de rezonanță la iluminarea unui rezonator de cuarț cu un fascicul laser. Modelul teoretic arată cum variația frecvenței de oscilație a rezonatorului de cuarț depinde de poziția fascicului laser de-a lungul diametrului rezonatorului de cuarț.

Experimental autorul a realizat o instalație de ridicat harta distribuției amplitudinilor de oscilație pe suprafața unui rezonator de cuarț. Baleierea suprafeței de oscilație cu fasciculul laser se face în două variante: fie prin modificarea poziției cristalului de cuarț cu ajutorul a mai multor mase micrometrice cu ajutorul monturii mecanice prezentate în capitolul 3, fie cu un sistem de deflexie a fasciculului realizat cu un dispozitiv cu oglinzi. Sistemul de deflexie a fasciculului laser cu ajutorul oglinzilor este similar celui folosit în construcția galvanometrelor având avantajul unei comenzi simple a poziționării spotului pe suprafața oscilantă, comandă ce se realizează în curent continuu și care se pretează la automatizarea instalației. Un calculator de tip IBM PC-AT controlează modificarea poziției spotului laser pe suprafața rezonatorului și prelucrează informația privind modificarea frecvenței de rezonanță a cristalului. Același calculator poate comanda fie modul de rezonanță fundamental fie modul de rezonanță pe armonică a treia pentru cristalul de cuarț.

Experiențele au permis ridicarea hărții distribuției amplitudinilor de oscilație la suprafața unor rezonatoare de cuarț oscilând în modul de rezonanță fundamental sau pe armonică a treia.

5. În capitolul 5 autorul face un studiu al modificării variației de frecvență la încărcarea masică neuniformă a rezonatoarelor de cuarț. Pentru a aprecia uniformitatea încărcării masice autorul propune utilizarea informației oferite de armonicile superioare posibil a fi excitate pentru un rezonator dat.

Autorul arată că dacă încărcarea masică este uniform realizată atunci raportul dintre frecvența de rezonanță pe armonică a treia sau alt mod overton și frecvența de rezonanță pentru modul fundamental rămâne constant. La o încărcare neuniformă valoarea acestui raport se modifică. Autorul arată de asemenea că această modificare depinde de gradul de neuniformitate al masei depusă suplimentar, de pozițiile pe suprafața de oscilației a acumulărilor masei suplimentare cât și de distribuția spațială al masei suplimentare. Relația dintre cantitatea de masă depusă suplimentar și variația frecvenței de rezonanță se modifică în funcție de factorii care caracterizează

uniformitatea depunerii.

Cu cât este posibil a se cunoaște variația frecvenței de rezonanță la încărcarea masică neuniformă a mai multor moduri superioare de oscilație cu atât informația despre neuniformitatea depunerii suplimentare de masă pe suprafața de oscilație este mai completă. Modurile superioare de oscilație având mai multe zone de amplitudine maxime locale de oscilație repartizate pe suprafața rezonatorului aduc mai multă informație despre masa suplimentară depusă în acele zone.

Se prezintă și rezultate experimentale pentru aprecierea gradului de neuniformitate la depunere de masă suplimentară pe suprafața cristalului de cuarț.

* * *

În concluzie studiul modificării frecvenței de rezonanță pentru cristalele de cuarț în tăietură AT la aplicarea unor perturbații externe distribuite neuniform pe suprafața de oscilație este o etapă necesară pentru proiectarea de senzori funcționând în regim rezonant. Noile metode introduse în această lucrare fundamentate teoretic și demonstrate practic permit trasarea hărții distribuției amplitudinii de oscilație la suprafața cristalului de cuarț precum și aprecierea gradului de uniformitate pentru depunerile suplimentare de masă pe suprafața oscilantă.

BIBLIOGRAFIE

1. Abramson I.V., Dikidzhi A.N., Improvement of characteristics of quartz resonator-thermostate with direct heating piezoelement, IEEE Freq.Con.Symp., 1992
2. Anot A., Elemente de matematici pentru inginerii din electrotehnică și telecomunicații, Editura Tehnica, 1965
3. Ballato A., Static and dynamic behavior of quartz resonators, IEEE Trans. on sonics and ultrason., Vol SU-26, No.4 1979
4. Bauer S.M., Filippov S.B., Semenov B.N., Tovstik P.E., Vorokhovskiy Y.L., The effect of the temperature on the vibration frequencies of plane-convex plate of quartz resonators, IEEE Freq. Cont.Symp., 1992
5. Beiu I., Sooss E., Teodorescu P.P., Tehnici de calcul tensorial euclidian cu aplicații, E.T.București 1977
6. Bellman R., Introducere în analiza matriceală, Ed.Tehnică, București, 1969
7. Benes E., Improved quartz crystal microbalance technique, J.Appl.Phys. 56(3), 1984
8. Berlincourt D., Piezoelectric crystals and ceramics, ultrasonics transducers materials, Plenum Press, New-York, 1971
9. Bottom V.E., Introduction to quartz crystal unit design, VVan Nostrad Reinhold Company, 1982
10. Brendel R., Material nonlinear piezoelectric coefficients for quartz, J.Appl.Phys. 54, 1983
11. Brugger K., Pure modes for elastic waves in crystals, J.Appl.Phys. 36 (3), 1965
12. Brugger, Determination of third-order elastic coefficients in

crvstals, J.Appl.Phvs. 36(3), 1965

13. Budura A., Metode de investigație a distribuției amplitudinilor de oscilație pe suprafața unui cristal de cuarț în tăietură AT, utilizate în proiectarea senzorilor, Metrologie 4 , 1992
14. Budura A., Măsurarea constantelor de material pentru cristale și ceramici piezoelectrice, Referat în cadrul pregătirii pt. doctorat 1991
15. Budura A., Metode de măsurare a forțelor și presiunilor cu transductoare piezoelectrice, Referat în pregătirii pentru doctorat, 1992
16. Budura A., Model pentru oscilația unui cristal cu cuarț în tăietură AT utilizat pentru studiul senzorilor, Seminar de măsurări, 1992
17. Burgoon R.J., Wilson R.L., SC-cut quartz oscillator offers improved performance, H-P Journal , March 1981
18. Buzdugan Gh., Fetcu L., Radeș M., Vibrații mecanice, E.D.P. București 1982
19. Cabelle B., Dedaint J., Schwartzel J., Zheng Y., Zarka A., Lateral field excitation and coupled modes in AT quartz: synchrotron radiation X-ray topography, IEEE Freq.Cont.Symp., 1992
20. Chengghao W., Zheyng Z., Principle of piezoelectric-tunable transducer, Chinese J. Acoust. 2(1), 1983
21. Collier R.J., Burckarhaed B.C., Lin H.L., Optical holography, Academic Press, 1971
22. Crawford F.S., Unde , Curs de fizică la Berkeley, E.D.P. 1983
23. Crișan S., Breabăn F., Budura A., Masurarea interferometrică a amplitudinii de deplasare a transductoarelor piezoelectrice, Simpozionul Național de Laseri, 1991
24. Cucurezeanu I. și alții, Aplicații ale holografiei optice, Ed. Tehnică, București, 1984
25. Djagupov R.G., Erofeev A.A., Piezokeramice elementii v priborostroenii i avtomatike, Leningrad, 1986
26. Dybwad G.L., A sensitive new method for the determination of adhesive bonding between a particle and substrate, J.Appl.-

- Phys. 58(7), 1985
27. EerNisse E.P., Calculations on the stress compensated (SC-cut) quartz resonator. Proceedings of the 30th Annual Frequency Cont.Symposium
 28. EerNisse E.P., Quartz resonator frequency shifts arising from electrode stress. Proceedings of the 30th Annual Frequency Cont.Symposium
 29. EerNisse E.P., Transducteur de force à résonateur de quartz miniature. Brevet d'invention 8008643.1980
 30. Gagnepain J.J., Acoustic resonance techniques for temperature, stress and impurity characterization in piezoelectric materials. Phil.Trans.R.Soc.Lond. A320 1986
 31. Hiummady M., Hauden D., Elastic plate mode sensitivitesto mass loading applications to gas sensors. Proceedings of the 6th European Freq.Time Forum , 1992
 32. Holland R., EerNisse E.P., Design of rezonant piezoelectric devices. Research Monograph 56 MIT Press, 1969
 33. Hruska C.K., The electroelastic tensor of quartz determined by the resonator method. J.Appl.Phys.68(1), 1990
 34. Ikegami S., Ueda I., Kobayashi S., Frequency spectra of resonant vibration in disk plates of PbTiO₃ piezoelectric ceramics. J.-Acoust. Soc.Am.Vol.55.No.2.1974
 35. Jeludev I.S., Cristale electrice, Editura Tehnică, București 1973
 36. Kittinger E., Tichy J., Fiedel W., Comments on material nonlinear piezoelectric coefficients for quartz. J.Appl.Phys. 56 , 1984
 37. Kittinger E., Tichy J., Friedel W., Nonlinear piezoelectricity and electrostriction of alpha quartz. J.Appl.Phys., 60(4), 1986
 38. Klinakhachorn p., Huner B., Overton E.B., Dharmasena H.P., Gus towski P.A., Microprocessor-based piezoelectric quartz microbalance system for compound-specific detection. IEEE Trans.on Instr. and Meas. 39(1), 1990
 39. Lee P.C.Y., Electromagnetic radiation from AT-cut quartz plate

- under lateral-field excitation, *J. Appl. Phys.* 65(4), 1989
40. Lee P.C.Y., Gao X., Tang M.S.H., Coupled and energy-trapped thickness vibrations in piezoelectric crystal plates, *J. Apply. Phys.* 63(6), 1988
 41. Lee P.C.Y., Yong Y.K., Temperature derivatives of elastic stiffness derived from the frequency-temperature behavior of quartz plates., 56(5), 1984
 42. Lee P.C.Y., Yong Y.K., Frequency-temperature behavior of thickness vibrations of doubly rotated quartz plates affected by plate dimensions and orientations, *J. Appl. Phys.* 60(7), 1986
 43. Lee P.C.Y., Zelenka J., The frequency temperature dependence of coupled extensional, flexural, and width-shear vibrations of rotated X-cut quartz plates, *J. Appl. Phys.*, Vol. 43(8), 1972
 44. Lu C., Czanderna A.W., (Editor), Applications of piezoelectric quartz crystal microbalances, Elsevier, 1984
 45. Martin B.A., Hager H.E., Flow profile above a quartz crystal vibrating in liquid, *J. Appl. Phys.* 65(7), 1989
 46. Martin B.A., Hager H.G., Velocity profile on quartz crystals oscillating in liquids, *J. Appl. Phys.* 65(7) 1989
 47. Mateescu I., Candet E., Non-uniform distribution of motion influence on the effective mass-loading in AT-cut quartz resonators, *IEEE Freq. Cont. Symp.*, 1992
 48. Mason W.P., Piezoelectric crystals and their application to ultrasonics, D. Van Nostrand, 1950
 49. Masov V.V., Piezorezonanciie datuiki, Moskva Dznevtomizdat, 1989
 50. Mayer-Komor P., Target thickness measurements with quartz crystal sensors of the third generation, *Nuclear Instruments and Methods in Physics Research A236*, 1985
 51. McSkimin H.J., Andreatch P., Thurston R.N., Elastic moduli of quartz versus hydrostatic pressure at 25°C and -185°C, *J. Appl. Phys.* 36(1), 1965
 52. Mecea V., A new method of measuring the mass sensitive areas of crystal resonators, *J. Phys. E: Sci. Instrum.* 22, 1989
 53. Mecea V., Bucur V., The mechanism of the interaction of thin

- films with resonating quartz crystal substrates: the energy transfer model. *Thin Solid Films*, 60, 1979
54. Mecea V., Bucur V., Indrea E., On the possibility of thin film structure study with a quartz crystal microbalance. *Thin Solid Films* 171, 1989
 55. Mecea V., Ghețe P., Termocompensated ultrasonic hydrogen detector. *Int. J. Hydrogen Energy*, Vol. 9(10), 1984
 56. Mindling R.D., High frequency vibrations of crystal plates. *Quart. Appl. Math.* 19, 1961
 57. Mindlin R.D., Cooper H.L., On the equations of extensional motion of crystal plates. *Quart. Appl. Math.*, 19, 1961
 58. Mindlin R.D., Spencer W.J., Anharmonic thickness-twist overtones of thickness-shear and flexural vibrations on rectangular AT-cut quartz plates. *J. Acoust. Soc. AM.* 42(6) 1967
 59. Nakazawa M., Ballato A., Lukaszek T., Studies of stress compensated quartz resonators with ultralinear frequency - temperature responses. *J. Appl. Phys.* 60(10) 1986
 60. Newnham E.R., Piezoelectric sensors and actuators: smart materials. *IEEE Freq. Cont. Symp.*, 1992
 61. Nye J.F. *Proprietes physiques des cristaux*. Dunod, Paris 1962
 62. Once M., Tiersten H.F., Meitzler A.H., Shift in the location of resonant frequencies caused by large electromechanical coupling in thickness-mode resonators. *J. Acoust. Soc. Am.* 35(1), 1964
 63. OstrovsKy Yu. I., *Holography and its application*. Mir Publishers, Moscow, 1977
 64. Pulker H.K., Benes E., Hammer D., Söllner, Progress in monitoring thin film thickness with quartz crystal resonators. *Thin Solid Films* 32, 1976
 65. Sauerbrey G., Einfluss der elektrodenmasse auf die schwingungsfiguren dünner schwingquarzplatten. *A. E. U. Band* 18, 1964
 66. Sauerbrey G., Amplituden verteilung und elektrische Ersatzdaten von Schwingquarzplatten (AT-Schitt). *A. E. U. Band* 18, 1964
 67. Sigelman A.R., Caprihan A., Design method for ultrasound transducers using experimental data and computers. *J. Acoust. -*

- Soc. Am. 62(6), 1977
68. Sinha B.K., Tiersten H.F., First temperature derivatives of the fundamental elastic constant of quartz, J. Appl. Phys. 50(4), 1979
 69. Stevens D.S., Tiersten H.F., Sinha B.K., Temperature dependence of the resonant frequency of electroded contoured AT-cut quartz crystal resonators, J. Appl. Phys. 54(4), 1983
 70. Tatsumi Y., Ohsaki H., Densimetry of amorphous silicon films by using a quartz oscillator, Jap. J. Appl. Phys. 25(8), 1986
 71. Teodorescu P.P., Probleme actuale in mecanica solidelor, Ed. Academiei, Bucuresti, 1977
 72. Thorston R.N., McSkimin H.J., Andreatch P., Third-order elastic coefficients of quartz, J. Appl. Phys. 36(1), 1966
 73. Tiersten H.F., Thickness vibrations of piezoelectric plates, J. Acoust. Soc. 35(1), 1963
 74. Tiersten H.F., Mindlin R.D., Forced vibrations of piezoelectric crystal plates, Quart. Appl. Math., 20, 1962
 75. Tiersten H.F., Linear piezoelectric plate vibrations, Plenum Press, New York, 1969
 76. Tiersten H.F., Sinha B.K., A perturbation analysis of the attenuation and dispersion of surface waves, J. Appl. Phys. 43(1), 1978
 77. Tiersten H.F., Perturbation theory for linear electroelastic equations for small fields superposed on bias, J. Acoust. Soc. Am. 64(3), 1978
 78. Tiersten H.F., Sinha B.K., Temperature dependence of the resonant frequency of electroded doubly-rotated quartz thickness mode resonators, J. Appl. Phys. 50(3) 1979
 79. Tiersten H.F., Shick D.V., On normal acceleration sensitivity of contoured quartz resonators rigidly supported along rectangular edges, J. Appl. Phys., 67(1), 1989
 80. Tiersten H.F., Smythe R.C., An analysis of contoured crystal resonators operating in overtones of coupled thickness shear and thickness twist, J. Acoust. Soc. Am. 65(6), 1979
 81. Tiersten H.F., Stevens D.S., Sinha B.K., Temperature dependence

- of resonant frequency of electrode contoured AT-cut quartz crystal resonators. *J.Appl.Phys.* 54(4)
82. Tiersten H.F., Zhon Y.S., The increase in the in plane acceleration sensitivity of the plano-convex resonator resulting from its thickness asymetry, *J.Appl.Phys.* 72(4) 1992
 83. Tomikawa Y., Sugawara S., Konno M., Characteristics of a quartz crystal tuning fork by finite element analysis, *Trans. IECE Japan* E63(3), 1980
 84. Turnham B.D., Yee L.K., Luoma G.A., Coated piezoelectric quartz crystal monitor for determination of propylene glycol dinitrate vapor levels, *Analytical Chemistry*, Vol.57, 1985
 85. Valentin J.P., Thermal gradient distributions in trapped energy quartz resonators, *J.Appl.Phys.* 57(2), 1985
 86. Valentin J.P., Theobald G., Gagnepain J.J., Frequency shifts arising from in-plane temperature gradient distribution in quartz resonators, 38th annual Freq.Cont.Symp. 1984
 87. Valentin J.P., Theobald G., Gagnepain J.J., Temperature-induced frequency shifts in quartz resonators, *J.Appl.Phys.* 58(3), 1985
 88. Vest C.M., *Holographic interferometry*, John Wiley & Sons, 1979
 89. Weiner H.J., Eoley B.A., *Theory of thermal stresses* John Wiley & Sons, 1951
 90. Wimmer L., Hertl S., Hemetsberger J., Benes E., New method of measuring vibration amplitudes of quartz crystals, *Rev.Sci.-Instrum.* 55(4), 1984
 91. Witte A.R., Daniels W.J., An advanced 5 Hz to 200MHz network analyser, *H-P Journal*, 1984
 92. Zhang Q.M., Pan W.Y., Cross L.E., Laser interferometer for the study of pezoelectric and electrostrictive strains, *J.Appl.Phys.* 63(8), 1988
 93. Zelenka j., *Piezoelectric resonators and their applications*, Academia Prague, 1986
 94. Zhon Y.S., Tiersten H.F., On the normal acceleration sensitivity of contoured quartz resonators stiffened by quartz cover plates supported along rectangular edges, *J.Appl.Phys.*

50(4), 1979

95. * * * Handbook of Chemistry and Physics, 64-th edition, 1983 - 1984, CRC Press.
96. Siemens, Memoratorul inginerului electrician, Editura Tehnică București

ANEXA 1

Matricea elasto-piezo-dielectrică pentru cristalul de cuarț.

$$\begin{array}{cccccc|ccc}
 C_{11} & C_{12} & C_{13} & C_{14} & 0 & 0 & e_{11} & 0 & 0 \\
 C_{12} & C_{11} & C_{13} & -C_{14} & 0 & 0 & -e_{11} & 0 & 0 \\
 C_{13} & C_{13} & C_{33} & 0 & 0 & 0 & 0 & 0 & 0 \\
 C_{14} & -C_{14} & 0 & C_{44} & 0 & 0 & e_{14} & 0 & 0 \\
 0 & 0 & 0 & 0 & C_{44} & C_{14} & 0 & -e_{14} & 0 \\
 0 & 0 & 0 & 0 & C_{14} & C_{66} & 0 & -e_{11} & 0 \\
 \hline
 e_{11} & -e_{11} & 0 & e_{14} & 0 & 0 & \xi_{11} & 0 & 0 \\
 0 & 0 & 0 & 0 & -e_{14} & -e_{11} & 0 & \xi_{11} & 0 \\
 0 & 0 & 0 & 0 & 0 & 0 & 0 & 0 & \xi_{33}
 \end{array}$$

ANEXA 2

Constantele de material implicate în ecuațiile piezoelectrice de stare.

Grup de constante	Constanta	Descriere și definiție	Unități de măsură
Termice	căldura specifică	$C = (\Theta/\rho) (\partial\rho/\partial\Theta)$	$J\ kg^{-1}\ K^{-1}$
Elastice	Maleabilitate elastică	$s\lambda_{ii} = \partial S\lambda / \partial T\lambda_{ii}$	$m^2\ N^{-1}$
	constanta elastică	$c\lambda_{ii} = \partial T\lambda / \partial S\lambda_{ii}$	$m^{-2}\ N$
Dielectrice	Permitivitate	$\epsilon_{ik} = \partial D_i / \partial E_k$	$m^{-1}\ F$
	Impermeabilitate	$\beta_{ik} = \partial E_i / \partial D_k$	$m\ F^{-1}$
Piezoelectrice	Constantă piezoelectrică de deformare	$d_{i1}\lambda = \partial D_i / \partial S\lambda = \partial S\lambda / \partial E_i$	$C\ N^{-1},\ V^{-1}m$
	Constantă piezoelectrică de deformare	$g_{i1}\lambda = -\partial E_i / \partial T\lambda = \partial S\lambda / \partial D_i$	$m^2\ C^{-1}$
	Constantă piezoelectrică de tensiune	$h_{i1}\lambda = -\partial E_i / \partial S\lambda = -\partial T\lambda / \partial D_i$	$V\ m\ N^{-1}$
	Constantă piezoelectrică de tensiune	$e_{i1}\lambda = \partial D_i / \partial S\lambda = -\partial T\lambda / \partial E_i$	$C^{-1},\ V\ m^{-1}$

Piezoelectric	Coefficient piezoelectric	$d_{11} = \frac{\partial D_1}{\partial E_1} = \frac{\partial \sigma}{\partial E_1}$	$C \cdot m^{-2} \cdot K^{-1}$
	Coefficient piezoelectric	$\pi_{11} = - \frac{\partial E_1}{\partial \theta} = \frac{\partial \sigma}{\partial D_1}$	$V \cdot m^{-1} \cdot K^{-1}$
	Modul piezoelectric	$q_{11} = - \frac{\partial E_1}{\partial \theta} \frac{\partial \sigma}{\partial D_1} = - \frac{\partial \theta}{\partial D_1}$	$m^2 \cdot C^{-1}$
	Modul piezoelectric	$\rho_{11} = \frac{\partial D_1}{\partial \theta} = - \frac{\partial \theta}{\partial E_1}$	$V^{-1} \cdot m$

ANEXA 3

Program pentru calculul gradientului de temperatură ce se formează într-o placă de cuarț iluminată în zona centrală cu un fascicul laser.

```
p=105;   puterea pe unitatea de volum transferată de laser
          cuarțului în zona încălzită [w/m3]
R=0.001; raza discului decuarț [m]
a=8;     conductivitatea termică a cristalului de cuarț [W/m K]
[1,r]=meshdom (-R:0.001:R,-R:0.001:R)
z=(p/a).*(r.^2).*(abs(r)/(9*R)-1/4)+(p/a)*(5*(R^2)/36)
plot(r,z); gradientul de temperatura de-a lungul diametrului
pause
s=sqrt(z)
y=sqrt((p/a).*(1.^2).*(abs(1)/(9*R)-1/4)+(p/a)*(5*(R^2)/36))
h=(s.*y)
mesh(h)
pause
```

ANEXA 4

Program pentru calculul coeficientului pătratic de variație cu temperatura a constantei C_{ea} pentru cristalele de cuarț în tăietură AT.

```
%program pentru calculul coeficientului de temperatură
x=-36.00000;    unghiul de la care se pornește algoritmul de
                iterație pentru calculul variației de ordinul întâi
                minime a coeficientului Cea cu temperatură
tf=10-5        ; constante de material și variațiile lor cu
                temperatura
t442=-216*10^(-9)
t662=118*10^(-9)
t142=-48*10^(-9)
e1=13.71*10^(-6)
e3=7.48*10^(-6)
r=-34.92*10^(-6)
c44=57.94*10^9
t44=-157.4*10^(-6)
l66=39.88*10^9
t66=187.6*10^(-6)
c14=-17.91*10^9
t14=117*10^(-6); algoritm de iterație pentru calculul unghiului
                tăieturii AT
    while tf>10^(-12)
        x=x-10^(-1)
        a=(pi/180)*x
        c=cos(a)
        s=sin(a)
        c661= c44*(s^2)+2*c14*s*c+166*(c^2)
t661=((s^2)*c44+t44+(c^2)*166+t66+2*s*c*c14*t14)/c661
        e=e1*(c^2)+e3*(s^2)
        tf=-e+t661/2+r/2
        k=x
        pause
    end
    while tf<10^(-12)
        x=x+10^(-2)
        a=(pi/180)*x
        c=cos(a)
        s=sin(a)
        c661=c44*(s^2)+2*c14*s*c+166*(c^2)
t661=((s^2)*c44+t44+(c^2)*166+t66+2*s*c*c14*t14)/c661
        e=e1*(c^2)+e3*(s^2)
```

```

        tf=-e+t661/2+r/2
        k=x
        pause
    end
    while tf>10(-12)
        x=x-10(-3)
        a=(pi/180)*x
        c=cos(a)
        s=sin(a)
        c661=c44*(s2)+2*c14*s*c+166*(c2)
t661=((s2)*c44*t44+(c2)*166*t66+2*s*c*c14*t14)/c661
        e=e1*(c2)+e3*(s2)
        tf=-e+t661/2+r/2
        k=x
        pause
    end
    while tf<10(-12)
        x=x+10(-4)
        a=(pi/180)*x
        c=cos(a)
        s=sin(a)
        c661=c44*(s2)+2*c14*s*c+166*(c2)
t661=((s2)*c44*t44+(c2)*166*t66+2*s*c*c14*t14)/c661
        e=e1*(c2)+e3*(s2)
        tf=-e+t661/2+r/2
        k=x
        pause
    end
    while tf>10(-12)
        x=x-10(-5)
        a=(pi/180)*x
        c=cos(a)
        s=sin(a)
        c661=c44*(s2)+2*c14*s*c+166*(c2)
t661=((s2)*c44*t44+(c2)*166*t66+2*c*s*c14*t14)/c661
        e=e1*(c2)+e3*(s2)
        tf=-e+t661/2+r/2
        k=x
        pause
    end
    pause
t662=((s2)*c44*t442+(c2)*166*t662+2*s*c*c14*t142)/c661
; Calculul coeficientului de variație pătratic cu
temperatura a lui Cae

```

ANEXA 5

Program pentru simularea modificării frecvenței de rezonanță pentru un rezonator cu cristal de cuarț la încălzirea locală a suprafeței de oscilație cu un fascicul laser

```
n=7 : numărul de mase concentrate al modelului
w=10^14 : pătratul frecvenței de rezonanță dorite
d=1 : calculul unei mase concentrate și al
coeficientului de elasticitate al unui resort
ideal pentru respectarea caracteristicii
tăieturii AT

l=(1+1/n)^2
h=0.1*1*n*d*w
s=2*h
m=d/n
e=2*10^(-5)*0.5*0.5
pause
u=h : configurarea gradientului dorit pentru
perturbația introdusă de fasciculul laser

p=0
p1=-u/4
p2=-u*3/4
p3=-u*5/4
p4=-u*7/4
p5=-2*u
q=0
q1=-u/4
q2=-u/2
q3=-u*3/4
q4=-u
l1=1*n*n*0.1*w*2
m1=(p1)/l1
m2=(p2)/l1
m3=(p3)/l1
m4=(p4)/l1
m5=(p5)/l1

K=[s -h 0 0 0 0 0 :
-h s -h 0 0 0 0 :
0 -h s -h 0 0 0 :
0 0 -h s -h 0 0 :
0 0 0 -h s -h 0 :
0 0 0 0 -h s -h :
0 0 0 0 0 -h s]
```

```

M=[m 0 0 0 0 0 0 ;
   0 m 0 0 0 0 0 ;
   0 0 m 0 0 0 0 ;
   0 0 0 m 0 0 0 ;
   0 0 0 0 m 0 0 ;
   0 0 0 0 0 m 0 ;
   0 0 0 0 0 0 m]
N=inv(M)
A=K*N
[V,D]=eig(A)
Y0=[D(3,3)^(1/2)    D(2,2)^(1/2)    D(1,1)^(1/2)    D(4,4)^(1/2)
     D(5,5)^(1/2) D(6,6)^(1/2) D(7,7)^(1/2)]
plot(Y0)           : frecvențele de rezonanță ale sistemului
                   neperturbat

pause *
T=V'               : calculul variației de frecvență de rezonanță
                   pentru sistemul perturbat

S1=[p5 -q4 0 0 0 0 0 ;
     -q4 p4 -q3 0 0 0 0 ;
     0 -q3 p3 -q2 0 0 0 ;
     0 0 -q2 p2 -q1 0 0 ;
     0 0 0 -q1 p1 0 0 ;
     0 0 0 0 0 0 0 ;
     0 0 0 0 0 0 0]
N1=[m5/(m^2) 0 0 0 0 0 0 ;
     0 m4/(m^2) 0 0 0 0 0 ;
     0 0 m3/(m^2) 0 0 0 0 ;
     0 0 0 m2/(m^2) 0 0 0 ;
     0 0 0 0 m1/(m^2) 0 0 ;
     0 0 0 0 0 0 0 ;
     0 0 0 0 0 0 0]
B1=S1*N-K*N1
D1=T*(B1*V)
for i=1:7
d1(i,i)=e*sign(D1(i,i))*((D1(i,i)^2)^(1/4)),end
S2=[p4 -q4 0 0 0 0 0 ;
     -q4 p5 -q4 0 0 0 0 ;
     0 -q4 p4 -q3 0 0 0 ;
     0 0 -q3 p3 -q2 0 0 ;
     0 0 0 -q2 p2 -q1 0 ;
     0 0 0 0 -q1 p1 0 ;
     0 0 0 0 0 0 0]
N2=[m4/(m^2) 0 0 0 0 0 0 ;
     0 m5/(m^2) 0 0 0 0 0 ;
     0 0 m4/(m^2) 0 0 0 0 ;
     0 0 0 m3/(m^2) 0 0 0 ;
     0 0 0 0 m2/(m^2) 0 0 ;
     0 0 0 0 0 m1/(m^2) 0 ;
     0 0 0 0 0 0 0]
B2=S2*N-K*N2
D2=T*(B2*V)
for i=1:7

```

```

d2(i,i)=e*sign(D2(i,i))*((D2(i,i)^2)^(1/4)),end
S3=[p3 -q3 0 0 0 0 0 ;
    -q3 p4 -q4 0 0 0 0 ;
    0 -q4 p5 -q4 0 0 0 ;
    0 0 -q4 p4 -q3 0 0 ;
    0 0 0 -q3 p3 -q2 0 ;
    0 0 0 0 -q2 p2 -q1 ;
    0 0 0 0 0 -q1 p1]
N3=[m3/(m^2) 0 0 0 0 0 0 ;
    0 m4/(m^2) 0 0 0 0 0 ;
    0 0 m5/(m^2) 0 0 0 0 ;
    0 0 0 m4/(m^2) 0 0 0 ;
    0 0 0 0 m3/(m^2) 0 0 ;
    0 0 0 0 0 m2/(m^2) 0 ;
    0 0 0 0 0 0 m1/(m^2)]
B3=S3*N-K*N3
D3=T*(B3*V)
for i=1:7
d3(i,i)=e*sign(D3(i,i))*((D3(i,i)^2)^(1/4)),end
S4=[p2 -q2 0 0 0 0 0 ;
    -q2 p3 -q3 0 0 0 0 ;
    0 -q3 p4 -q4 0 0 0 ;
    0 0 -q4 p5 -q4 0 0 ;
    0 0 0 -q4 p4 -q3 0 ;
    0 0 0 0 -q3 p3 -q2 ;
    0 0 0 0 0 -q2 p2]
N4=[m2/(m^2) 0 0 0 0 0 0 ;
    0 m3/(m^2) 0 0 0 0 0 ;
    0 0 m4/(m^2) 0 0 0 0 ;
    0 0 0 m5/(m^2) 0 0 0 ;
    0 0 0 0 m4/(m^2) 0 0 ;
    0 0 0 0 0 m3/(m^2) 0 ;
    0 0 0 0 0 0 m2/(m^2)]
B4=S4*N-K*N4
D4=T*(B4*V)
for i=1:7
d4(i,i)=e*sign(D4(i,i))*((D4(i,i)^2)^(1/4)),end
Y=[0 d1(3,3) d2(3,3) d3(3,3) d4(3,3) d3(3,3) d2(3,3) d1(3,3) 0]
plot(Y)
pause
a1=d1(3,3)
a2=d2(3,3)
a3=d3(3,3)
a4=d4(3,3)
pause
Y2=[0 d1(1,1) d2(1,1) d3(1,1) d4(1,1) d3(1,1) d2(1,1) d1(1,1) 0]
plot(Y2)
pause
b1=d1(1,1)
b2=d2(1,1)
b3=d3(1,1)
b4=d4(1,1)

```

ANEXA 6

Program pentru simularea modificării frecvenței de rezonanță la atingerea suprafeței de oscilație cu un fir elastic subțire

```

n=7           : numărul de mase concentrate ale modelului
w=10-14      : pătratul frecvenței de rezonanță fundamentale
              : dorite
d=1           : calculul masei concentrate și a coeficientului de
              : elasticitate pentru a simula corect caracteristica
              : tăieturii AT

l=(1+1/n)2
h=0.1*1*n*d*w
s=2*h
m=d/n
e=2*10-6
u=h           : gradientul introdus pentru perturbație
p=0
p1=0
p2=0
p3=0
p4=0
p5=u
q=0
q1=0
q2=0
q3=0
q4=0

K=[s -h 0 0 0 0 0 ;
  -h s -h 0 0 0 0 ;
    0 -h s -h 0 0 0 ;
    0 0 -h s -h 0 0 ;
    0 0 0 -h s -h 0 ;
    0 0 0 0 -h s -h ;
    0 0 0 0 0 -h s]
M=[m 0 0 0 0 0 0 ;
  0 m 0 0 0 0 0 ;
  0 0 m 0 0 0 0 ;
  0 0 0 m 0 0 0 ;
  0 0 0 0 m 0 0 ;
  0 0 0 0 0 m 0 ;
  0 0 0 0 0 0 m]

```



```

N=inv(M)
A=K*N
[V,D1=eig(A)
Y0=[D(3,3)^(1/2)    D(2,2)^(1/2)    D(1,1)^(1/2)    D(4,4)^(1/2)
D(5,5)^(1/2) D(6,6)^(1/2) D(7,7)^(1/2)]
plot(Y0)           : frecvențele de rezonanță pentru sistemul
                    neperturbat
T=V'               : calculul variației frecvenței de rezonanță
                    pentru sistemul perturbat
S1=[p5 -q4 0 0 0 0 0 ;
    -q4 p4 -q3 0 0 0 0 ;
    0 -q3 p3 -q2 0 0 0 ;
    0 0 -q2 p2 -q1 0 0 ;
    0 0 0 -q1 p1 0 0 ;
    0 0 0 0 0 0 0 ;
    0 0 0 0 0 0 0]
B1=S1*N
D1=T*(B1*V)
for i=1:7
d1(i,i)=e*sign(D1(i,i))*((D1(i,i)^2)^(1/4)),end
S2=[p4 -q4 0 0 0 0 0 ;
    -q4 p5 -q4 0 0 0 0 ;
    0 -q4 p4 -q3 0 0 0 ;
    0 0 -q3 p3 -q2 0 0 ;
    0 0 0 -q2 p2 -q1 0 ;
    0 0 0 0 -q1 p1 0 ;
    0 0 0 0 0 0 0]
B2=S2*N
D2=T*(B2*V)
for i=1:7
d2(i,i)=e*sign(D2(i,i))*((D2(i,i)^2)^(1/4)),end
S3=[p3 -q3 0 0 0 0 0 ;
    -q3 p4 -q4 0 0 0 0 ;
    0 -q4 p5 -q4 0 0 0 ;
    0 0 -q4 p4 -q3 0 0 ;
    0 0 0 -q3 p3 -q2 0 ;
    0 0 0 0 -q2 p2 -q1 ;
    0 0 0 0 0 -q1 p1]
B3=S3*N
D3=T*(B3*V)
for i=1:7
d3(i,i)=e*sign(D3(i,i))*((D3(i,i)^2)^(1/4)),end
S4=[p2 -q2 0 0 0 0 0 ;
    -q2 p3 -q3 0 0 0 0 ;
    0 -q3 p4 -q4 0 0 0 ;
    0 0 -q4 p5 -q4 0 0 ;
    0 0 0 -q4 p4 -q3 0 ;
    0 0 0 0 -q3 p3 -q2 ;
    0 0 0 0 0 -q2 p2]
B4=S4*N
D4=T*(B4*V)
for i=1:7

```

```

d4(i,i)=etsign(d4(i,i))*((d4(i,i)2)(1/4)),end
Y=[0; d1(3,3); d2(3,3); d3(3,3); d4(3,3); d3(3,3); d2(3,3);
d1(3,3); 0]
X=[0 1 2 3 4 5 6 7 8 ]
plot(X,Y)
pause
a1=d1(3,3)
a2=d2(3,3)
a3=d3(3,3)
a4=d4(3,3)
pause
Y2=[0; d1(1,1); d2(1,1); d3(1,1); d4(1,1); d3(1,1); d2(1,1);
d1(1,1); 0]
plot(X,Y2)
meta p7cf1.met
pause
b1=d1(1,1)
b2=d2(1,1)
b3=d3(1,1)
b4=d4(1,1)

```

ANEXA 7

Programul de simulare a modificării frecvenței de rezonanță pentru un rezonator cu cuarț în funcție de poziția masei suplimentare concentrate pe suprafața de oscilație

```

n=15           : numărul de mase concentrate al modelului
w=10-14      : pătratul frecvenței de rezonanță impuse pentru
                modul fundamental modelului
d=1           : calculul masei concentrate și a coeficientului de
                elasticitate pentru resortul ideal pentru a simula
                corect tăietura AT

k=(1+1/n)2
h=0.1*k*n*d*w
s=2*h
m=d/n
e=10^(-2)
l=m
K=[ s -h 0 0 0 0 0 0 0 0 0 0 0 0 0 0;
   -h s -h 0 0 0 0 0 0 0 0 0 0 0 0 0 0;
    0 -h s -h 0 0 0 0 0 0 0 0 0 0 0 0 0;
    0 0 -h s -h 0 0 0 0 0 0 0 0 0 0 0;
    0 0 0 -h s -h 0 0 0 0 0 0 0 0 0 0;
    0 0 0 0 0 -h s -h 0 0 0 0 0 0 0 0 0;
    0 0 0 0 0 0 -h s -h 0 0 0 0 0 0 0 0;
    0 0 0 0 0 0 0 -h s -h 0 0 0 0 0 0 0;
    0 0 0 0 0 0 0 0 -h s -h 0 0 0 0 0 0;
    0 0 0 0 0 0 0 0 0 -h s -h 0 0 0 0;
    0 0 0 0 0 0 0 0 0 0 -h s -h 0 0 0;
    0 0 0 0 0 0 0 0 0 0 0 -h s -h;
    0 0 0 0 0 0 0 0 0 0 0 0 -h s l]

M=[m 0 0 0 0 0 0 0 0 0 0 0 0 0 0 0;
   0 m 0 0 0 0 0 0 0 0 0 0 0 0 0 0;
   0 0 m 0 0 0 0 0 0 0 0 0 0 0 0 0;
   0 0 0 m 0 0 0 0 0 0 0 0 0 0 0 0;
   0 0 0 0 m 0 0 0 0 0 0 0 0 0 0 0;
   0 0 0 0 0 m 0 0 0 0 0 0 0 0 0 0;
   0 0 0 0 0 0 m 0 0 0 0 0 0 0 0 0;
   0 0 0 0 0 0 0 m 0 0 0 0 0 0 0 0;
   0 0 0 0 0 0 0 0 m 0 0 0 0 0 0 0;
   0 0 0 0 0 0 0 0 0 m 0 0 0 0 0 0;
   0 0 0 0 0 0 0 0 0 0 m 0 0 0 0 0;
   0 0 0 0 0 0 0 0 0 0 0 m 0 0 0 0;
   0 0 0 0 0 0 0 0 0 0 0 0 m 0 0 0;
   0 0 0 0 0 0 0 0 0 0 0 0 0 m 0 0;
   0 0 0 0 0 0 0 0 0 0 0 0 0 0 m l]

```

```

N=inv(M)
A=K*N
[V,D]=eig(A)
a1=D(1,1)^(1/2)           ; frecvențele de rezonanță pentru sistemul
                            neperurbat
a2=D(2,2)^(1/2)
a3=D(3,3)^(1/2)
a4=D(4,4)^(1/2)
a5=D(5,5)^(1/2)
a6=D(6,6)^(1/2)
a7=D(7,7)^(1/2)
a8=D(8,8)^(1/2)
a9=D(9,9)^(1/2)
a10=D(10,10)^(1/2)
a11=D(11,11)^(1/2)
a12=D(12,12)^(1/2)
a13=D(13,13)^(1/2)
a14=D(14,14)^(1/2)
a15=D(15,15)^(1/2)
Y0=[D(6,6)^(1/2) D(5,5)^(1/2) D(4,4)^(1/2) D(3,3)^(1/2)...
     D(1,1)^(1/2)  D(2,2)^(1/2)  D(7,7)^(1/2)  D(8,8)^(1/2)
     D(9,9)^(1/2)...
     D(10,10)^(1/2) D(11,11)^(1/2) D(12,12)^(1/2) D(13,13)^(1/2)...
     D(14,14)^(1/2) D(15,15)^(1/2)]
plot(Y0)
T=V'           ; rutina de modificarea a poziției masei
                suplimentare de-a lungul diametrului pentru
                calcularea variației frecvenței de rezonanță

for j=1:8
p(j)=j
if j~=1
    m1=0
    else
    m1=m
end
if j~=2
    m2=0
    else
    m2=m
end
if j~=3
    m3=0
    else
    m3=m
end
if j~=4
    m4=0
    else
    m4=m
end
if j~=5

```

```

        m5=0
        else
        m5=m
end
if j~=6
    m6=0
    else
    m6=m
end
if j~=7
    m7=0
    else
    m7=m
end
if j~=8
    m8=0
    else
    m8=m
end
m9=0
m10=0
m11=0
m12=0
m13=0
m14=0
m15=0
N=[m1/(m^2) 0 0 0 0 0 0 0 0 0 0 0 0 0 0;
    0 m2/(m^2) 0 0 0 0 0 0 0 0 0 0 0 0 0;
    0 0 m3/(m^2) 0 0 0 0 0 0 0 0 0 0 0 0;
    0 0 0 m4/(m^2) 0 0 0 0 0 0 0 0 0 0 0;
    0 0 0 0 m5/(m^2) 0 0 0 0 0 0 0 0 0 0;
    0 0 0 0 0 m6/(m^2) 0 0 0 0 0 0 0 0 0;
    0 0 0 0 0 0 m7/(m^2) 0 0 0 0 0 0 0 0;
    0 0 0 0 0 0 0 m8/(m^2) 0 0 0 0 0 0 0;
    0 0 0 0 0 0 0 0 m9/(m^2) 0 0 0 0 0 0;
    0 0 0 0 0 0 0 0 0 m10/(m^2) 0 0 0 0 0;
    0 0 0 0 0 0 0 0 0 0 m11/(m^2) 0 0 0 0;
    0 0 0 0 0 0 0 0 0 0 0 m12/(m^2) 0 0 0;
    0 0 0 0 0 0 0 0 0 0 0 0 m13/(m^2) 0 0;
    0 0 0 0 0 0 0 0 0 0 0 0 0 m14/(m^2) 0;
    0 0 0 0 0 0 0 0 0 0 0 0 0 0 m15/(m^2) 1]
B=-K*N
D=T*(B*V)
for i=1:8
    d(i,i)=e*sign(D(i,i))*((D(i,i)^2)^(1/4));
    x(j,i)=d(i,i);
end
end
Y=[ 0 x(1,6) x(2,6) x(3,6) x(4,6) x(5,6) x(6,6) x(7,6) x(8,6)...
    x(7,6) x(6,6) x(5,6) x(4,6) x(3,6) x(2,6) x(1,6) 0]
X=[ 0 1 2 3 4 5 6 7 8 9 10 11 12 13 14 15 16]

```

```

plot(X,Y)
meta p7cm141.met
pause
Y2=[ 0 x(1,4) x(2,4) x(3,4) x(4,4) x(5,4) x(6,4) x(7,4) x(8,4)...
      ,x(7,4) x(6,4) x(5,4) x(4,4) x(3,4) x(2,4) x(1,4) 0]
X=[ 0 1 2 3 4 5 6 7 8 9 10 11 12 13 14 15 16]
plot(X,Y2)
meta p7cm142.met
pause
Y3=[ 0 x(1,1) x(2,1) x(3,1) x(4,1) x(5,1) x(6,1) x(7,1) x(8,1)...
      x(7,1) x(6,1) x(5,1) x(4,1) x(3,1) x(2,1) x(1,1) 0]
X=[ 0 1 2 3 4 5 6 7 8 9 10 11 12 13 14 15 16]
plot(X,Y3)
meta p7cm143.met
pause

```

ANEXA B

Program de simulare a variațiilor rapoartelor $f3/f1$, $f5/f1$ și $f7/f1$ unde $f1$ este frecvența de rezonanță pentru modul fundamental, $f5$ pentru armonică a cincea și $f7$ pentru armonică a șaptea la încărcare masică neuniformă.

```
n=15 : numărul de mase concentrate al modelului
w=10-14 : pătratul frecvenței de rezonanță impus pentru
modul fundamental
d=1 : calculul masei concentrate și a coeficientului
de elasticitate pentru a simula corect tăietura
AT
k=(1+1/n)2
h=0.1*k*n*d*w
s=2*h
m=d/n
e=10-4 : variația de masă suplimentară față de masa
concentrată m
```

```
l=m
K=[ s -h 0 0 0 0 0 0 0 0 0 0 0 0 0 0;
-h s -h 0 0 0 0 0 0 0 0 0 0 0 0 0 0;
0 -h s -h 0 0 0 0 0 0 0 0 0 0 0 0 0;
0 0 -h s -h 0 0 0 0 0 0 0 0 0 0 0;
0 0 0 -h s -h 0 0 0 0 0 0 0 0 0 0 0;
0 0 0 0 -h s -h 0 0 0 0 0 0 0 0 0 0;
0 0 0 0 0 -h s -h 0 0 0 0 0 0 0 0 0;
0 0 0 0 0 0 -h s -h 0 0 0 0 0 0 0;
0 0 0 0 0 0 0 -h s -h 0 0 0 0 0 0;
0 0 0 0 0 0 0 0 -h s -h 0 0 0 0;
0 0 0 0 0 0 0 0 0 -h s -h 0 0;
0 0 0 0 0 0 0 0 0 0 -h s -h 0;
0 0 0 0 0 0 0 0 0 0 0 -h s -h;
0 0 0 0 0 0 0 0 0 0 0 0 -h s]
```

```
M=[m 0 0 0 0 0 0 0 0 0 0 0 0 0 0;
0 m 0 0 0 0 0 0 0 0 0 0 0 0 0;
0 0 m 0 0 0 0 0 0 0 0 0 0 0 0;
0 0 0 m 0 0 0 0 0 0 0 0 0 0 0;
0 0 0 0 m 0 0 0 0 0 0 0 0 0 0;
0 0 0 0 0 m 0 0 0 0 0 0 0 0 0;
0 0 0 0 0 0 m 0 0 0 0 0 0 0 0;
0 0 0 0 0 0 0 m 0 0 0 0 0 0 0;
0 0 0 0 0 0 0 0 m 0 0 0 0 0 0;
0 0 0 0 0 0 0 0 0 m 0 0 0 0 0;
0 0 0 0 0 0 0 0 0 0 m 0 0 0 0 0;
0 0 0 0 0 0 0 0 0 0 0 m 0 0 0 0;
0 0 0 0 0 0 0 0 0 0 0 0 m 0 0 0;
0 0 0 0 0 0 0 0 0 0 0 0 0 m 0 0;
0 0 0 0 0 0 0 0 0 0 0 0 0 0 m]
```

```

N=inv(M)
A=K*N
[V,D]=eig(A)

```

```

a1=D(1,1)^(1/2)           : frecvențele de rezonanță pentru sistemul
                             neperturbat

```

```

a2=D(2,2)^(1/2)
a3=D(3,3)^(1/2)
a4=D(4,4)^(1/2)
a5=D(5,5)^(1/2)
a6=D(6,6)^(1/2)
a7=D(7,7)^(1/2)
a8=D(8,8)^(1/2)
a9=D(9,9)^(1/2)
a10=D(10,10)^(1/2)
a11=D(11,11)^(1/2)
a12=D(12,12)^(1/2)
a13=D(13,13)^(1/2)
a14=D(14,14)^(1/2)
a15=D(15,15)^(1/2)

```

```

Y0=[D(6,6)^(1/2) D(5,5)^(1/2) D(4,4)^(1/2) D(3,3)^(1/2)...
     D(1,1)^(1/2)   D(2,2)^(1/2)   D(7,7)^(1/2)   D(8,8)^(1/2)
     D(9,9)^(1/2)...
     D(10,10)^(1/2) D(11,11)^(1/2) D(12,12)^(1/2) D(13,13)^(1/2)...
     D(14,14)^(1/2) D(15,15)^(1/2)]

```

```

plot(Y0)

```

```

T=V'

```

```

for j=1:15

```

```

m1=4*1-j*1/4           : modelarea gradientului de depunere de masa
                         suplimentară dorit ( în exemplul de față
                         gradient liniar)

```

```

m2=8*1-j*1/2
m3=16*1-j*1
m4=12*1-j*1/2
m5=4*1
m6=j*1/4
m7=j*1
m8=2*j*1
m9=m7
m10=m6
m11=m5
m12=m4
m13=m3
m14=m2
m15=m1

```

```

a(j)=(m1+m2+m3+m4+m5+m6+m7)*2+m8

```

```

b(j)=m8/(m3)           : Calculul modificării infrecvenței de
                         rezonanță

```



```

N=[m1/(m^2) 0 0 0 0 0 0 0 0 0 0 0 0 0 0;
  0 m2/(m^2) 0 0 0 0 0 0 0 0 0 0 0 0 0;
  0 0 m3/(m^2) 0 0 0 0 0 0 0 0 0 0 0 0;
  0 0 0 m4/(m^2) 0 0 0 0 0 0 0 0 0 0 0;
  0 0 0 0 m5/(m^2) 0 0 0 0 0 0 0 0 0 0;
  0 0 0 0 0 m6/(m^2) 0 0 0 0 0 0 0 0 0 0;
  0 0 0 0 0 0 m7/(m^2) 0 0 0 0 0 0 0 0 0;
  0 0 0 0 0 0 0 m8/(m^2) 0 0 0 0 0 0 0 0;
  0 0 0 0 0 0 0 0 m9/(m^2) 0 0 0 0 0 0 0;
  0 0 0 0 0 0 0 0 0 m10/(m^2) 0 0 0 0 0 0;
  0 0 0 0 0 0 0 0 0 0 m11/(m^2) 0 0 0 0 0;
  0 0 0 0 0 0 0 0 0 0 0 m12/(m^2) 0 0 0 0;
  0 0 0 0 0 0 0 0 0 0 0 0 m13/(m^2) 0 0;
  0 0 0 0 0 0 0 0 0 0 0 0 0 m14/(m^2) 0;
  0 0 0 0 0 0 0 0 0 0 0 0 0 0 m15/(m^2)]
B=-K*N
D=T*(B*V)
for i=1:15
d(i,i)=e*sign(D(i,i))*((D(i,i)^2)^(1/4));
x(j,i)=d(i,i);
end
g1(j)=(a4+x(j,4))/(a6+x(j,6))
g2(j)=(a1+x(j,1))/(a6+x(j,6))
g3(j)=(a7+x(j,7))/(a6+x(j,6))
m1=a(j)/15
m2=m1
m3=m1
m4=m1
m5=m1
m6=m1
m7=m1
m8=m1
m9=m7
m10=m6
m11=m5
m12=m4
m13=m3
m14=m2
m15=m1

```

```

N=[m1/(m^2) 0 0 0 0 0 0 0 0 0 0 0 0 0 0;
  0 m2/(m^2) 0 0 0 0 0 0 0 0 0 0 0 0 0;
  0 0 m3/(m^2) 0 0 0 0 0 0 0 0 0 0 0 0;
  0 0 0 m4/(m^2) 0 0 0 0 0 0 0 0 0 0 0;
  0 0 0 0 m5/(m^2) 0 0 0 0 0 0 0 0 0 0;
  0 0 0 0 0 m6/(m^2) 0 0 0 0 0 0 0 0 0 0;
  0 0 0 0 0 0 m7/(m^2) 0 0 0 0 0 0 0 0 0;
  0 0 0 0 0 0 0 m8/(m^2) 0 0 0 0 0 0 0 0;
  0 0 0 0 0 0 0 0 m9/(m^2) 0 0 0 0 0 0 0;
  0 0 0 0 0 0 0 0 0 m10/(m^2) 0 0 0 0 0;
  0 0 0 0 0 0 0 0 0 0 m11/(m^2) 0 0 0 0;
  0 0 0 0 0 0 0 0 0 0 0 m12/(m^2) 0 0 0;
  0 0 0 0 0 0 0 0 0 0 0 0 m13/(m^2) 0 0;
  0 0 0 0 0 0 0 0 0 0 0 0 0 m14/(m^2) 0;
  0 0^0 0 0 0 0 0 0 0 0 0 0 0 0 m15/(m^2)]

B=-K*N
D=T*(B*V)
for i=1:15
c(j,i)=e*sign(D(i,i))*((D(i,i)^2)^(1/4));
end
c1(j)=(a4+c(j,4))/(a6+c(j,6))
c2(j)=(a1+c(j,1))/(a6+c(j,6))
c3(j)=(a7+c(j,7))/(a6+c(j,6))
end

B=[ b(1) b(2) b(3) b(4) b(5) b(6) b(7) b(8)...
  b(9) b(10) b(11) b(12) b(13) b(14) b(15)]

Y6=[ g1(1) g2(1) g3(1) c1(1) c2(1) c3(1);
  g1(2) g2(2) g3(2) c1(2) c2(2) c3(2);
  g1(3) g2(3) g3(3) c1(3) c2(3) c3(3);
  g1(4) g2(4) g3(4) c1(4) c2(4) c3(4);
  g1(5) g2(5) g3(5) c1(5) c2(5) c3(5);
  g1(6) g2(6) g3(6) c1(6) c2(6) c3(7);
  g1(7) g2(7) g3(7) c1(7) c2(7) c3(7);
  g1(8) g2(8) g3(8) c1(8) c2(8) c3(8);
  g1(9) g2(9) g3(9) c1(9) c2(9) c3(9);
  g1(10) g2(10) g3(10) c1(10) c2(10) c3(10);
  g1(11) g2(11) g3(11) c1(11) c2(11) c3(11);
  g1(12) g2(12) g3(12) c1(12) c2(12) c3(12);
  g1(13) g2(13) g3(13) c1(13) c2(13) c3(13);
  g1(14) g2(14) g3(14) c1(14) c2(14) c3(14);
  g1(15) g2(15) g3(15) c1(15) c2(15) c3(15)]
pause
plot(B,Y6)
pause
meta p7cm111.met
Y4=[ g1(1) c1(1); g1(2) c1(2); g1(3) c1(3);
  g1(4) c1(4); g1(5) c1(5); g1(6) c1(6); g1(7) c1(7);
  g1(8) c1(8); g1(9) c1(9); g1(10) c1(10); g1(11) c1(11);
  g1(12) c1(12); g1(13) c1(13); g1(14) c1(15); g1(15) c1(15)]

```

```

pause
plot(B,Y4)
pause
meta p7cm112.met
Y3=[ g3(1) c3(1); g3(2) c3(2); g3(3) c3(3);
      g3(4) c3(4); g3(5) c3(5); g3(6) c3(6); g3(7) c3(7);
      g3(8) c3(8); g3(9) c3(9); g3(10) c3(10); g3(11) c3(11);
      g3(12) c3(12); g3(13) c3(13); g3(14) c3(14); g3(15) c3(15)]
plot(B,Y3)
meta p7cm113.met
pause
Y2=[ g2(1) c2(1); g2(2) c2(2); g2(3) c2(3);
      g2(4) c2(4); g2(5) c2(5); g2(6) c2(6); g2(7) c2(7);
      g2(8) c2(8); g2(9) c2(9); g2(10) c2(10); g2(11) c2(11);
      g2(12) c2(12); g2(13) c2(13); g2(14) c2(14); g2(15) c2(15)]
plot(B,Y2)
pause
meta p7cm114.met
X1=[ x(1,6) c(1,6); x(2,6) c(2,6); x(3,6) c(3,6); x(4,6) c(4,6);
      x(5,6) c(5,6); x(6,6) c(6,6); x(7,6) c(7,6); x(8,6) c(8,6);
      x(9,6) c(9,6); x(10,6) c(10,6); x(11,6) c(11,6); x(12,6)
c(12,6);
      x(13,6) c(13,6); x(14,6) c(14,6); x(15,6) c(15,6)]
plot(B,X1)
pause
meta p7cm115.met
X2=[ x(1,4) c(1,4); x(2,4) c(2,4); x(3,4) c(3,4); x(4,4) c(4,4);
      x(5,4) c(5,4); x(6,4) c(6,4); x(7,4) c(7,4); x(8,4) c(8,4);
      x(9,4) c(9,4); x(10,4) c(10,4); x(11,4) c(11,4); x(12,4)
c(12,4);
      x(13,4) c(13,4); x(14,4) c(14,4); x(15,4) c(15,4)]
pause
plot(B,X2)
pause
X3=[ x(1,1) c(1,1); x(2,1) c(2,1); x(3,1) c(3,1); x(4,1) c(4,1);
      x(5,1) c(5,1); x(6,1) c(6,1); x(7,1) c(7,1); x(8,1) c(8,1);
      x(9,1) c(9,1); x(10,1) c(10,1); x(11,1) c(11,1); x(12,1)
c(12,1);
      x(13,1) c(13,1); x(14,1) c(14,1); x(15,1) c(15,1)]
meta p7cm116.met
pause
plot(B,X3)
pause
meta p7cm117.met
X4=[ x(1,7) c(1,7); x(2,7) c(2,7); x(3,7) c(3,7); x(4,7) c(4,7);
      x(5,7) c(5,7); x(6,7) c(6,7); x(7,7) c(7,7); x(8,7) c(8,7);
      x(9,7) c(9,7); x(10,7) c(10,7); x(11,7) c(11,7); x(12,7)
c(12,7);
      x(13,7) c(13,7); x(14,7) c(14,7); x(15,7) c(15,7)]
plot(B,X4)
pause

```